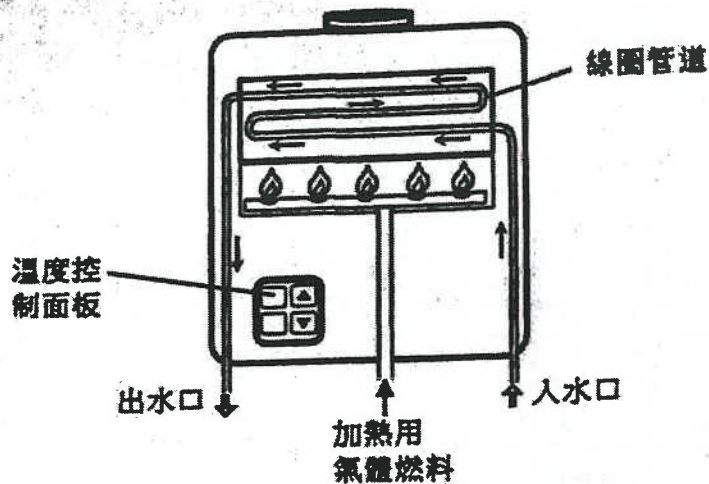


1 熱和氣體

1. DSE 2018, Q1

圖 1.1 顯示一家庭熱水爐，自來水進入爐中並通過線圈管道加熱，達至一定溫度的熱水從熱水爐流出。

圖 1.1

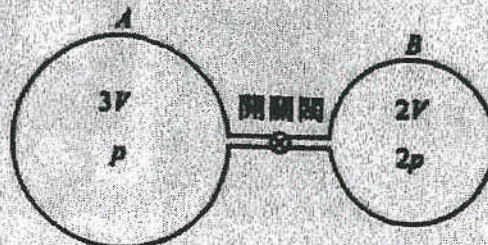


在某冬日，自來水的溫度為 15°C 。當熱水爐運作時，一分鐘能輸出 6 kg 溫度為 50°C 的熱水。假設熱水爐跟周圍環境沒有熱交換。已知：水的比熱容 $= 4200\text{ J kg}^{-1}\text{ }^\circ\text{C}^{-1}$

- (a) 估算熱水爐供應給自來水的功率。 (3分)
- (b) 假設 (a) 部所估算的功率保持不變，而熱水爐正輸出溫度為 40°C 的熱水，求自來水進入熱水爐的流率，以 kg 每分鐘表示。 (2分)
2. DSE 2018, Q2*

*2. 兩容器 A 和 B 的體積分別為 $3V$ 和 $2V$ ，以一條裝有開關閥的幼管連接，如圖 2.1 所示。起始時開關閥關閉，而兩容器的溫度相同。容器 A 內有壓強為 p 的氮氣，而容器 B 內有 0.8 mol 壓強為 $2p$ 的氮氣。設氮氣可視為一理想氣體。

圖 2.1



- (a) 推算容器 A 內氮氣的數量 (以 mol 表達)。 (2分)
- (b) 現把開關閥開通，並達至穩態。假設溫度保持不變。
- (i) 求容器內的氣壓，以 p 表達。 (2分)
- (ii) 以分子運動論解釋容器 A 內氣體的壓強變化。 (2分)

3. DSE 2018, Q3

細閱以下有關「汽車制動」的文章，並回答隨後的問題。

機械制動為汽車最普遍的制動方法，這方法是在汽車的車輪裝備煞車墊，利用所產生的摩擦力抑制車輪運動。摩擦制動導致車輛的動能轉換成熱能，並最終耗散至大氣成廢熱。

以下約為制動產生的熱能 (以 J 表達)：

$$\text{產生的熱能} = F_r \times d$$

而 F_r 是摩擦力 (以 N 表達)，及
 d 是制動距離 (以 m 表達)。

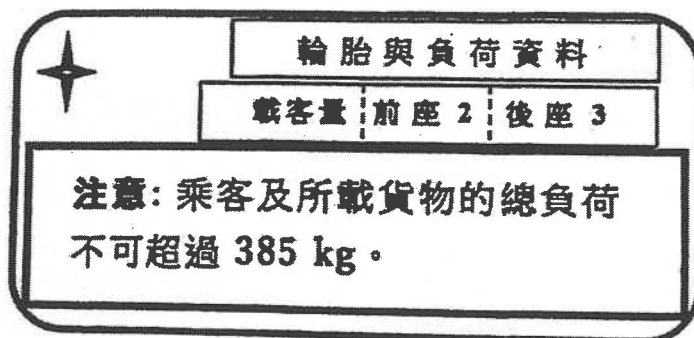
運用能量守恆原理：

$$\text{耗散的動能} = \text{產生的熱能}$$

$$\frac{1}{2}mv^2 = F_r \times d$$

從這方程可知一物體的速度 v 或質量 m 增加時，要使該物體於同一距離內停下必須增加所施的摩擦力。

- (a) 參照上文，解釋為什麼車輛最大的負荷應設有限制 (以下面的車輛標籤為例)。 (2分)



- (b) (i) 已知當溫度超過攝氏數百度時，煞車墊所產生的摩擦力會大幅減少，甚至出現制動失效 (即沒有摩擦提供)。當車輛沿一條長下坡路行駛時，試解釋為什麼司機不宜持續施以制動。 (1分)

- (ii) 圖示緊急逃生斜坡 (向上傾斜) 的設置，可使如 (b)(i) 情況所引致制動失效的車輛停下來。如果逃生斜坡與水平的夾角為 30° ，而一輛制動失效的車以速率 25 m s^{-1} 從斜坡底端駛進，估算該車沿斜坡行駛多遠才停下來。空氣阻力以及車輛內機械阻力可忽略不計。 ($g = 9.81 \text{ m s}^{-2}$) (2分)



4. DSE 2019, Q1

1. (a) 一熱容量可忽略而絕緣的容器盛着 1.5 kg 的茶，而茶的溫度為 60 °C。

(i) 需將多少質量在 0 °C 的冰加進茶中，方能令混合物的末溫度下降至 10 °C？假設茶的比熱容跟水的相同。 (3分)

已知：冰的熔解比潛熱 = $3.34 \times 10^5 \text{ J kg}^{-1}$

水的比熱容 = $4200 \text{ J kg}^{-1} \text{ }^\circ\text{C}^{-1}$

(ii) 如果容器的熱容量不可忽略，解釋需用較多、較少還是相同份量的冰方可得到 10 °C 的末溫度。 (2分)

(b) 將一些 -10 °C 的雪糕放進一「保溫袋」，袋的內層以鋪有鋁箔的發泡聚乙烯製成，袋的頂部亦配備了拉鏈。



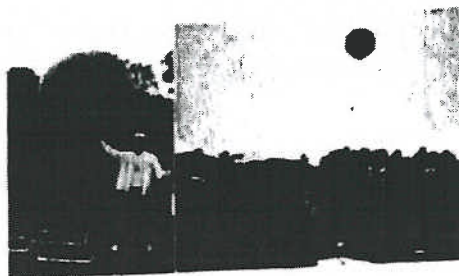
現將該保溫袋於陽光普照的熱天帶到戶外。

(i) 根據熱傳遞的過程，解釋該袋有助保持雪糕於低溫的一個特點。 (1分)

(ii) 建議一項改動以加強該袋保持所儲物件於低溫的能力。 (1分)

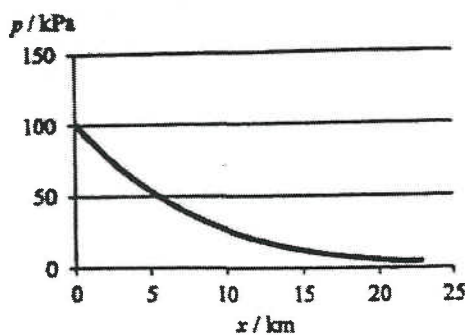
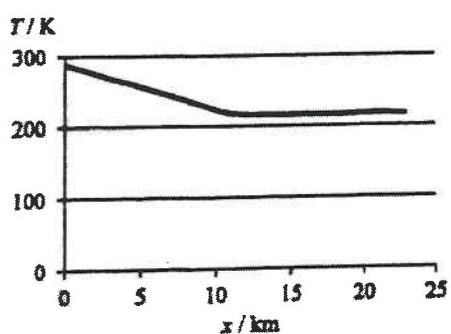
5. DSE 2019, Q2*

*2. 一氣象氣球在地面時注滿了溫度 15 °C 而壓強為 100 kPa 的氮氣，氣球體積為 0.52 m³。



(a) 求氣球內氮氣的數量 (以 mol 表達)。 (2分)

(b) 以下線圖顯示空氣溫度 T 和大氣壓強 p 跟離地面高度 x 的變化。



把該氣象氣球釋放並上升至上層大氣。假設於任何高度 x ，氣球內氦氣的溫度和壓強跟外面空氣的溫度和壓強皆相同。

(i) 一學生認為在最初 10 km 當空氣溫度下降時，氣球體積便減少。根據以上線圖定性解釋為什麼此論點並不正確。(2分)

(ii) 事實上，氣象氣球上升時一直膨脹。空氣溫度於高度達 12 km 以上便穩定於 216 K。當氣球上升至超過 12 km 而其體積達 8 m^3 時，

(1) 估算氣球內的氣體壓強；(2分)

(2) 據此求氣球所達之相應高度。已知大氣壓強 p 跟高度 x (單位 km) 的變化為

$$p = p_0 e^{-kx},$$

其中 p_0 為在地面的大氣壓強，而 $k = 0.138 \text{ km}^{-1}$ 。(2分)

6. DSE 2020, Q1

1. 某食肆製備「淨雲吞」是把 5 粒在 4°C 的熟雲吞放入一湯碗，碗內盛有 0.60 kg 溫度為 96°C 的湯。

已知：每粒雲吞的平均質量 = 0.02 kg

雲吞的比熱容 = $3300 \text{ J kg}^{-1} \text{ }^\circ\text{C}^{-1}$

湯的比熱容 = $4200 \text{ J kg}^{-1} \text{ }^\circ\text{C}^{-1}$

(a) 求混合物的末溫度。假設湯碗的熱容量及散失至周圍環境的熱可忽略。(2分)

(b) 在 (a) 的湯是取自熱容量為 $2000 \text{ J }^\circ\text{C}^{-1}$ 的金屬容器，容器盛着 16 kg 的湯，而湯以浸沒式電熱器保持在 96°C 。

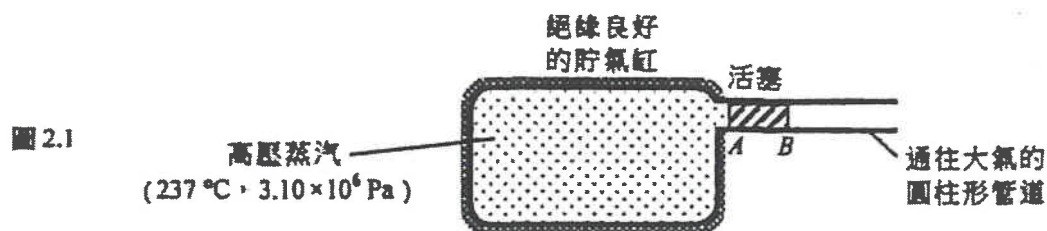
(i) 為什麼電熱器須提供能量以使湯保持在 96°C ? (1分)

(ii) 一學生用以下方法求電熱器的運作功率 P ：把電熱器從容器中移走，10 分鐘後記錄該 16 kg 湯的溫度。結果發現溫度下降了 9°C 。估算 P 。(3分)

(iii) 如果該學生再過 10 分鐘後重複作量度，相應的溫度下降會大於、等於還是小於 9°C ? 試解釋。(2分)

7. DSE 2020, Q2

圖 2.1 顯示一大型貯氣缸連接着通往大氣的圓柱形管道。管道配備一光滑的活塞 AB 。該絕緣良好的貯氣缸，充滿了溫度為 237°C 及壓強為 $3.10 \times 10^6 \text{ Pa}$ 的高壓蒸汽，而可移動的活塞以一力 F_p 限制其不動。已知：大氣壓強 = $1.0 \times 10^5 \text{ Pa}$

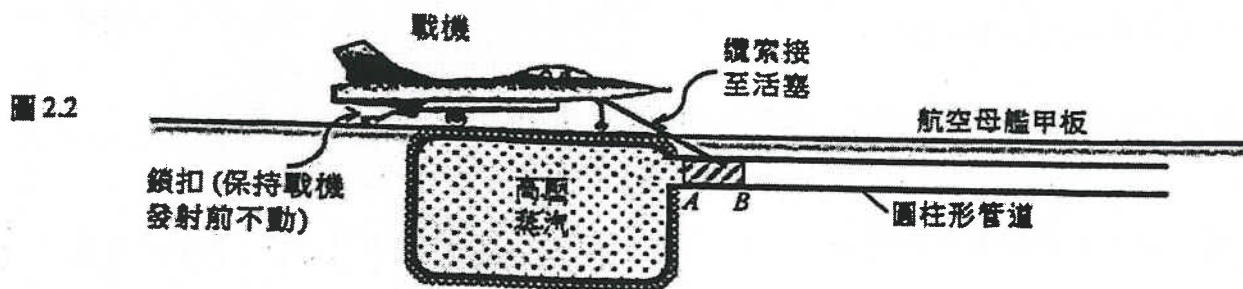


(a) (i) 在圖 2.1 標示力 F_p 。 (1分)

*(ii) 考慮活塞因壓強差所受的力，求 F_p 的值。活塞的截面面積為 0.67 m^2 。 (2分)

*(iii) 貯氣缸載有 570 kg 蒸汽，估算其體積。可視蒸汽為理想氣體。
已知：一摩爾蒸汽的質量 = 0.018 kg (3分)

(b) 這裝置可用作「蒸汽彈射」將戰機從航空母艦發射。即將發射的戰機以不可伸長的纜索接至活塞，如圖 2.2 所示。當機尾的鎖扣被鬆開，貯氣缸中的高壓蒸汽便膨脹並推動活塞，從而協助戰機加速。



在一次彈射測試中，戰機（其引擎沒有開動）在甲板上運動一段水平距離後，於 1.5 s 達至末速 54 m s^{-1} 。戰機的質量為 $2.6 \times 10^4 \text{ kg}$ 。

(i) 求發射期間戰機所受淨力對其所作的功。 (2分)

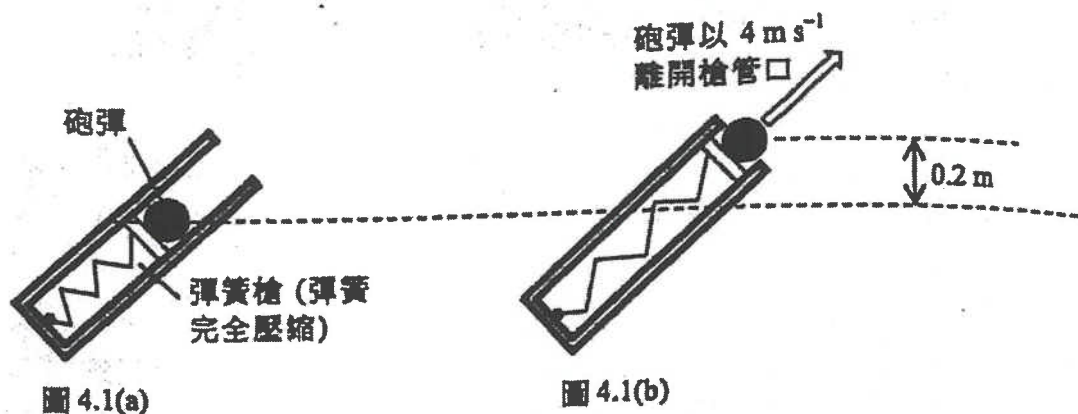
(ii) 計算發射期間戰機的平均加速度。 (2分)

*(iii) 指出戰機的加速度在發射期間是不斷增加、不斷減少還是為勻加速。解釋你的答案。 (3分)

2 力和運動

1. DSE 2018, Q4

圖 4.1 (a) 和 (b) 顯示一固定的彈簧槍的截面，槍內裝着一枚小砲彈。



將完全壓縮的輕彈簧 (圖 4.1(a)) 釋放，質量 0.3 kg 的砲彈便以 4 m s^{-1} 的速率離開槍管口 (圖 4.1(b))。空氣阻力可忽略不計。 $(g = 9.81 \text{ m s}^{-2})$

(a) 從彈簧完全壓縮直至砲彈剛離開槍管口的過程中，

(i) 由彈簧轉移至砲彈的能量是多少？ (3分)

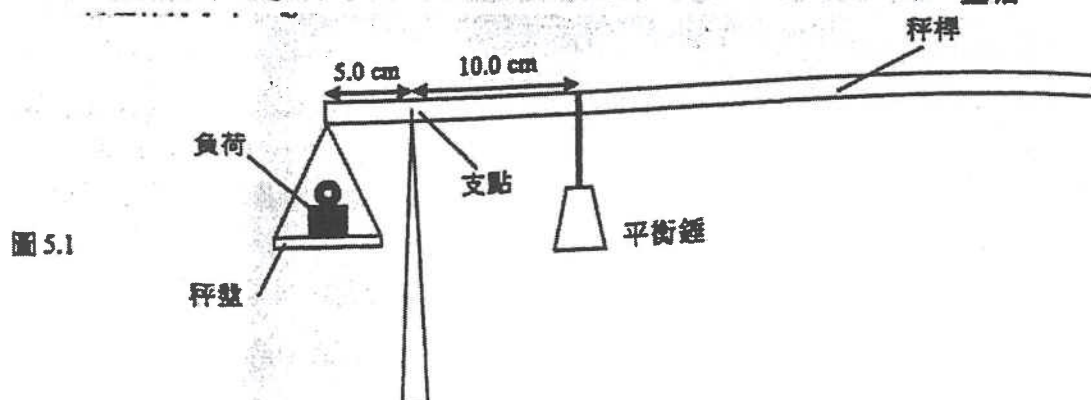
(ii) 解釋彈簧槍和砲彈的總動量是否守恆。 (2分)

* (b) 砲彈起始時以跟水平成 50° 的方向投射，並到達跟槍管口成水平而距離為 R 的一點。求 R 及砲彈到達該點的飛行時間 t_f 。 (4分)

* (c) 若投射角增至稍微大於 50° 而初始速率 4 m s^{-1} 保持不變，毋需作任何計算，解釋 t_f 會否有任何改變。 (2分)

2. DSE 2018, Q5

圖 5.1 所示的天平可量度一負荷的質量。沒有負荷及平衡錘時，秤桿連同在左邊末端的秤盤可平衡並保持水平。 $(g = 9.81 \text{ m s}^{-2})$



(a) 一負荷放在與支點相距 5.0 cm 的秤盤上，當質量為 50 g 的平衡錘與支點相距 10.0 cm ，裝置可如圖所示平衡。

(ii) 如果從秤桿上取得的平衡錘位置讀數帶 $\pm 0.1 \text{ cm}$ 的不確定性，求對應 (a)(i) 的結果的最大誤差。 (2分)

(b) 以一個標上牛頓刻度的彈簧秤量度一相同的負荷的重量，其讀數為多少？ (1分)

(c) 將圖 5.1 所示的天平裝置以及 (b) 部掛着負荷的彈簧秤一起放進一升降機內。

(i) 現於勻加速上升的升降機內重複所作的量度，試分別指出所作量度或有的改變。 (2分)

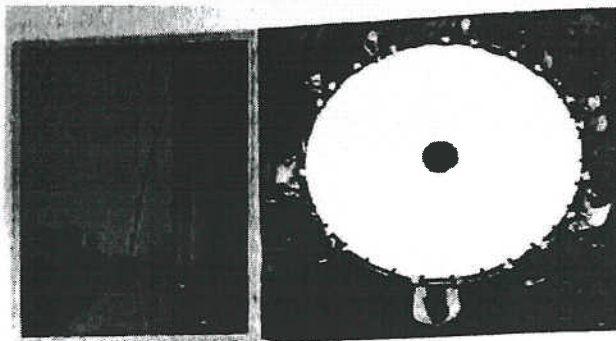
天平上平衡錘的位置	彈簧秤的讀數
.....
.....

(ii) 一位學生認為倘升降機自由下墜，天平仍可以用作量度該負荷的質量，試解釋他的說法是否正確。 (2分)

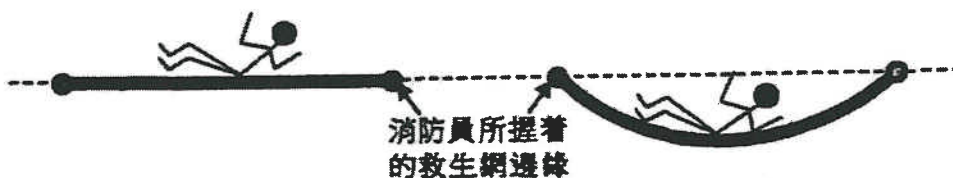
3. DSE 2019, Q3

閱讀以下有關「救生網」的文章，並回答隨後的問題。

救生網曾經是消防用的拯救裝備。它讓身處發生火災樓宇高層的人跳下到地面逃生。由於消防科技的進步，此裝備已被淘汰。



即使曾有些人從八層樓跳下救生網仍然生還而只受不同程度的創傷，成功操作救生網的高度限制約為六層樓。下圖可說明救生網的操作原理。



當人碰撞到救生網令網變形，使人以相對於碰撞堅硬地面較長的時間停下。

(a) 一人從救生網對上 12 m 的高度墮下，其初速可略，空氣阻力以及人的大小可忽略不計。
($g = 9.81 \text{ m s}^{-2}$)

(i) 估算該人剛碰撞到救生網之前的 (1) 豎直速率 v 以及 (2) 下墮時間 t 。 (4分)

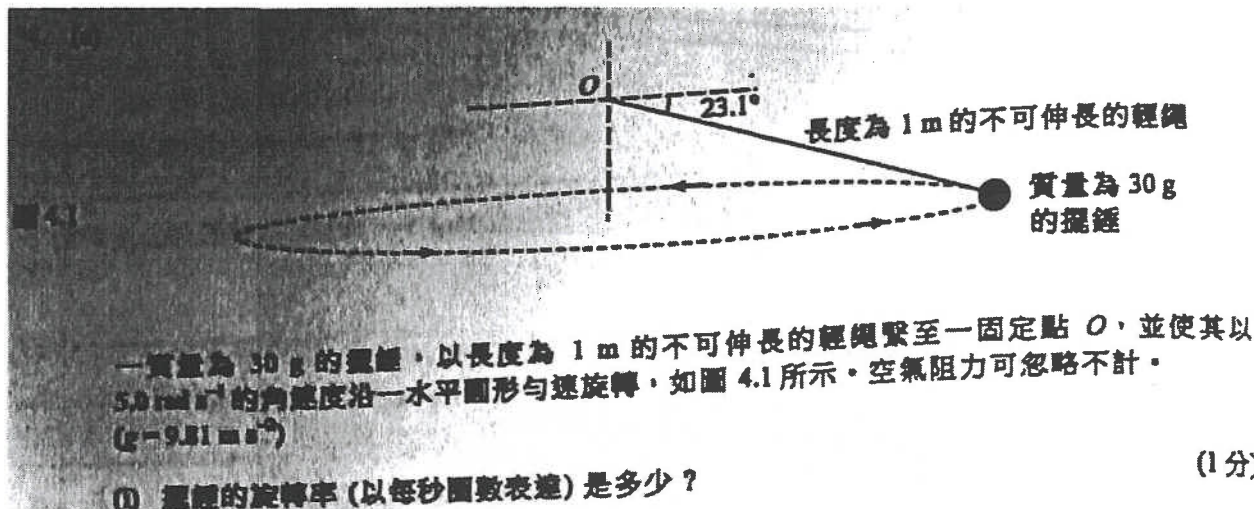
(ii) 如果下墮者的質量為 70 kg ，並於 0.3 s 內被救生網停下，估算在該時段內救生網對下墮者所施的平均力。 (3分)

(iii) 於下墮者減速時，救生網所儲是何種形式的能量？ (1分)

(b) (i) 使用救生網有一定高度限制，試提出一原因。 (1分)

* (ii) 下墮者或會撞到救生網邊緣，引致自身或握着救生網邊緣的消防員受傷，解釋人從高處跳下時為什麼不易落到救生網的中央部分。 (2分)

4. DSE 2019, Q4*



一質量為 30 g 的擺錘，以長度為 1 m 的不可伸長的輕繩繫至一固定點 O ，並使其以 5.0 rad s^{-1} 的角速度沿一水平圓形勻速旋轉，如圖 4.1 所示。空氣阻力可忽略不計。
($g = 9.81 \text{ m s}^{-2}$)

(i) 擺錘的旋轉率 (以每秒圈數表達) 是多少？ (1分)

(ii) 於圖 4.1 標示擺錘運動所需的向心力 F_c 。求 F_c 。 (3分)

(iii) 相比 (a)(ii) 所求得的向心力 F_c ，解釋繩子上張力的量值是較大、較小還是相同。 (2分)

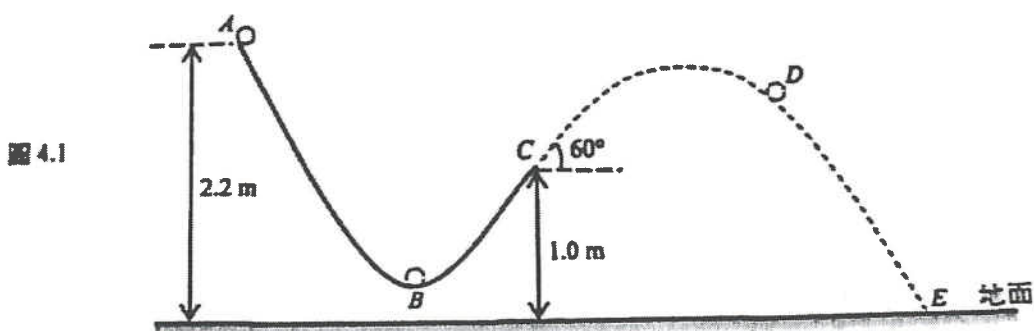
(b) 月球受地球的引力作用，於圓形軌道上以勻速率環繞地球運動。

(i) 縱使月球受到引力作用，解釋為什麼它的速率保持不變。 (2分)

(ii) 一學生認為由於月球質量遠小於地球，月球對地球的施力可忽略。試評論該學生的說法。 (2分)

5. DSE, 2020, Q4

一小球於 A 點從靜止釋放，並沿圖 4.1 所示的光滑路軌 ABC 運動。於最低點 B 附近路軌的形狀約為圓形。



球在 C 點離開路軌，於該處路軌跟水平成 60° 角。球最終於 E 點著地。空氣阻力可忽略不計。 $(g=9.81 \text{ m s}^{-2})$

(a) 將球在 A 、 B 、 C 和 D 各點的速率，從大至小依次排列。 (1分)

* (b) 在圖 4.1 以箭矢分別標示球在 B 點和在 D 點所有的加速度。 (2分)

(c) (i) 描述球沿路軌 ABC 運動的能量轉換。 (2分)

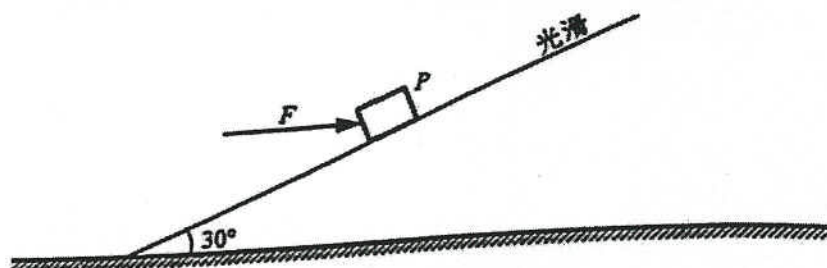
(ii) 據此求球在 C 點的速率。 (2分)

* (iii) 如果 C 點和 E 點的水平距離為 2.55 m ，計算球到達 E 點前的飛行時間。 (3分)

6. DSE, 2020, Q5

5.

圖 5.1



(a) 以一水平力 F 使質量為 10 kg 的方塊 P 在一光滑斜面上保持靜止，如圖 5.1 所示：斜面跟水平成 30° 角。 $(g=9.81 \text{ m s}^{-2})$

(i) 在圖 5.1 標示及註明其餘作用於 P 的各個力。 (2分)

(ii) 分別求力 F 和方塊施於斜面的力的量值。 (3分)

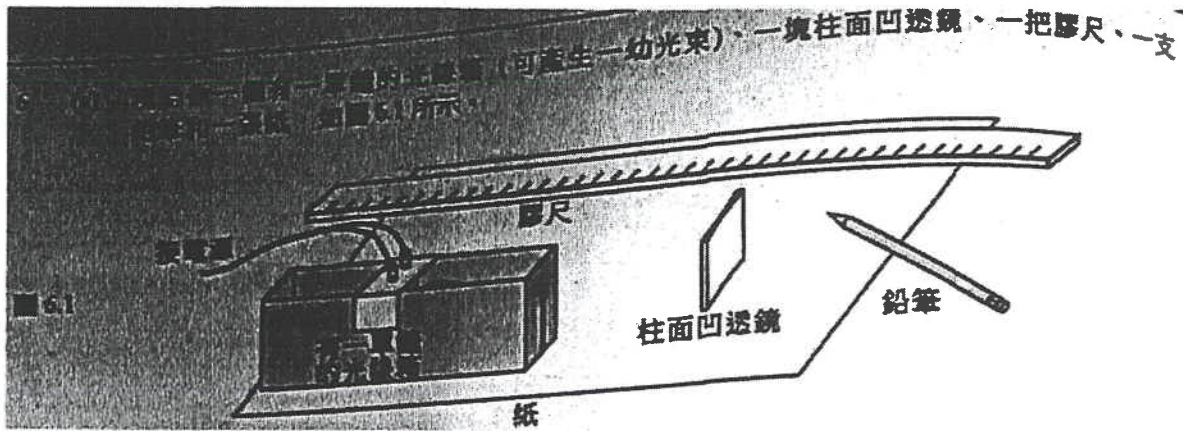
(b) 現撤去 F ，而空氣阻力可忽略不計。

(i) 方塊加速度的量值是多少？ (1分)

(ii) 解釋方塊施於斜面的力跟 (a)(ii) 的相比是增加、減少還是保持不變。 (2分)

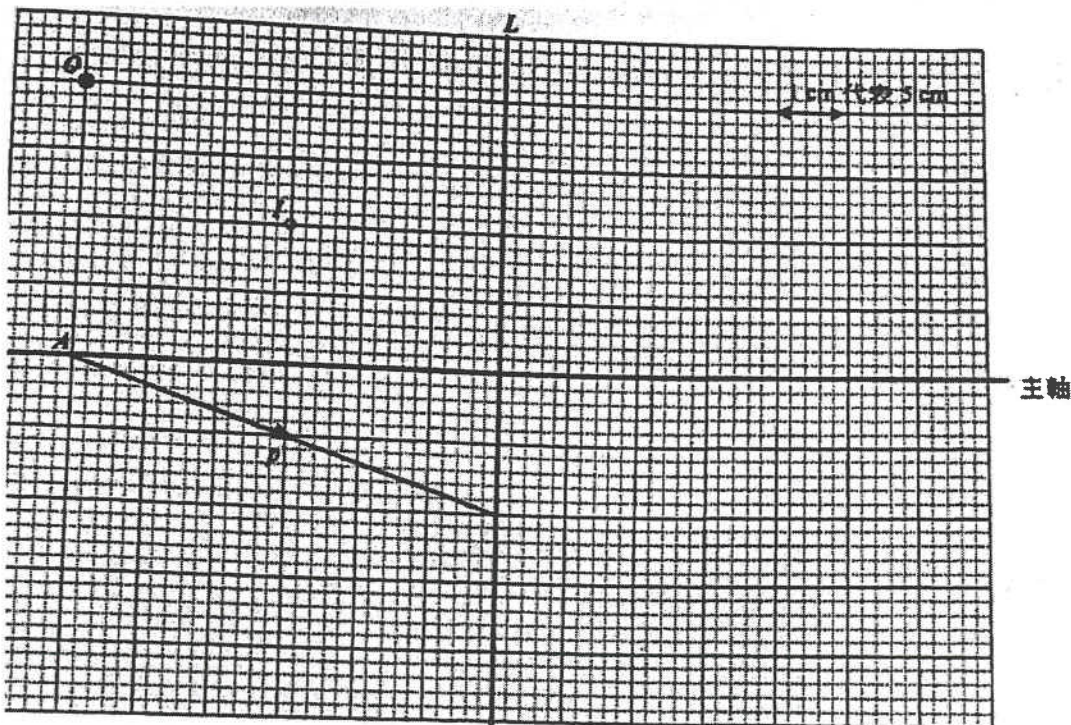
3 波動

1. DSE 2018, Q6



描述你會怎樣利用上述的儀器求該透鏡的焦距，並指出實驗中一個可能的誤差來源。
(5分)

(b) 在下圖， L 代表另一塊柱面透鏡，以一豎直的針作為物體置於 O ，通過透鏡成像於 I 。水平標度設為 1 cm 代表 5 cm 。



(i) 所用透鏡屬什麼類型？試解釋。
(2分)

(ii) 繪畫一條合適的光線以找出透鏡 L 的主焦點 F ，並求透鏡的焦距。

焦距 =
(2分)

(iii) 完成從 A 點發出的光線 p 的路徑。
(1分)

2. DSE 2018, Q7*

7. (a)

圖 7.1

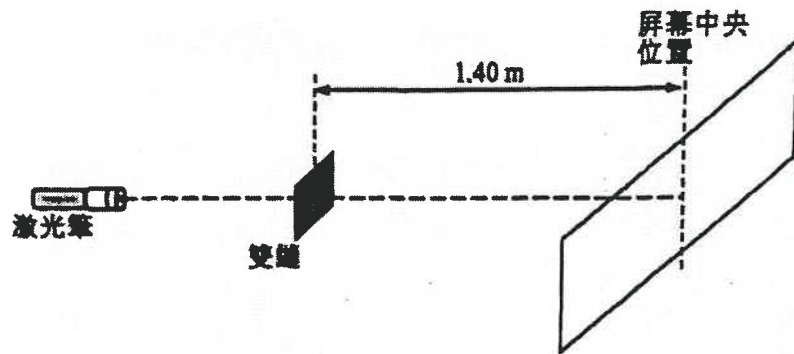


圖 7.1 所示裝置可用以量度激光筆所發出的光的波長 λ 。屏幕上可看到數個平均間距約為 2 mm 的亮點。

(i) 就同一組儀器，試建議一個方法可增大屏幕上亮點的平均間距。(1分)

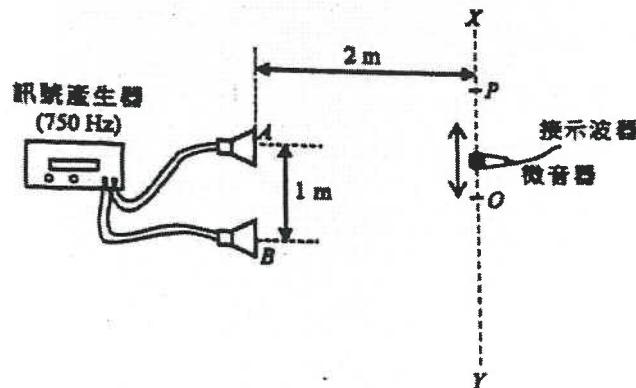
現以每 mm 刻有 400 線的衍射光柵取代雙縫。

(ii) 簡單解釋為什麼這樣可改善實驗的準確度。(1分)

(iii) 屏幕上只看到五個亮點，而第一點和第五點的間距為 1.56 m。求 λ 。(3分)

(b) 為量度空氣中的聲速，一學生如圖 7.2 所示將兩個揚聲器 A 和 B 連接一訊號產生器。

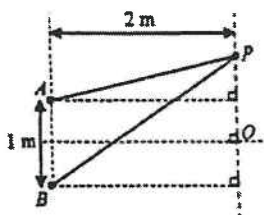
圖 7.2



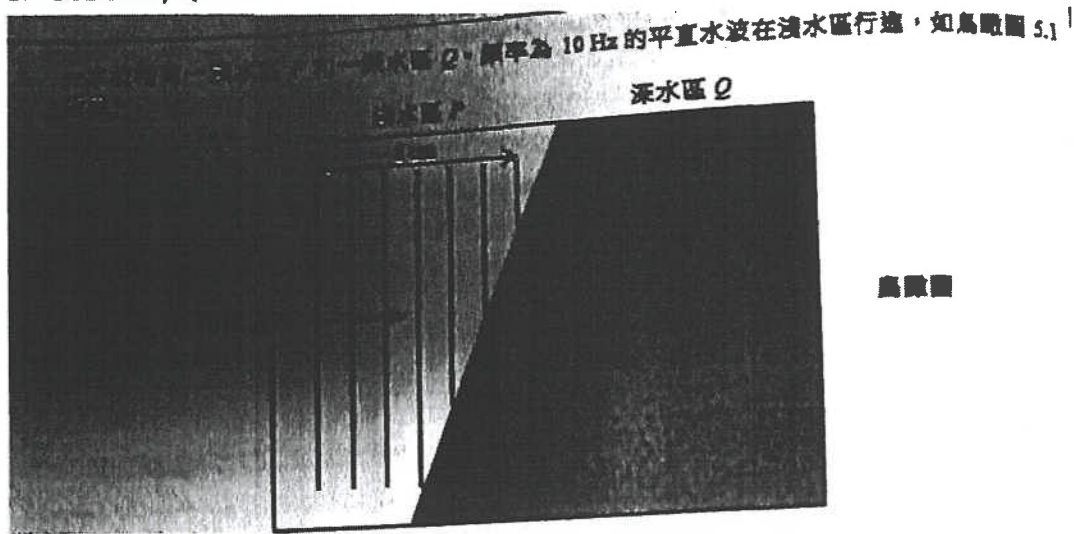
A 和 B 的間距為 1 m。於距離揚聲器 2 m 的線 XY 上以一收音器接收聲音。中央極大在 O 點，而下一個極大在 P 點。

(i) 就上述實驗設定來說，以雙縫干涉的條紋間距方程 $\Delta y = \frac{\lambda D}{a}$ 求聲音的波長 λ 並不準確。試簡單解釋。(1分)

(ii) 當訊號產生器設定於 750 Hz，O 與 P 之間的距離測得為 1 m。考慮程差 $PB - PA$ ，利用實驗的結果求空氣中的聲速。(3分)



3. DSE 2019, Q5



(a) 如圖所示，在淺水區中七個波峰的間距為 6 cm。

(i) 求淺水區中水波的波長。

(1分)

(ii) 淺水區中的波速是多少？

(1分)

(b) 水波然後傳播至深水區，而該區水波的波長為淺水區中的兩倍。

(i) 指出深水區中水波的頻率。

(1分)

(ii) 於圖 5.1 草繪在深水區中的波動圖樣。

(2分)

(iii) 寫出跨交界所發生現象的名稱，並解釋其成因。

(2分)

4. DSE 2019, Q6

在圖 6.1 中， AB 代表一物體經透鏡 L 所形成的虛像。像的放大率為 0.4。水平標度設為 1 cm 代表 5 cm。

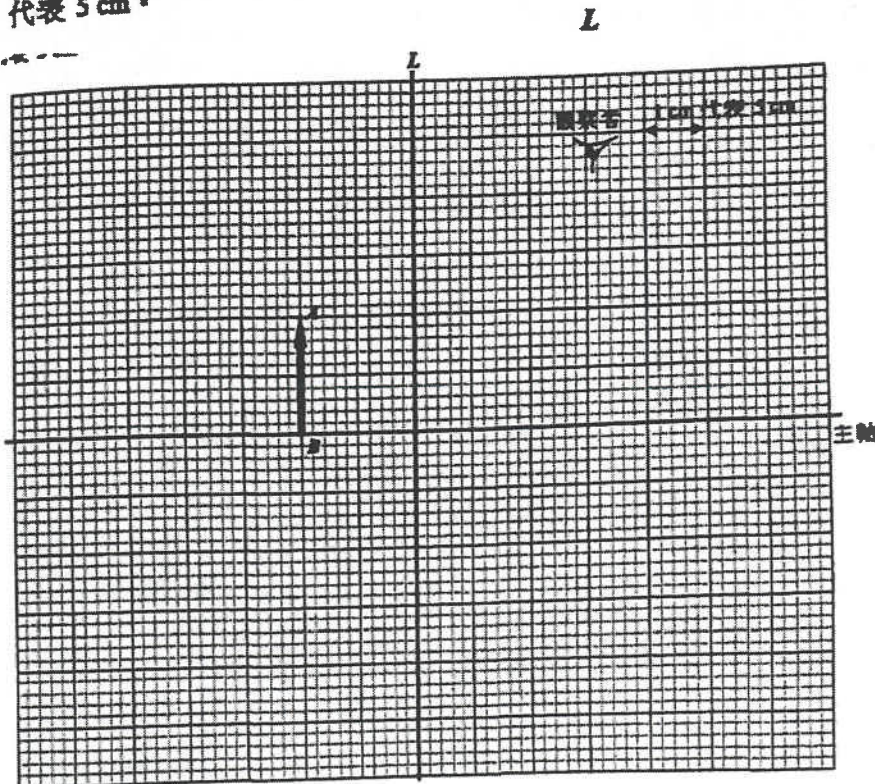


圖 6.1

- (a) 所用透鏡屬什麼類型？試解釋。 (2分)
- (b) 在圖 6.1 標示該物體的位置和高度。 (2分)
- (c) 繪畫一條合適的光線，以找出並標示透鏡焦點 F 的位置。求透鏡的焦距。 (3分)
- 焦距 =
- (d) 繪畫一條從物體發射出的光線，以顯示圖中的觀察者如何能看到像的頂端 A 。 (2分)

5. DSE 2020, Q6

6. 圖 6.1 的裝置是用以找出聲音在空氣中的速率。把兩個相同的微音器 A 和 B 連接一個計時器，並如圖所示放於一實驗檯面上。從兩微音器分別輸入至計時器 START 和 STOP 端鈕的訊號，可相應使計時器「啟動」和「停止」計時。

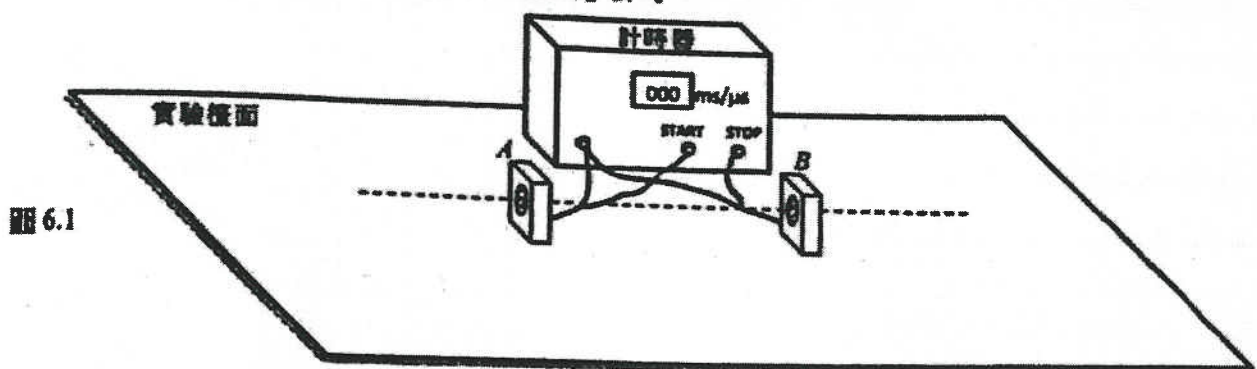


圖 6.1

- (a) 現給你一錘子和一塊鐵板 ()。在圖 6.1 以「X」標示於實驗中應在何處以錘子敲擊鐵板，使產生一短促而響亮的聲音讓兩微音器接收。就這實驗指出所需的一件額外儀器，以及需作的各項量度。 (3分)
- (b) A 和 B 的間距設置為 0.280 m 。重複實驗以得到下列數個計時器讀數：
- $801\ \mu\text{s} \cdot 838\ \mu\text{s} \cdot 539\ \mu\text{s} \cdot 821\ \mu\text{s}$
- (i) 求聲音在空氣中的速率，計算中須演示你會怎樣處理所得數據。
- (ii) 就實驗裝置的設定建議一項調整，以得到一個更準確的結果。 (3分)

6. DSE 2020, Q7

圖 7.1 顯示一光導纖維，其中折射率為 n_g 的圓柱形玻璃纖芯，以折射率為 n_c 的透明包覆層覆蓋。

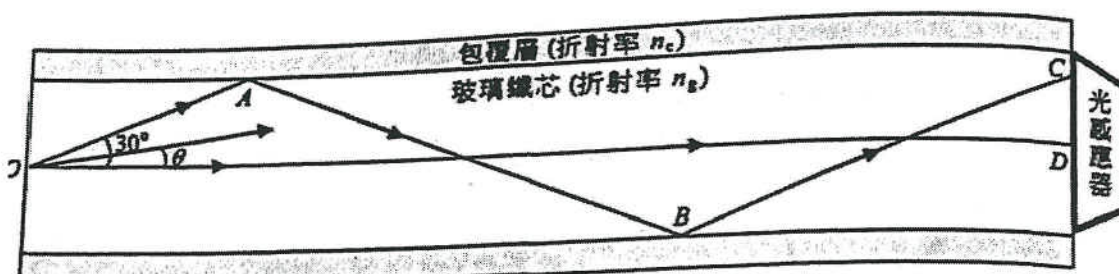


圖 7.1

如圖 7.1 所示，一個點光源於 O 點向四面八方發射單色光。在光導纖維內，光可透過眾多跟軸 OD 成角 θ 的不同路徑到達光纖右端，這些路徑其中兩條 OD 和 $OABC$ 已繪出作參考。光線 OA 跟軸 OD 成 30° 角，並在纖芯-包覆層邊界上的 A 點以入射角 i_A 入射。

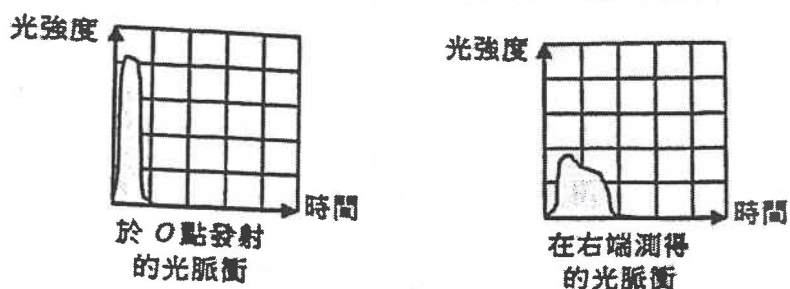
(a) (i) 求 i_A 。 (1分)

(ii) 如果 i_A 僅大於該邊界的臨界角，估算 $\frac{n_g}{n_c}$ 。 (2分)

(iii) 在 A 點發生什麼現象？指出 θ 須滿足何條件則這現象不會發生。 (2分)

(b) 一狹窄的單色光脈衝 (即為時很短) 於 O 點發射，在 $\theta = \pm 30^\circ$ 之內該脈衝及其能量傳播至光導纖維右端的光感應器。所發射和測得的光脈衝分別以同一標度顯示如下。

圖 7.2



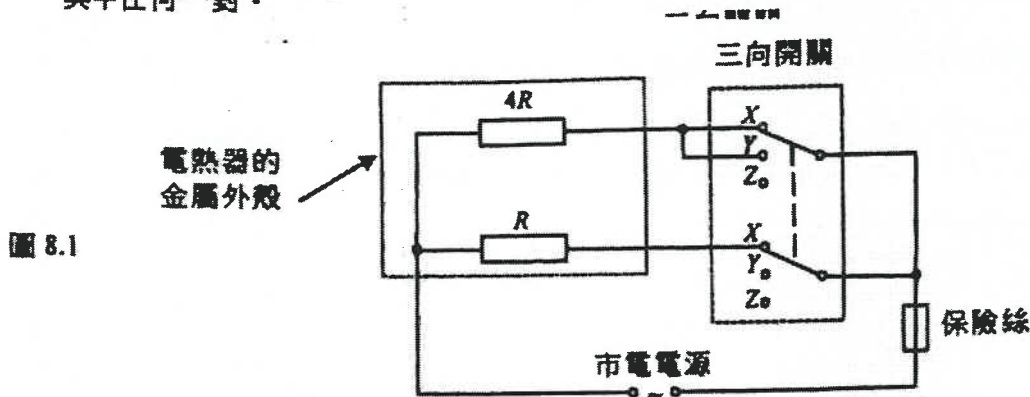
(i) 解釋為什麼所探測到的光脈衝較寬 (即為時較長) 而強度較低。假設光脈衝因玻璃的吸收所損耗的能量可忽略。 (2分)

(ii) 一工程師提議更改包覆層的折射率 n_c ，以減少所測得光脈衝的寬度。 n_c 應增加還是減少？或是 n_c 的改變對脈衝寬度並無影響？解釋你的選擇。 (2分)

4 電和磁

1. DSE 2018, Q8

- (a) 圖 8.1 的示意圖所顯示的電熱器有兩個操作模式，稱為「加熱」和「保溫」。電阻為 $4R$ 和 R 的發熱元件透過三向開關接駁市電電源，開關內相連的兩極可接駁 X - Y 或 Z 三對端鈕其中任何一對。

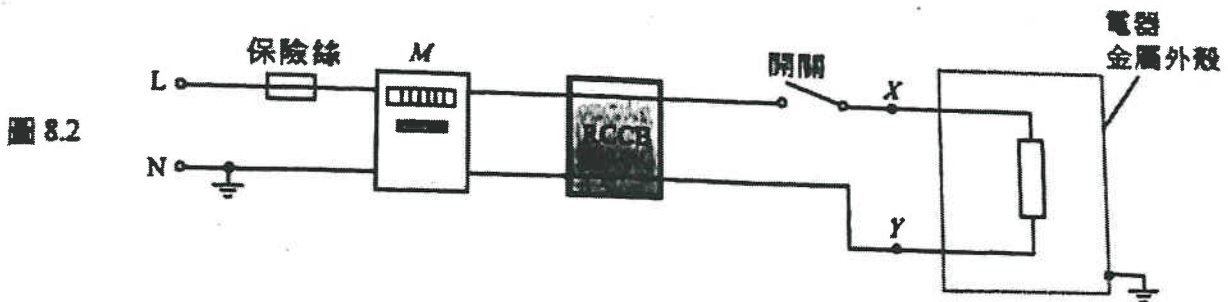


- (i) 當電熱器以「加熱」模式操作，開關應接於 X - Y 或 Z 哪一對端鈕？ (1分)

電熱器以「加熱」模式操作時所耗功率為 800 W 。

- (ii) 計算電熱器以「加熱」模式操作時從 220 V 市電電源取用的電流。 (2分)
- (iii) 求電熱器以「保溫」模式操作時所耗的功率。 (3分)

- (b) 在圖 8.2 所示的簡化家居電路中，一電器通過保險絲、儀錶 M 、漏電斷路器 (RCCB) 以及開關接上電路。



- (i) 儀錶 M 記錄的是什麼物理量？ (1分)
- (ii) 漏電斷路器 (RCCB) 是一種安全裝置，每當活線 (L) 和中線 (N) 上的電流有少許相差即自動斷電。試就以下各情況，指出哪個/哪些裝置會作出反應 (即保險絲燒斷及/或 RCCB 切斷電路)。
- (1) 點 X 和 Y 之間發生短路。 (1分)
- (2) 點 Y 和電器的金屬外殼之間發生短路。 (1分)

9. (a)

圖 9.1

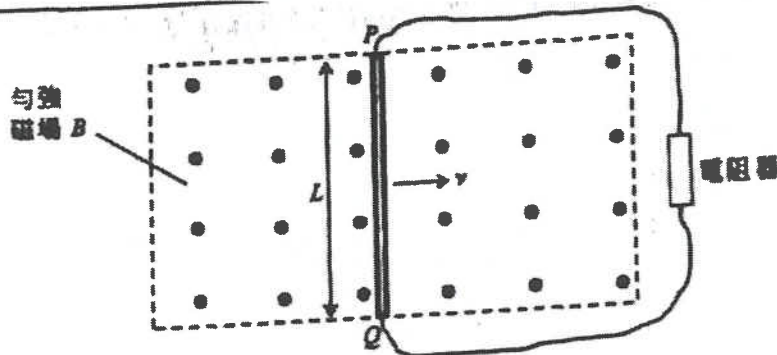


圖 9.1 顯示一長度為 L 的金屬棒 PQ ，以恆速度 v 於一指出紙面的勻強磁場 B 中運動。當金屬棒切割磁場力線， PQ 兩端會感生一電動勢 ξ 。將棒接至磁場外的一個電阻器，會有一電流 I 於電路中流通。

- (i) 在圖 9.1 標示出 I 的方向。 (1 分)
- (ii) 解釋為何需施以一外力 F 以維持棒 PQ 的勻速運動。求 F ，並以題中所提供的物理量表達。 (3 分)
- (iii) 這裝置運作有如一發電機。考慮由外力 F 輸入至這裝置的機械功率，證明 $\xi = BLv$ 。 (2 分)

(b) 在某地方，地球磁場的方向沿南-北走向而場力線跟水平成角 θ ，如圖 9.2(a) 所示。

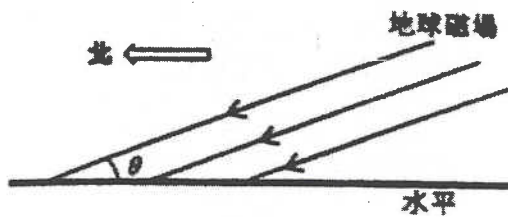


圖 9.2(a)

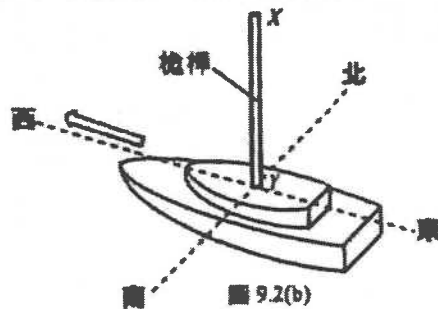


圖 9.2(b)

一艘裝有豎直鋁質桅桿的船在海上沿直線向西航行，如圖 9.2(b) 所示。桅桿 XY 兩端因而感生一電動勢。

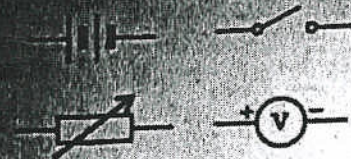
- (i) 解釋為什麼只因為桅桿切割地球磁場的水平分量才感生該電動勢。 (1 分)
- (ii) 已知：桅桿的長度 $XY = 20 \text{ m}$
 船的速率 $= 6 \text{ m s}^{-1}$
 地球磁場 $= 50 \mu\text{T}$
 $\theta = 30^\circ$

參照 (a)(iii) 部，計算 XY 兩端的感生電動勢，並指出在桅桿上自由電子的分佈是較多在端 X 、較多在端 Y 還是均勻分佈於 XY 。 (3 分)

- (iii) 若以一絲並排於桅桿的電纜連接 X 和 Y 從而形成一完整電路，試解釋電路會否有電流流通。 (2 分)

3. DSE 2019, Q7

圖 8.0 顯示一個由電池組、一個開關、一個可變電阻 (有數個已知的電阻值 R 供選擇) 和數條接線。



(a) 設計一個簡單而準確的實驗步驟，以探究電池組輸出的端電壓 V 如何取決於所接取的電阻值。寫出實驗中一個須注意的事項。(5分)

(b) 描述 V 隨 R 的變化，並以 \mathcal{E} 、 r 和 R 表出 V 。(2分)

4. DSE 2019, Q8

圖 8.1 顯示一個由 220 V 市電電線 (包括活線 L 和中線 N) 經電錶 M 接至配電箱。在配電箱內，電線接至若干並聯的支線電路。

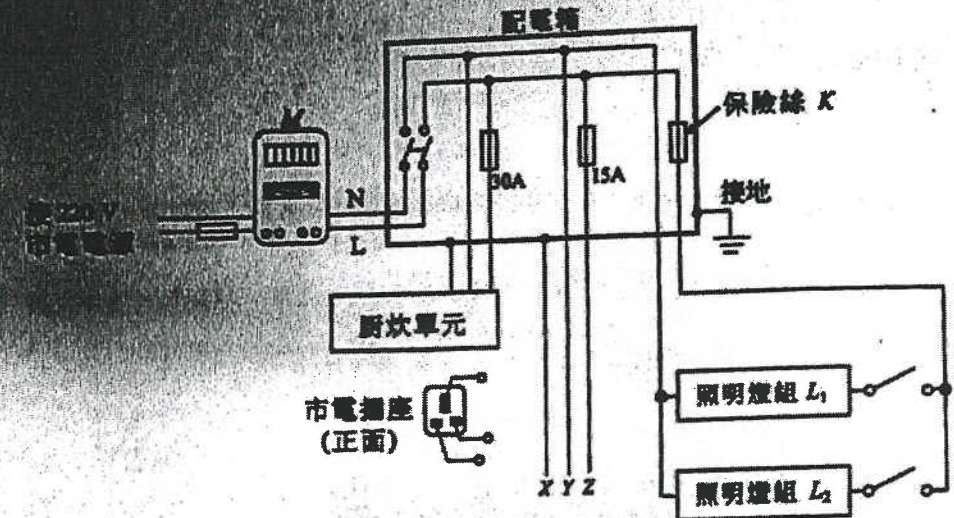


圖 8.1

(a) 在圖 8.1 標示應如何將市電插座接駁至電線 X、Y 和 Z。(1分)

(b) 額定功率分別為 300 W 和 450 W 的照明燈組 L_1 和 L_2 並聯連接含保險絲 K 的支線電路。

(i) 指出將 L_1 和 L_2 以並聯而非串聯連接支線電路的一個優點。(1分)

(ii) 倘有標着 3 A、5 A、10 A 和 13 A 的保險絲，哪一個最適合用作保險絲 K？解釋你所作的選擇。(3分)

(c) 厨炊單元包括以下電器：

	額定值	每天以額定值有效運作的時間
電冰箱	220 V、500 W	8 小時
電水煲	220 V、2000 W	0.5 小時
電磁爐	220 V、3000 W	2 小時

如果每 1 kWh 電能的收費為 \$0.9，運作這些電器每天需付費多少？(3分)

5. DSE 2019, Q9

線圈面積為 0.005 m^2 ，線圈處於強度為 0.3 T 指入紙面的勻強

勻強磁場 B

(a) 磁場的強度於 0.5 s 內均勻地減至零。

(i) 解釋為什麼線圈會產生一電流。 (2分)

(ii) 計算通過線圈的總磁通匝鏈數改變，以及線圈上感生電動勢 ξ 的值。 (3分)

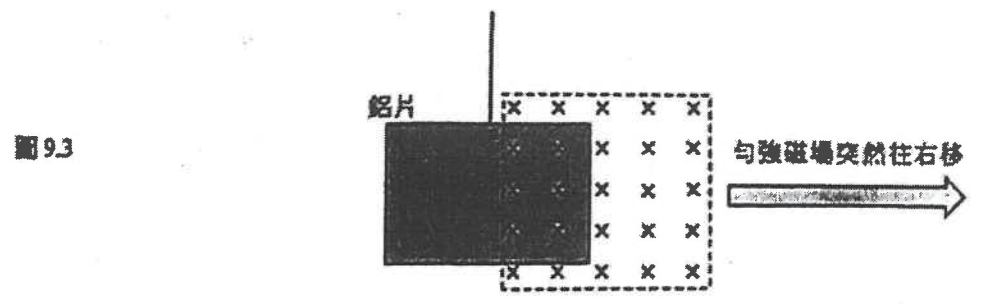
(b) 如圖 9.2(a) 和 9.2(b) 所示，現於 0.5 s 內使線圈繞軸勻速旋轉 180° 。

圖 9.2(a) 圖 9.2(b)

(i) 指出在此情況中通過線圈的總磁通匝鏈數改變的值。 (1分)

(ii) 於線圈旋轉了 90° 的瞬間，感生電流的方向為 $PQRS$ 、 $PSRQ$ 還是在線圈上並沒有感生電流？ (1分)

(c) 圖 9.3 顯示一長方形薄鋁片以長繩懸掛着。鋁片有一部分處於由強磁鐵所提供的勻強磁場內。



跟鋁片沒有任何接觸的磁鐵突然往右移。

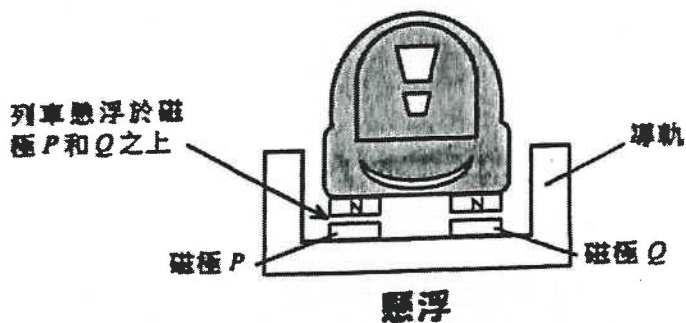
(i) 在圖 9.3 於鋁片上有渦電流感生的地方繪一小圈，並以箭頭標示電流方向。 (2分)

(ii) 描述該鋁片隨後或有的運動。 (1分)

6. DSE 2020, Q3

細閱以下有關「磁浮列車」的文章，並回答隨後的問題。

磁浮列車發明人之子積斯堡威說：「一磁浮列車的車卡只是一個四角裝有磁鐵的盒子」。
所用電磁鐵以超導線圈（即線圈的電阻極低）製成，因此可產生較普通電磁鐵強 10 倍的磁場，足以懸浮和驅動一列車。



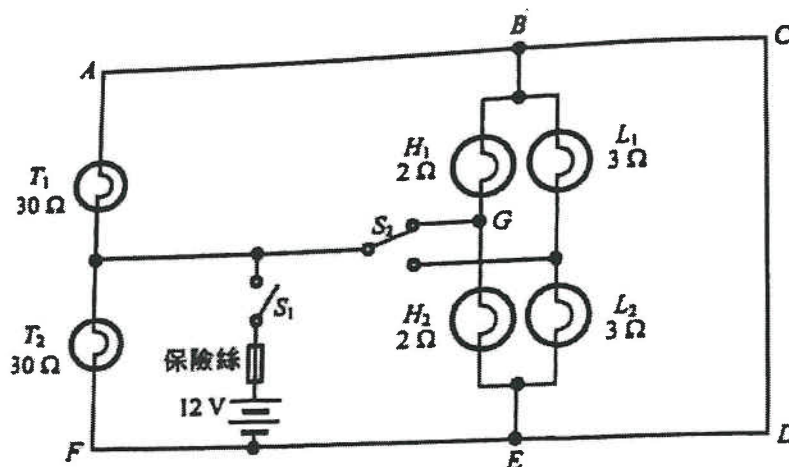
因應不同功能而設的兩組磁場，一組令列車如圖所示懸浮於磁極 P 和 Q 之上數厘米，而另一組以交流電運作的磁場則為驅動系統，以磁吸力和斥力使列車車卡於導軌上運動。這種懸浮設計使行車更平穩。即使列車以接近每小時 600 km 行駛，乘客仍較乘坐傳統火車感受較小的振動。

- (a) 解釋為什麼以超導線圈製成的電磁鐵能產生遠為強大的磁場。 (2分)
- (b) 指出磁極 P 和 Q 的極性，並說明這設置怎樣能使列車懸浮。 (2分)
- (c) 根據列車所受各種阻力，解釋磁浮列車的旅程為何更 (i) 平穩和 (ii) 快捷。 (2分)

7. DSE 2020, Q8

圖 8.1 顯示一汽車燈號系統的簡化電路。每一尾燈 (T_1 、 T_2)、車頭高燈 (H_1 、 H_2) 和車頭低燈 (L_1 、 L_2) 的電阻分別為 $30\ \Omega$ 、 $2\ \Omega$ 和 $3\ \Omega$ 。12 V 電池組的內阻以及保險絲的電阻可略去不計。

圖 8.1



當開關 S_1 閉合而開關 S_2 設置在圖 8.1 所示位置，只有 T_1 和 T_2 以及 H_1 和 H_2 亮起。於這設定下，從電池組所取的電流為最大。

- (a) 解釋為什麼 L_1 和 L_2 沒有亮起。 (1分)
- (b) (i) 跨尾燈 T_2 的電勢差是多少？ (1分)
- (ii) 在圖 8.1 標示每一支路 AB 、 GB 和 BC 上的電流方向。哪一支路上的電流最大？ (3分)
- (c) 計算電池組所提供的功率，並證明於這設定下電路的等效電阻僅少於 1Ω 。 (4分)
- (d) 根據你在 (c) 所得的答案，解釋額定值為 15 A 的保險絲是否適用於這電路。 (2分)
8. DSE 2020, Q9

兩細小的金屬球接於絕緣棒兩端，棒的長度為 5.0 cm 。如圖 9.1 所示，兩球分別帶等值的電荷 $+Q$ 和 $-Q$ 。絕緣棒水平懸掛在兩塊平行的金屬板 A 和 B 之間，兩板接至超高壓電源 (E.H.T.)。

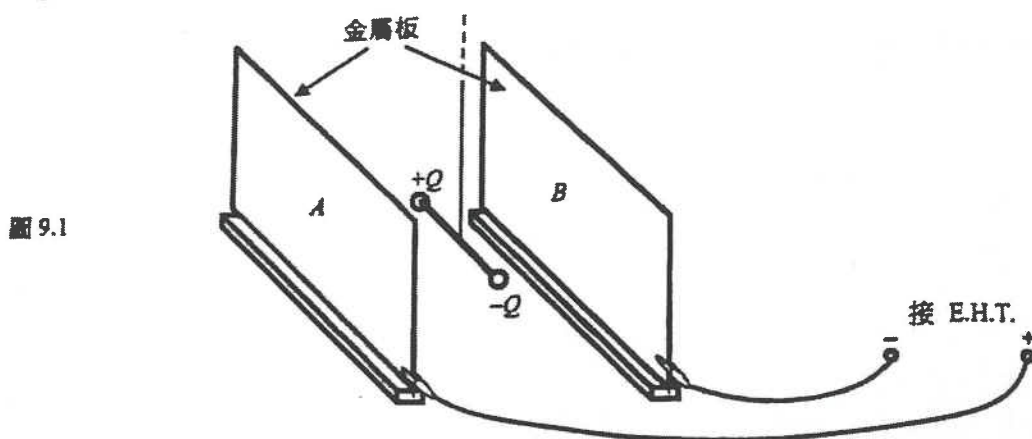


圖 9.1

當超高壓電源關閉時，棒跟兩金屬板平行。超高壓電源開啟後，兩板間形成一電場使棒扭轉了 20° ，如圖 9.2 所示。

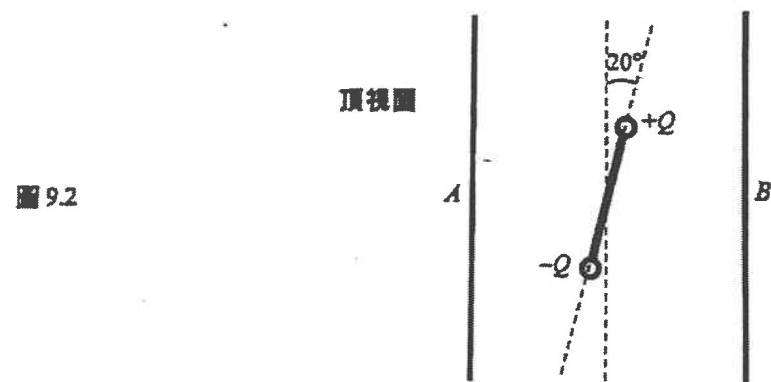


圖 9.2

- (a) 在圖 9.2 草繪跨兩板的電勢差所形成電場的場力線。 (2分)
- (b) 跨 A 和 B 的電勢差為 5.0 kV ，而兩金屬板的間距為 10 cm 。電場施於每球的力均為 $2.0 \times 10^{-3}\text{ N}$ ，求
- (i) 帶電的球所受電力在圖 9.2 對棒所構成的力矩。 (2分)
- * (ii) 跨兩金屬板的電勢差所產生電場的強度 E 。 (2分)
- (iii) 球所帶電荷 Q 的值。 (2分)

5 放射現象和核能

1. DSE 2018, Q10

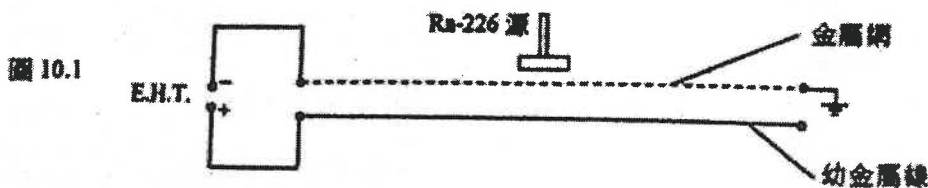
10. (a) 以下為釷-226 (Ra-226) 衰變系的一部分。Ra-226 衰變成釷 (Ra) 時會發射一 α 粒子，半衰期為 1600 年。而這系的最終產物為穩定的鉛 (Pb)。



- (i) ${}_{82}^{206}\text{Pb}$ 、 ${}_{82}^{207}\text{Pb}$ 和 ${}_{82}^{208}\text{Pb}$ 是鉛的三個穩定的同位素。附以理由，指出哪一同位素可以是這系的最終產物。(2分)

(ii) 在某實驗室的一個 Ra-226 源使用了 50 年。經過該時段後，估算所剩未衰變的 Ra-226 的百分數。(2分)

- (b) 火花計數器可顯示輻射的致電離能力。圖 10.1 顯示學校實驗室採用的一類火花計數器的主部件。



火花計數器有一條幼金屬線固定於接地的金屬網之下數 mm 處，金屬線接取超高压電源 (E.H.T.) 的正端鈕，使金屬線與金屬網之間產生一個非常強的電場。把一個 Ra-226 源放近金屬網時，會不規則地間歇產生帶閃光和爆裂聲的火花。

- (i) 解釋為什麼火花是不規則地間歇出現。(1分)

學校實驗室所用的 Ra-226 源通常視作可發射 α 、 β 以及 γ 輻射。

- (ii) 解釋為什麼縱使該放射源基本為 α -發射體，它亦會發射 β 輻射。(1分)

(iii) 為什麼火花主要是由 α 輻射引致而非因 β 或 γ 輻射造成？建議一個簡單的做法來印證此說。(2分)

2. DSE 2019, Q10



(1分)

指出圖中可發生連鎖反應的一個必需條件。

(1分)

科學家於非洲的奧克洛發現，在二十億 (2×10^9) 年前發生天然核裂變的證據。現今從奧克洛圓錐體的鈾礦砂中 U-235 的質量濃度為 0.6% (見下表)，這遠較正常值低。

- (b) 表列在奧克洛得到的一個鈾礦砂樣本中 U-235 和 U-238 含量的資料。
已知：U-235 的半衰期 = 7.04×10^8 年

	2×10^9 年之前	現今
U-235	m_0 kg	0.060 kg (即質量濃度為 0.6%)
U-238	13.556 kg	9.940 kg (即質量濃度為 99.4%)

(i) 估算在 2×10^9 年前，該樣本中 U-235 的含量 m_0 (單位 kg)。(2分)

- (ii) 據此推斷在 2×10^9 年前 U-235 天然核裂變能否發生。在鈾礦砂中 U-235 的質量濃度最少須達 3% 方可發生裂變。(1分)

該鈾含量豐富的礦床附近備有地下水，天然核裂變才有可能發生，因水能使裂變產生的高速中子減慢，令該些中子較易被 U-235 捕獲。

- (c) 事實上，即使在 U-235 的質量濃度降至 3% 之前，連鎖反應已停止了。試解釋為何如此。(2分)

3. DSE 2020, Q10

已知：質子質量 = 1.0073 u
 α 粒子質量 = 4.0015 u
 $^{14}_7\text{N}$ 原子核質量 = 13.9993 u
 $^{17}_8\text{O}$ 原子核質量 = 16.9947 u

一靜止的 $^{14}_7\text{N}$ 原子核被一 α 粒子轟擊，可引發以下核反應並有產物 $^{17}_8\text{O}$ 和 X 飛出：



- (a) X 是什麼？(1分)

* (b) 從能量方面考慮，估算 α 粒子需擁有的最小動能 (以 MeV 表達) 以促使這核反應發生。(2分)

- (c) 然而當加上動量守恆的考慮， α 粒子擁有的動能必須較 (b) 所求得的大，方能令該反應發生。試解釋。(2分)

1 天文學和航天科學

1. DSE 2018, Q1

(a) X 是一遙遠的恆星，從地球觀察時其視差為 $0.08''$ 。

(i) 求恆星 X 與地球的距離，答案以 ly 表達。

(2分)

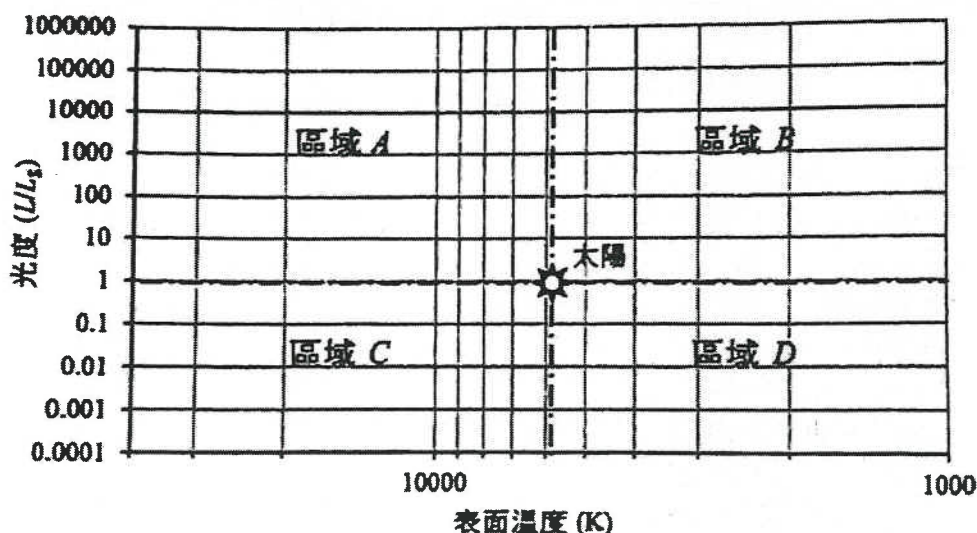
(ii) 以下為恆星 X 的資料：

表面溫度 = 2900 K

半徑 = $0.14 R_{\odot}$ 其中 R_{\odot} 為太陽的半徑

已知太陽的表面溫度 $T_{\odot} = 5800$ K，推算恆星 X 的光度並以太陽的光度 L_{\odot} 表達，據此或其他方法，指出 X 是位於赫羅 (H-R) 圖上 A 、 B 、 C 或 D 哪一區域。

(3分)



(b) 有一地球大小的行星 Y 圍繞恆星 X 運動。

(i) 為什麼難以直接用光學望遠鏡觀察 Y ，除了因為它非常細小並離地球極遠？

(1分)

(ii) 天文學家能間接推算出 Y 圍繞母恆星 X 的軌道週期 T ，因兩者的相互作用導致 X 以同一週期晃動 (即繞它們的質心作小幅度旋轉)。寫出這種相互作用，並指出應量度 X 的哪一物理量以求 T 。

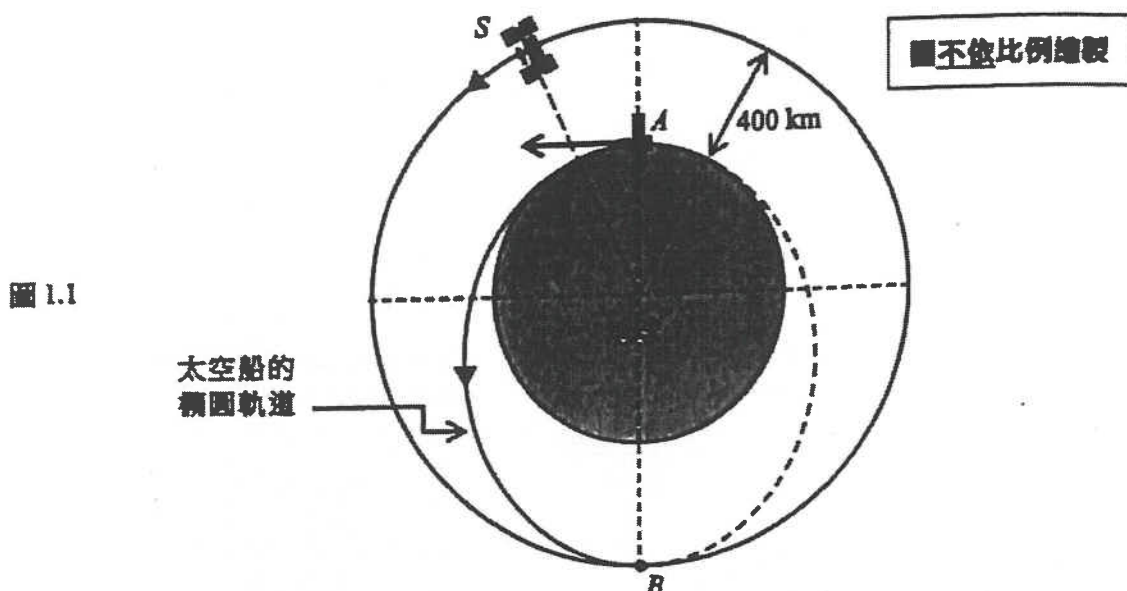
(2分)

(iii) 某行星是否有利生物存活的一項假定為，從母恆星照射到該行星上每單位面積的功率 I_Y ，跟從太陽照射到地球上每單位面積的功率 I_E 之比是否介乎 0.5 至 2。利用 (a)(ii) 的結果推算行星 Y 是否滿足這條條件。已知 X 和 Y 的距離為 0.04 AU。(註：從母恆星照射到行星上每單位面積的功率為 $I = \frac{L}{4\pi d^2}$ ，其中 L 為母恆星的光度，而 d 為行星與母恆星的距離。)

(2分)

2. DSE 2019, Q1

圖 1.1 顯示一太空站 S 在地球表面對上 400 km 高的圓形軌道上繞轉。



一太空船從地球表面的 A 點以 8.02 km s^{-1} 的速率發射，經長軸為 AB 的橢圓軌道航行以會合該太空站 S 。當沿橢圓軌道從 A 至 B 航行時，太空船的火箭引擎關掉。假設該兩軌道處同一平面。已知： $GM = 4 \times 10^7 \text{ km}^3 \text{ s}^{-2}$ ，其中 G 為萬有引力常數而 M 為地球質量。

地球半徑 = 6400 km

- (a) (i) 利用總機械能守恆或其他方法，求太空船於到達 B 的速率 v_B 。大氣的影響可忽略。 (2分)
- (ii) 證明太空船從 A 航行至 B 需時約 2663 s。 (2分)
- (iii) 解釋為什麼在軌道航行的太空船內，太空人會感受到「無重狀態」。 (1分)
- (b) 太空站 S 以恆定速率 7.67 km s^{-1} 在圓形軌道上運動，週期為 5570 s。
- (i) 如果當太空船剛到達 B 時與太空站 S 會合，利用 (a)(ii) 所得結果證明當太空船在 A 剛發射時，兩者的角間距 θ (顯示於圖 1.1) 應略小於 8° 。 (2分)
- (ii) 當兩者在 B 會合時，為使 (a)(i) 求得的太空船速率 v_B 完全等同太空站 S 的速率，一學生建議稍為調校太空船在 A 的發射速率。評論該建議的可行性。 (2分)
- (iii) 建議一個簡單的方法，使太空船在 B 跟太空站 S 以相同速率運動。 (1分)

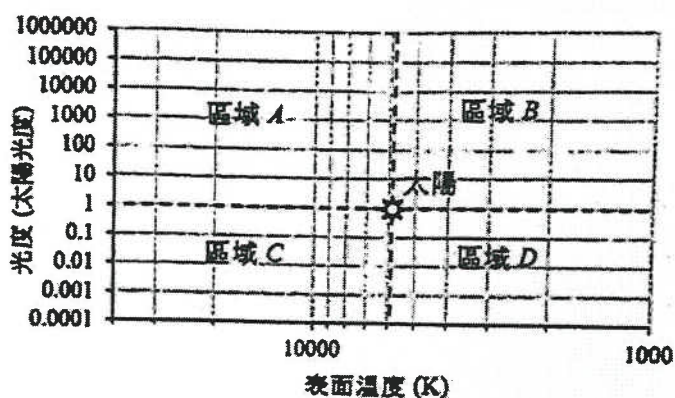
3. DSE 2020, Q1

在非常久遠之前，距離地球約 50 kpc 的某恆星 X 發生爆炸，因而形成了超新星 1987A (SN 1987A)。該超新星的光最先在 1987 年到達地球。

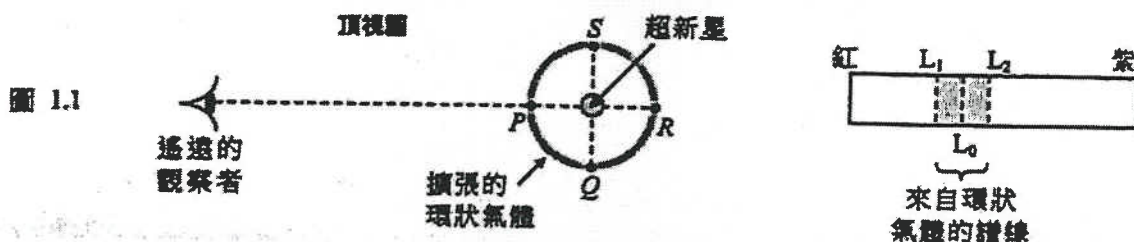
- (a) 估算上述爆炸於多久前發生。(答案以年表達至 3 位有效數字) (1分)
- (b) 於 SN 1987A 亮度最大時，其視星等為 +2.9。SN 1987A 於亮度最大時的「絕對星等」是少於、大於還是等於 +2.9? 解釋你的答案。 (2分)

恆星 X 未爆炸之前，其光度約為太陽的 40000 倍，而它的表面溫度是太陽的 3.1 倍。

- (c) (i) 利用斯特藩定律，證明恆星 X 的半徑約為太陽半徑的 20 倍。 (2分)
- (ii) 恆星 X 位於赫羅圖上 A 、 B 、 C 、 D 哪一區域？解釋這恆星的類型是否屬於「紅巨星」。 (2分)



- (d) SN 1987A 的一個特點是有一圓環狀的氣體圍繞着該超新星。這些氣體是早於恆星 X 爆炸前一段時間從恆星噴出，而環上每點均以恆定速率遠離超新星向外擴張，如圖 1.1 所示。

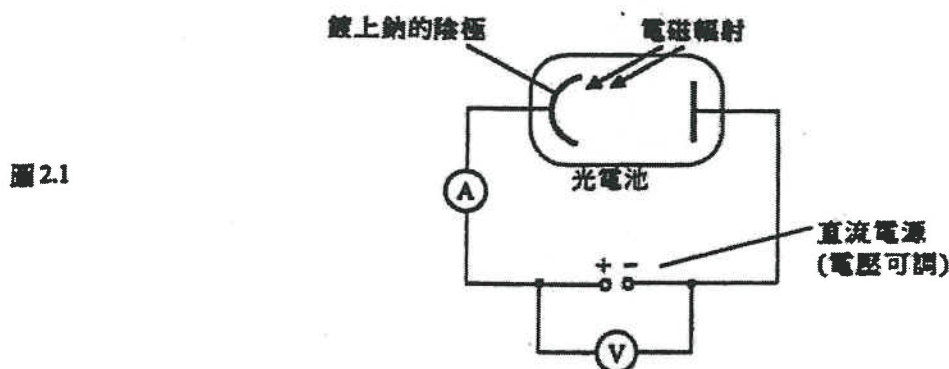


在包含着該環的平面上，假設有一遙遠的觀察者觀測來自環狀氣體的某譜線，發現該譜線所覆蓋波長在界限 L_1 和 L_2 之間，如圖 1.1 所示。在實驗室觀測該譜線時波長為 L_0 。指出分別源於環上 Q 點和 R 點的波長，解釋你的答案。 (3分)

2 原子世界

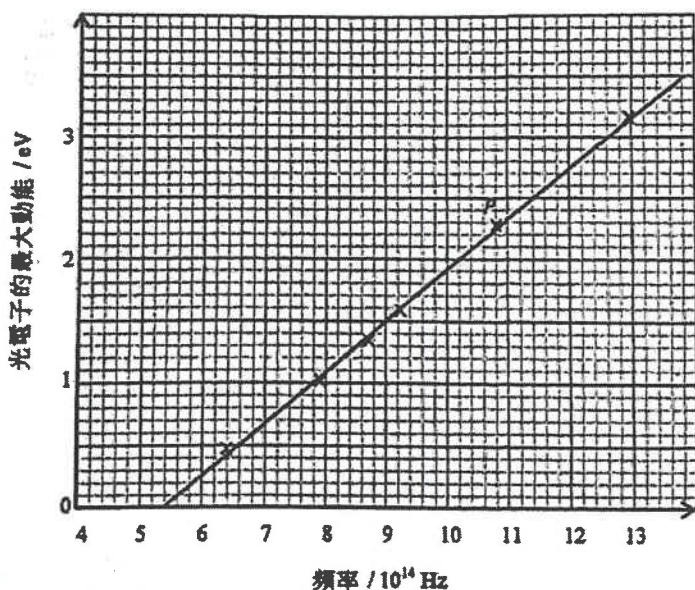
1. DSE 2018, Q2

利用強度相同但頻率不同的電磁輻射，照射圖 2.1 所示裝置中表面鍍上鈉的陰極，以量度從鈉金屬所發射光電子的最大動能。



- (a) 簡述怎樣以這裝置就某一頻率 (高於臨閾值) 的輻射量度光電子的最大動能。 (2分)
- (b) 圖 2.2 的線圖顯示實驗的結果。

圖 2.2



- (i) 指出來自電磁波譜哪部分的輻射用以得到數據點 P。 (1分)
 - (ii) 求線圖的斜率並推斷其物理意義。 (3分)
 - (iii) 計算鈉的功函數，答案以 eV 表達。 (2分)
- (c) 如果採用強度較低的電磁輻射重複這實驗，指出所得線圖或有的改變，試解釋。 (2分)

2. DSE 2019, Q2

(a) 在湯姆生的「葡萄乾-布丁」原子模型中，一原子是一團帶正電的物質嵌入了帶負電並到處分布的電子。

- (i) 為驗證該原子模型，一個以一束 α 粒子射向金箔的實驗曾進行，並量度 α 粒子的偏轉，指出該散射實驗的結果。 (2分)
- (ii) 湯姆生原子模型不能解釋在 (a)(i) 的散射實驗的結果，為什麼？ (1分)

(b) 下面代表一氫原子的部分能級，氫原子的基態能量 E_0 為 -13.6 eV 。

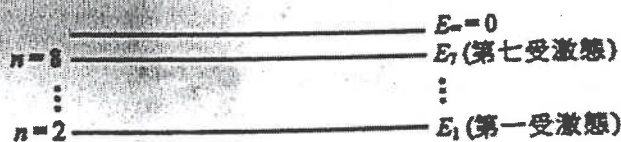


圖 2.1

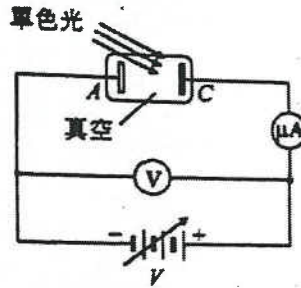
圖不依比例繪製

- (i) 一氫原子的所有能級除 E_{∞} 之外皆為負值，指出能級為「負值」的物理意義以及電子處於 E_{∞} 的含義。 (2分)
- (ii) 一氫原子從第七受激態 ($n = 8$) 躍遷至第一受激態 ($n = 2$)，所發射出電磁波的波長是多少？ (3分)
- (iii) 將處於第三受激態 (未有顯示) 的一氫原子電離，求所需的最少能量。 (2分)

3. DSE 2020, Q2

為演示光電效應，圖 2.1 所示光電池的電極 A 和 C 接駁着電勢差 V ，其讀數以高電阻伏特計讀取。該電勢差可從 0 V 調校至 2.5 V。

圖 2.1



當波長為 300 nm 的單色光照射電極 C，內阻可略的微安計顯示有讀數。

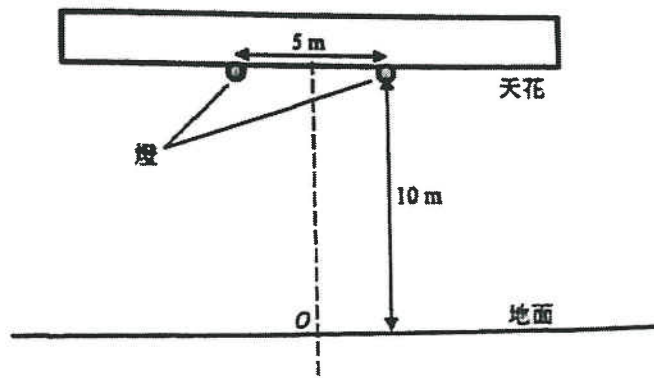
- (a) (i) 指出該入射光屬於電磁波譜的哪一部分 (紫外線、藍色、綠色、紅色還是紅外線)。(1分)
- (ii) 根據波動理論，光電發射應有一「時間延遲」才出現，然而實驗結果顯示光電發射是即時的。指出這實驗結果的含義。(1分)
- (b) 調校所施電勢差，直至在 $V = 1.7\text{ V}$ 時微安計讀數剛下降至零。
- (i) 若所用人射光的波長相同但強度較高，指出並解釋微安計讀數會否改變。(2分)
- (ii) 計算電極 C 的功函數，以 eV 表達。(3分)
- (c) 現調校所施電勢差直至 $V = 0.8\text{ V}$ 而微安計顯示 $0.4\text{ }\mu\text{A}$ 。
- (i) 估算每秒鐘到達電極 A 的光電子數目。(1分)
- (ii) 指出到達 A 的光電子的最大動能，以 eV 表達。解釋為什麼到達 A 的光電子不是全部皆擁有這數量的動能。(2分)

3 能量和能源的使用

1. DSE 2018, Q3

- (a) (i) 白熾燈的能源效益遠低於其他光源如螢光燈或發光二極管 (LED)。試就白熾燈如何產生光以解釋為何如此。(2分)
- (ii) 大小和形狀相同的兩個光源分別發出白光和綠光。如果兩者輸出光的功率相同，解釋哪一個光源看起來較亮。(2分)
- (b) 圖 3.1 顯示簡化了的隧道燈光安排，在天花安裝了兩盞燈而每盞的光通量為 10000 流明。

圖 3.1



2. DSE 2019, Q3

- (a) 太陽的總功率約為 $3.86 \times 10^{26} \text{ W}$ ，並均勻地向四方八面輻射。地球與太陽的平均距離為 $1.50 \times 10^{11} \text{ m}$ 。
- (i) 估算跟地球距離太陽同樣遠近的地方，每單位面積接收到太陽輻射的功率。 (2分)
- (ii) 指出一原因為何在正向太陽的地球表面，每單位面積接收到太陽輻射的最高功率只約為 (a)(i) 所得的 70%。 (1分)
- (b) 在以下簡化示意圖所示家居儲電系統中，太陽的能量到達一太陽能板並儲存至一電池組。



圖 3.1

太陽能板的面積為 1.65 m^2 ，並通過充電控制裝置（未顯示於圖 3.1）連接至電池組。在陽光普照時，該塊太陽能板正向太陽時可提供 300 W 。

已知：地球表面每單位面積接收到太陽輻射的功率 = 1000 W m^{-2}

- (i) 描述該家居儲電系統於充電期間的各項能量轉換。 (2分)
- (ii) 求該太陽能板的效率。 (2分)
- (iii) 儲電電池組的容量為「100 Ah 12 V」。以該太陽能板將初始時完全放電的電池組充電，而充電期間有 20% 的能量散失，要將該電池組完全充電需時多久？指出計算中的一項假設。 (3分)

3. DSE 2020, Q3

世界上的核電廠大多採用壓水式反應堆。在反應堆內，能量從鈾-235 原子核 ($^{235}_{92}\text{U}$) 的裂變產生。以下為一個典型的裂變反應：



- (a) 根據圖 3.1 的結合能曲線，解釋為什麼鈾-235 原子核有進行裂變的傾向。 (2分)

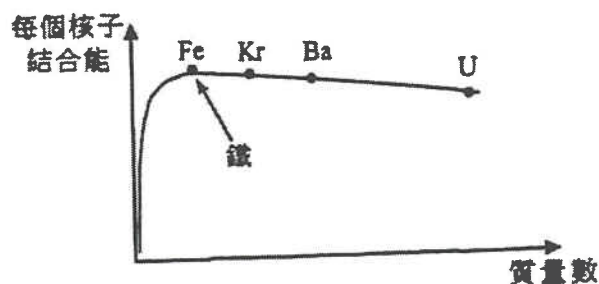


圖 3.1

(b) 一鈾-235 原子核的結合能為 1783 MeV。

(i) 以上敘述的意思是什麼？ (1分)

(ii) 求一鈾-235 原子核裂變所釋出的能量，以 MeV 為單位。

已知： $^{144}_{56}\text{Ba}$ 原子核的每個核子結合能 = 8.27 MeV 每核子

$^{90}_{36}\text{Kr}$ 原子核的每個核子結合能 = 8.59 MeV 每核子

(2分)

(c) (i) 倘一核電廠反應堆的燃料棒所含鈾-235 原子核全部進行了裂變，會釋出總能量 1.30×10^{30} MeV。已知核電廠的平均輸出功率為 500 MW，而將核能轉換成電能的效率為 40%。估算燃料棒可用多久，以年為單位。(取 1 年 = 3.15×10^7 秒) (2分)

(ii) 指出一原因為何早於 (c)(i) 所估算時間到達之前，燃料棒通常已被更換。 (1分)

(d) 解釋以下各項在一裂變反應堆中的作用：

(i) 減速劑

(ii) 控制棒

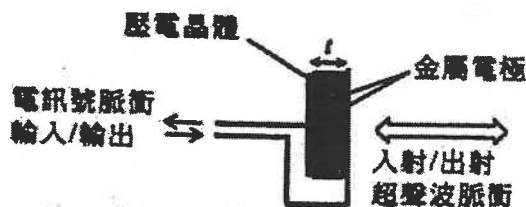
(2分)

4 醫學物理學

1. DSE 2018, Q4

(a) 壓電換能器可產生以及探測超聲波。圖 4.1 顯示一壓電換能器的基本結構，其中壓電晶體的厚度為 t 。

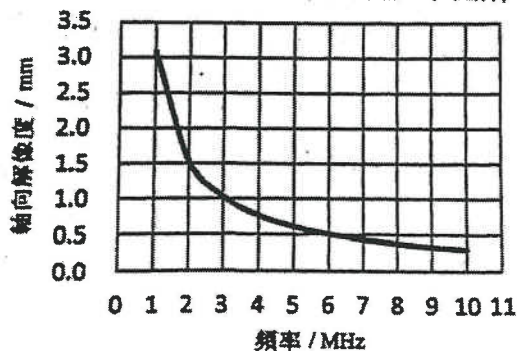
圖 4.1



(i) 晶體對某頻率 f 的所施電訊號起最大反應，亦即晶體中超聲波的波長的一半約為 t 。超聲波在晶體中的速率為 4000 m s^{-1} 。如果 $t = 0.4 \text{ mm}$ ，估算 f 。 (1分)

(ii) 壓電換能器所產生的一個超聲波脈衝被一界面反射回來成一回聲。解釋換能器如何探測到這回聲。 (2分)

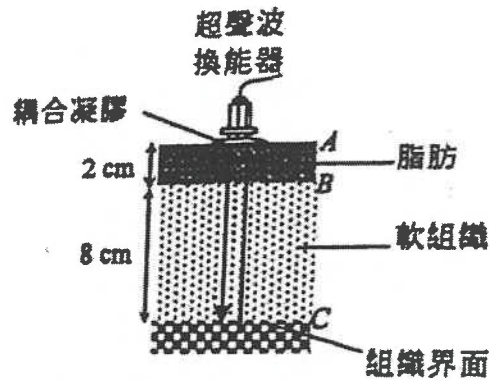
(b) 醫學成像所使用的超聲波束，沿波束方向（軸向）對軟組織的解像度（單位 mm）跟所用超聲波的頻率（單位 MHz）的變化如下圖所示。



- (i) 解釋軸向解像度於超聲波成像的重要性。 (2分)
- (ii) 事實上，軸向解像度跟所用超聲波的頻率成反比。試利用線圖上一或兩點來推算使用 12 MHz 超聲波時所得圖像的軸向解像度。 (2分)

(c) 以圖 4.2 顯示的裝置探究一組織界面，界面處於厚度為 2 cm 的脂肪層和厚度為 8 cm 的軟組織層之下。超聲波在脂肪層的速率為 1450 m s^{-1} ，而在軟組織層則為 1540 m s^{-1} 。

圖 4.2



- (i) 計算超聲波脈衝來回位於 C 的組織界面的回聲時間 T 。 (2分)
- (ii) 一部計算該組織界面深度的儀器，將整個回聲時間 T 視作只在軟組織中來回傳播 (即校正於速率 1540 m s^{-1})。試推算計算深度與組織界面的實際深度相差多少。 (1分)

2. DSE 2019, Q4

(a) 一內窺鏡以一束光導纖維製成，而每條光導纖維的玻璃纖芯以包覆層覆蓋，如圖 4.1 所示。內窺鏡可從病人的天然開孔進入察看內臟。玻璃纖芯和包覆層的折射率分別為 1.5 和 1.45。

圖 4.1



- (i) 求纖芯-包覆層界面的臨界角 c 。 (1分)
- (ii) 對於一條如圖示以角 α 進入玻璃纖芯的光線，解釋為什麼 α 須小於某角 α_{max} 才可被導引通過纖芯而不會漏光。 (2分)
- (iii) 一病者患有胃潰瘍 (即胃黏膜有損傷)，指出以內窺鏡檢查胃部相對採用 X-射線放射攝影的一個優點和一個缺點。 (2分)

(b) 有關聲音穿透不同身體組織時的資料表列如下。

組織	聲音的速率 / m s^{-1}	聲阻抗 / $\text{kg m}^{-2} \text{ s}^{-1}$
骨	3780	7.15×10^6
肌肉	1590	1.65×10^6
脂肪	1450	1.37×10^6

- (i) 估算骨的密度。 (1分)
- (ii) 當超聲波入射一「肌肉-骨」界面，求界面所反射超聲波與入射超聲波的強度之比。 (2分)
- (iii) 解釋為什麼於超聲波掃描中，「肌肉-骨」界面比「肌肉-脂肪」界面較易區分。 (2分)

3. DSE 2020, Q4

- (a) 簡要指出 X 射線如何產生。 (1分)
- (b) 下表列出一 X 射線束在軟組織和骨的線衰減係數。

	線衰減係數
軟組織	$\mu_s = 0.51 \text{ cm}^{-1}$
骨	$\mu_b = 2.46 \text{ cm}^{-1}$

- (i) 指出令骨的線衰減係數較軟組織為高的一個因素。 (1分)
- (ii) 強度為 I_0 的 X 射線束通過 5.6 cm 厚的軟組織後衰減至強度 I 。同一 X 射線束通過多厚的骨會有相同程度的衰減？寫出你的計算步驟。 (2分)
- (iii) 解釋為什麼乳房的 X 射線放射攝影成像一般採用較低能量的 X-射線 (~20 keV)，而檢查含骨骼的結構則採用能量約 100 keV 的 X 射線。 (2分)
- (c) 醫學檢查例如 X 射線放射攝影成像和電腦斷層造影 (CT) 所涉的輻射暴露，普遍為公眾所關注。以下是輻射劑量的相關資訊：

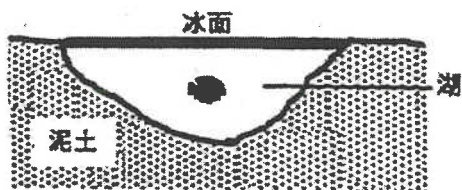
來源/項目	等效劑量
一次 X 射線放射攝影成像	0.1 – 0.2 mSv
一次 CT 掃描	1 – 10 mSv
一個人平均每週的天然本底劑量	約 0.05 mSv

- (i) 指出人體暴露於致電離輻射的一項潛在危害。 (1分)
- (ii) 解釋為什麼一次 CT 掃描的等效劑量較一次 X 射線放射攝影成像為高。 (2分)
- (iii) 寫出構成天然本底劑量的一個來源。 (1分)

1 熱和氣體

1. DSE 2018, Q2

在某些國家，冬天時室外溫度可降至 0°C 以下，且湖面形成一層厚冰。然而冰面下的水卻不易結成冰，因此水生生物大多能在冬季存活。



以下哪項敘述最能解釋這現象？

- A. 該冰層提供了良好的熱絕緣。
- B. 在冰面下的水其凝固點遠低於 0°C 。
- C. 有熱能從泥土傳至湖中的水。
- D. 冰熔化時釋出潛熱。

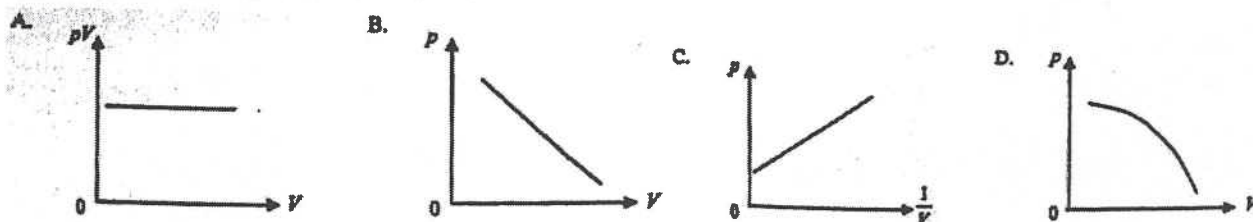
2. DSE 2018, Q3

把 5°C 的奶加入一杯 25°C 的茶。下列哪些敘述正確？可忽略杯的熱容量，並假設跟周圍環境沒有熱交換。

- (1) 茶中水分子的平均動能減少。
 - (2) 茶中水分子的平均勢能保持不變。
 - (3) 茶所失去的能量相等於奶所獲得的能量。
- A. 只有 (1) 和 (2)
 - B. 只有 (1) 和 (3)
 - C. 只有 (2) 和 (3)
 - D. (1)、(2) 和 (3)

3. DSE 2018, Q4

就一固定質量的理想氣體而言，從以下哪一線圖可推斷出當氣體溫度保持恆定其壓強 P 跟體積 V 成反比？

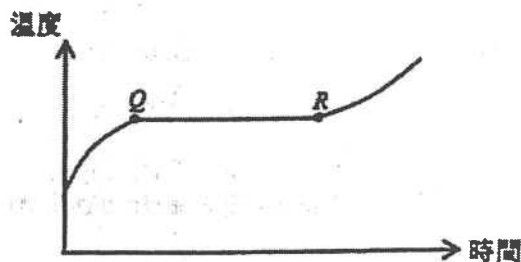


4. DSE 2019, Q1

把一 80°C 的方塊放進溫度為 40°C 的水中，混合物的末溫度為 70°C 。下列哪項推斷必定正確？假設沒有熱散失至周圍環境。

- A. 水所得的能量較方塊所失的多。
- B. 水的質量較方塊的質量大。
- C. 水的比熱容較製成方塊的物料的小。
- D. 水的熱容量較方塊的小。

5. DSE 2019, Q2

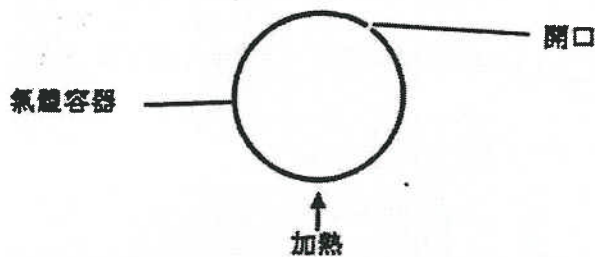


一物質經歷熔解過程。圖示該物質的溫度如何隨時間變化。在 Q 至 R 的時段內，該物質的溫度保持不變。在這時段內下列哪項/哪些推斷正確？

- (1) 該物質沒有吸熱。
 - (2) 該物質處於固態和液態的質量比一直保持不變。
 - (3) 該物質分子的平均勢能隨時間增加。
- A. 只有 (1)
 - B. 只有 (3)
 - C. 只有 (1) 和 (2)
 - D. 只有 (2) 和 (3)

6. DSE 2019, Q3*

圖示的容器不會膨脹，並有一開口。

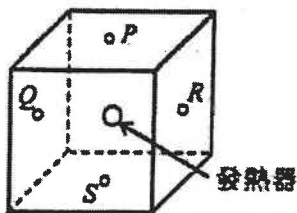


當以發熱器將容器內的氣體慢慢加熱，下列哪些有關容器內氣體分子的敘述正確？

- | | |
|--------------------|------------------|
| (1) 分子的數目減少。 | A. 只有 (1) 和 (2) |
| (2) 分子的平均動能增加。 | B. 只有 (1) 和 (3) |
| (3) 分子之間的平均間距保持不變。 | C. 只有 (2) 和 (3) |
| | D. (1)、(2) 和 (3) |

7. DSE 2020, Q1

一注滿水的正立方水缸於其中心裝有一發熱器。溫度感應器 P 、 Q 、 R 和 S 分別固定於水缸上壁、左壁、右壁和下壁的中央。



發熱器開啟了一段短時間後，下面哪一對感應器會顯示最大的溫差？

- | |
|--------------|
| A. Q 和 R |
| B. R 和 S |
| C. Q 和 S |
| D. P 和 R |

8. DSE 2020, Q2

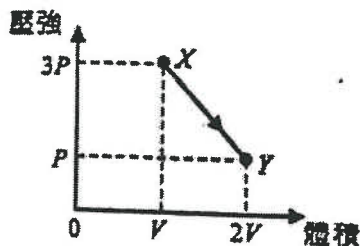
一電水煲盛着 1 kg 的水，將水從室溫加熱至沸點需 168 s 。電水煲的額定值為「 220 V ， 2000 W 」。設水煲所耗的電能全部轉移至水。下列哪項敘述正確？

已知：水的比熱容 $= 4200 \text{ J kg}^{-1} \text{ } ^\circ\text{C}^{-1}$

- | | |
|---|------------------|
| (1) 水的初始溫度為 $20 \text{ } ^\circ\text{C}$ 。 | A. 只有 (1) |
| (2) 電水煲發熱元件的電阻約為 24Ω 。 | B. 只有 (3) |
| (3) 若電水煲以 110 V 運作，將水加熱至沸點所需的時間會加倍。 | C. 只有 (1) 和 (2) |
| | D. (1)、(2) 和 (3) |

9. DSE 2020, Q3*

以下壓強-體積線圖代表一固定質量的理想氣體從態 X 膨脹至態 Y 的過程。



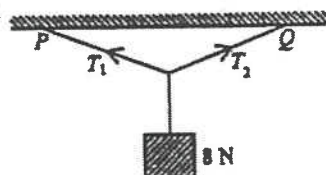
如果氣體於態 Y 的溫度為 $25 \text{ } ^\circ\text{C}$ ，它在態 X 的溫度是多少？

- | |
|------------------------------------|
| A. $-74.3 \text{ } ^\circ\text{C}$ |
| B. $16.7 \text{ } ^\circ\text{C}$ |
| C. $37.5 \text{ } ^\circ\text{C}$ |
| D. $174 \text{ } ^\circ\text{C}$ |

2 力和運動

1. DSE 2018, Q5

如圖所示，重量為 8 N 的方塊以不可伸長的輕繩從水平天花板上不同的兩點 P 和 Q 懸掛着，繩子的長度相等。

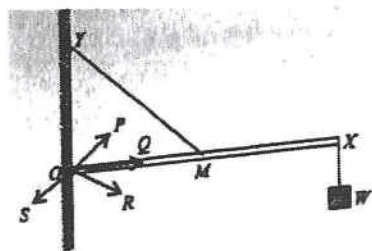


下列有關兩條繩子上的張力 T_1 和 T_2 的描述，哪項/哪些是正確的？

- (1) T_1 的量值必定大於 4 N 。
- (2) T_2 的最大值不會超過 8 N 。
- (3) T_1 和 T_2 的合力是零。

- A. 只有 (1)
- B. 只有 (3)
- C. 只有 (1) 和 (2)
- D. 只有 (2) 和 (3)

2. DSE 2018, Q6

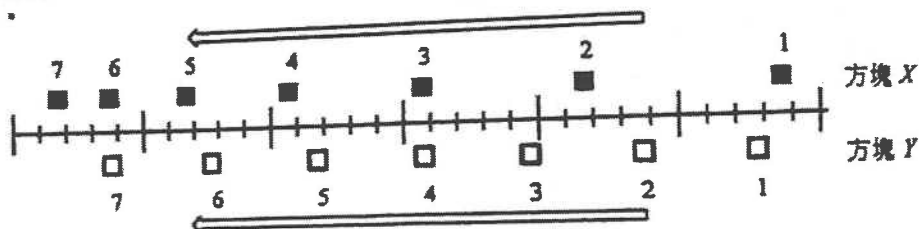


一條均勻輕剛棒 OX ，一端順滑地較接至牆上的 O 點，其中心點 M 以一條不能伸長的輕繩連接至位於 O 點之上的 Y 點，而一重物 W 懸掛在棒的另一端 X ，如圖所示。牆壁作用於棒上的反作用力是沿着

- A. 方向 OP 。
- B. 方向 OQ 。
- C. 方向 OR 。
- D. 方向 OS 。

3. DSE 2018, Q7

兩方塊 X 和 Y 向左方運動，它們於時距相同的連續瞬間（以數目標示）的位置顯示如下。

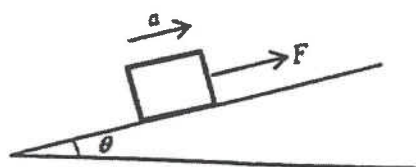


兩方塊曾有相同的瞬時速率？

- A. 有，在時刻 3。
- B. 有，在時刻 4 和 5 之間某一瞬間。
- C. 有，在時刻 6。
- D. 沒有。

4. DSE 2018, Q8

質量為 m 的方塊放在跟水平成角 θ 的光滑斜面上，如圖所示。當量值為 F 並平行斜面的力施於方塊時，方塊以加速度 a 沿斜面向上運動。如果施力改為 $2F$ ，則加速度的量值會是多少？



- A. 大於 $2a$
- B. 等於 $2a$
- C. 於 a 至 $2a$ 之間
- D. 加速度是否大於 $2a$ 、等於 $2a$ 或於 a 至 $2a$ 之間，要視乎 θ 的值。

5. DSE 2018, Q9

一沿直線以速率 0.5 m s^{-1} 運動的粒子，於 0.2 s 時段內改變其運動方向而隨後以同一速率沿相反方向運動。求在這 0.2 s 時段中粒子平均加速度的量值。

- A. 5 m s^{-2}
- B. 2.5 m s^{-2}
- C. 0 m s^{-2}
- D. 其量值取決於粒子的質量

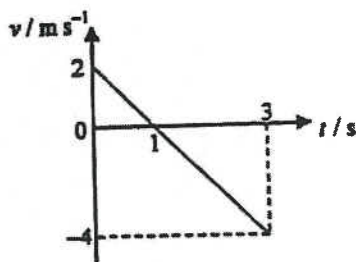
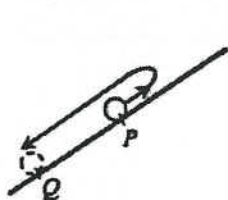
6. DSE 2018, Q10

一列火車自某車站離開，並沿直線駛往相距 1.2 km 的下一站停車。火車的最大加速度和減速度皆為 5 m s^{-2} ，其最高速率限定為 20 m s^{-1} ，求這程最短需時。

- A. 56 s
- B. 58 s
- C. 62 s
- D. 64 s

7. DSE 2018, Q11

於時間 $t = 0$ ，將一珠子在 P 點沿光滑斜面向上投射，如圖示珠子達至最高點後便向下運動，並於 $t = 3 \text{ s}$ 時經過 Q 點。下面的線圖顯示珠子的速度-時間 ($v-t$) 關係，求沿斜面上 PQ 的間距。



- A. 2 m
- B. 3 m
- C. 4 m
- D. 5 m

8. DSE 2018, Q12

在某一時刻，一物體以 1 m s^{-1} 水平向右飛行，它忽然爆開成質量比 $1:2$ 的兩塊碎片，如果剛爆開後質量較大的碎片以 3 m s^{-1} 向右飛行，另一碎片於剛爆開後則會

- A. 以 3 m s^{-1} 向左飛行。
- B. 以 4 m s^{-1} 向左飛行。
- C. 瞬時靜止。
- D. 以 1 m s^{-1} 向右飛行。

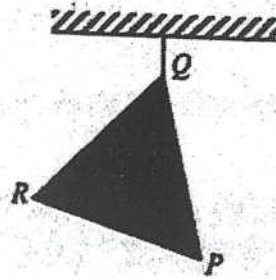
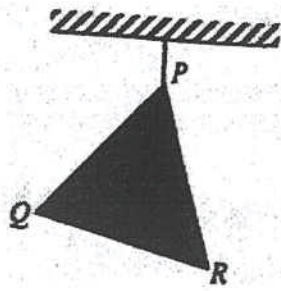
9. DSE 2018, Q13*

質量為 m 的人造衛星在半徑為 r 的圓形軌道上繞質量為 M 的行星運動。人造衛星的角速度取決於什麼？

- (1) r
- (2) m
- (3) M

- A. 只有 (1)
- B. 只有 (2)
- C. 只有 (1) 和 (3)
- D. 只有 (2) 和 (3)

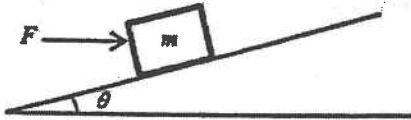
10. DSE 2019, Q4



- A. 位於 O 。
- B. 在區域 POQ 內。
- C. 在區域 ROQ 內。
- D. 在區域 POR 內。

O 是等邊三角形金屬板 PQR 的中心，金屬板的質量分布並不均勻。如圖所示，將金屬板在天花板上從點 P 然後從點 Q 懸掛。金屬板的重心

11. DSE 2019, Q5

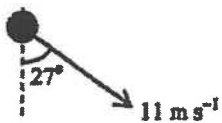


- A. $\frac{mg \sin \theta}{\cos \theta}$
- B. $mg \sin \theta \cos \theta$
- C. $\frac{mg \cos \theta}{\sin \theta}$
- D. $mg \sin \theta$

在上圖一水平力 F 施於質量為 m 的方塊，以保持其靜止於跟水平成角 θ 的光滑斜面上。求 F 的數值。

12. DSE 2019, Q6*

一小球於拋出後只在重力影響下運動，球在某一瞬間的速度顯示如下。球在 1 s 之前的速率是多少？空氣阻力可忽略不計。（ $g = 9.81 \text{ m s}^{-2}$ ）

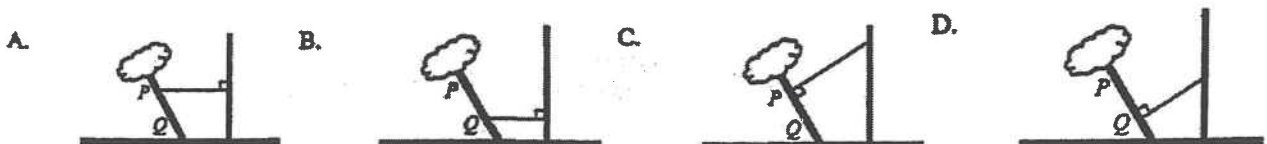


- A. 19.1 m s^{-1}
- B. 9.8 m s^{-1}
- C. 5.0 m s^{-1}
- D. 0.2 m s^{-1}

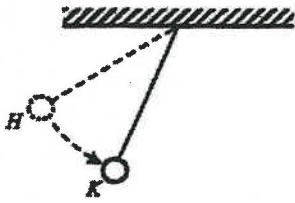
13. DSE 2019, Q7



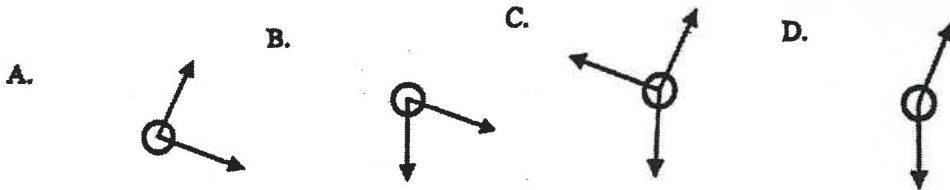
一棵樹被強風吹歪至傾側。為支撐該樹，以繩子纏繞樹幹並繫至旁邊的固定燈柱。在以下哪一安排中繩子最有可能斷裂？



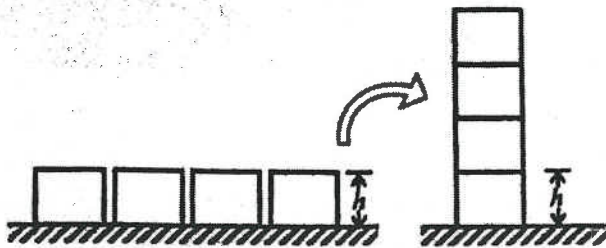
14. DSE 2019, Q8



以不可伸長的輕繩懸掛着的一個小球，如圖所示從點 H 釋放。當小球向下擺動時繩子保持張緊。下列哪一隔離體圖最能顯示小球於點 K 受到的所有力？空氣阻力可忽略不計。



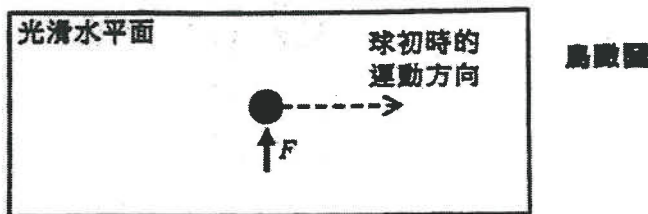
15. DSE 2019, Q9



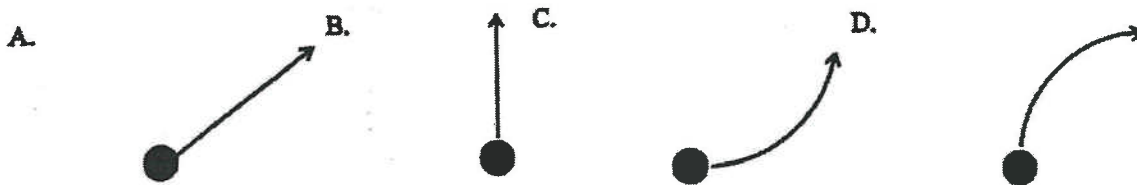
- A. $8mgh$
- B. $6mgh$
- C. $4mgh$
- D. $3mgh$

四個相同的均勻方塊初時放於水平桌面上，每一方塊的質量為 m 而高度為 h 。倘如圖所示將方塊逐一疊起，最少需作功多少？

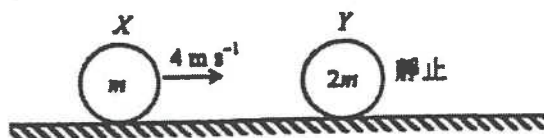
16. DSE 2019, Q10



上圖顯示一球在光滑水平面上以恆速率直線運動。於某一瞬間，一力 F 如上圖所示短暫作用於該球。下列哪圖最可能是該球隨後所行的路徑？



17. DSE 2019, Q11



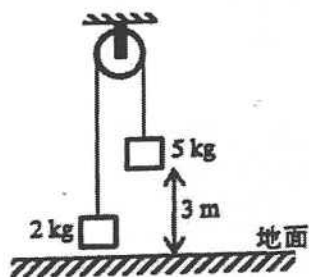
在一光滑水平面上，質量為 m 的球 X 以速率 4 m s^{-1} 運動，它跟另一個質量為 $2m$ 而初始時靜止的球 Y 對正碰撞。下列哪項可以是 Y 剛碰撞後的速率？

- (1) 1 m s^{-1} (2) 2 m s^{-1} (3) 3 m s^{-1}

- A. 只有 (1)
 B. 只有 (2)
 C. 只有 (1) 和 (2)
 D. 只有 (2) 和 (3)

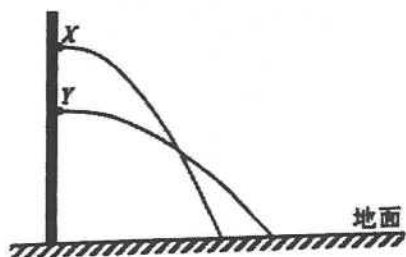
18. DSE 2019, Q12

質量分別為 2 kg 和 5 kg 的兩方塊以不可伸長的輕繩相連，繩子如圖所示跨過一固定的光滑輕滑輪。當 5-kg 方塊離地面 3 m 時將該系統從靜止釋放。 5-kg 方塊剛到達地面時的速率為多少？空氣阻力可忽略不計。 ($g = 9.81 \text{ m s}^{-2}$)



- A. 5.0 m s^{-1}
 B. 6.0 m s^{-1}
 C. 6.5 m s^{-1}
 D. 7.7 m s^{-1}

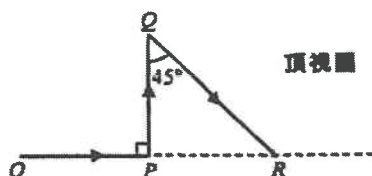
19. DSE 2019, Q13*



- (1) Y 的飛行時間較長。
 (2) Y 的投射速率較高。
 (3) X 和 Y 着地的速率可以相同。
- A. 只有 (1) 和 (2)
 B. 只有 (1) 和 (3)
 C. 只有 (2) 和 (3)
 D. (1)、(2) 和 (3)

粒子 X 和 Y 從豎直的牆上水平投射而出，圖示它們到達地面前在空中的路徑。下列哪些敘述正確？空氣阻力可忽略不計。

20. DSE 2020, Q4



圖示一輛汽車用了 8 分鐘沿一水平面上的路徑 $OPQR$ 行駛。已知 $OP = PQ = 2 \text{ km}$ ，求汽車在這行程的平均速度的量值。

- A. 30 km h^{-1}
 B. 36 km h^{-1}
 C. 41 km h^{-1}
 D. 51 km h^{-1}

21. DSE 2020, Q5



對於在高速路行駛中的汽車而言，下列哪項有關頭枕安全設計的敘述正確？

- (1) 由於頭枕是軟的，於碰撞時它可減低作用在乘客頭部的力。
 (2) 當汽車被另一車輛從後碰撞，它能減低乘客所受傷害。
 (3) 當緊急煞車時，它能減低乘客所受傷害。
- A. 只有 (1)
 B. 只有 (3)
 C. 只有 (1) 和 (2)
 D. 只有 (2) 和 (3)

22. DSE 2020, Q6

一粒子被豎直上拋，其徑跡如下圖所示。粒子所達最高點為 H 。下列有關該粒子的敘述，哪項正確？空氣阻力可忽略不計。

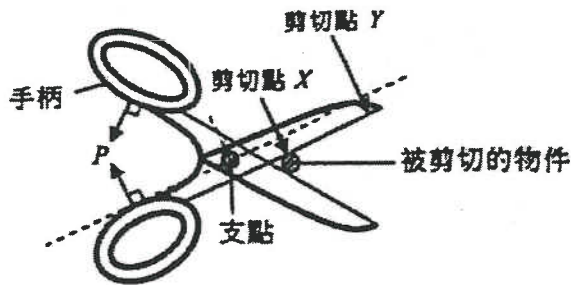
- (1) 它在 M 的加速度向上。
 (2) 它在 H 的加速度為零。
 (3) 它在 N 的加速度向下。

- A. 只有 (1)
 B. 只有 (3)
 C. 只有 (2) 和 (3)
 D. (1)、(2) 和 (3)

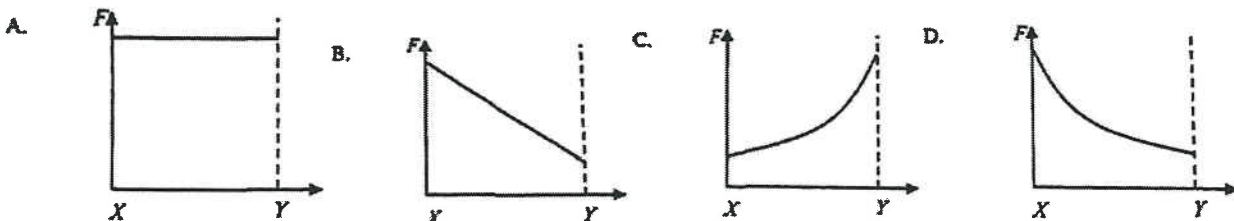


23. DSE 2020, Q7

圖示一對量值恆定的力 P 垂直施於剪刀的手柄，以剪切物件。

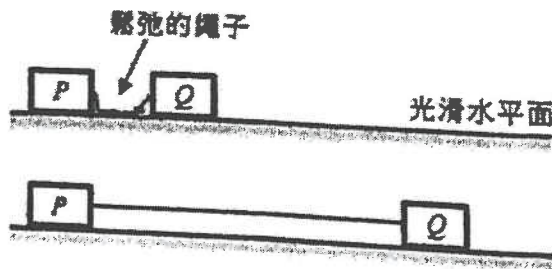


當剪刀閉合時，以下哪一線圖最能顯示於剪切點產生的力 F 從 X 至 Y 的變化？



24. DSE 2020, Q8

在一光滑水平面上，兩相同的方塊 P 和 Q 以一條不能伸長的輕繩連接。初始時，繩子鬆弛而兩方塊皆靜止。

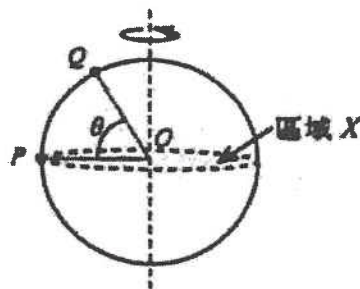


使 Q 以 4 m s^{-1} 的速率向右運動。在繩子剛被拉緊而 P 開始運動時，求兩方塊的速率。

	方塊 P	方塊 Q
A.	1 m s^{-1}	1 m s^{-1}
B.	2 m s^{-1}	1 m s^{-1}
C.	2 m s^{-1}	2 m s^{-1}
D.	4 m s^{-1}	2 m s^{-1}

25. DSE 2020, Q9*

如圖所示，粒子 P 和 Q 固定於一球體表面，球體繞一穿過球心 O 的豎直軸旋轉。水平的陰影區域 X 把球體分成兩半。 P 位於區域 X 的邊沿，而 Q 位於區域 X 對上仰角 θ 處。



求 P 的向心加速度跟 Q 的比值。

- A. $1 : \cos \theta$
- B. $1 : \sin \theta$
- C. $\cos \theta : 1$
- D. $\sin \theta : 1$

26. DSE 2020, Q10*

海王星的直徑約為地球的 4 倍，而其質量約為地球的 17 倍。估算在海王星表面的重力加速度。已知：地球表面的重力加速度 $g = 9.81 \text{ m s}^{-2}$

- A. 2.3 m s^{-2}
- B. 9.2 m s^{-2}
- C. 10.4 m s^{-2}
- D. 41.7 m s^{-2}

3 波動

1. DSE 2018, Q14

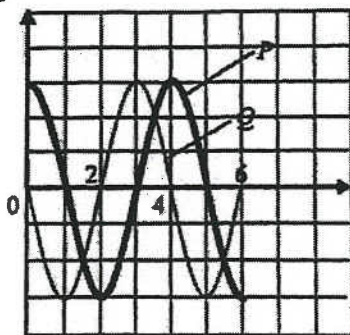
下列有關波動的敘述，哪項/哪些是正確的？

- (1) 縱波可將能量由一處傳遞至另一處，而橫波則不能。
 (2) 聲波在水中傳播較在空氣中快。
 (3) 紅外輻射是電磁波的一種。
- A. 只有 (1)
 B. 只有 (3)
 C. 只有 (1) 和 (2)
 D. 只有 (2) 和 (3)

2. DSE 2018, Q15

在波長為 λ 的同一列橫向行波上的粒子 P 和 Q 其位移-時間線圖顯示如下。

位移

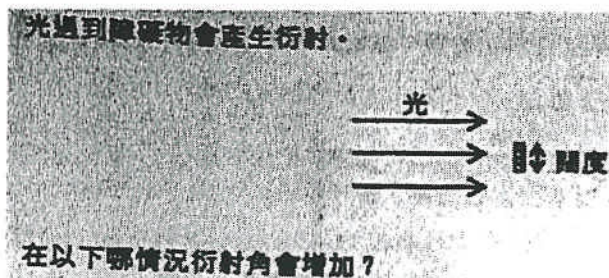


下列哪項/哪些敘述必定正確？取向上的位移為正。

- (1) 於時間 $t=2\text{ s}$ ， P 為瞬時靜止。
 (2) 於時間 $t=4\text{ s}$ ， Q 向下運動。
 (3) P 與 Q 的平衡位置的間距為 0.25λ 。

- A. 只有 (2)
 B. 只有 (3)
 C. 只有 (1) 和 (2)
 D. 只有 (1) 和 (3)

3. DSE 2018, Q16

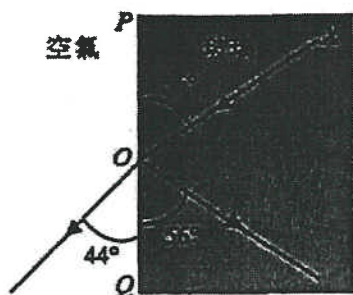


- (1) 入射光的振幅增加
 (2) 障礙物的闊度增加
 (3) 入射光的波長增加

- A. 只有 (1)
 B. 只有 (3)
 C. 只有 (1) 和 (2)
 D. 只有 (2) 和 (3)

4. DSE 2018, Q17

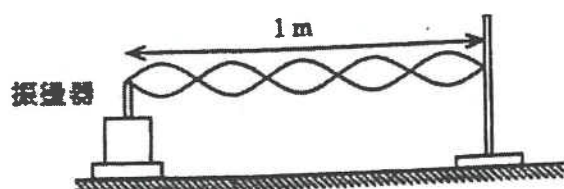
在上圖中，光線 XO 入射玻璃-空氣邊界面 PQ 。下列哪項為玻璃的折射率？



- A. $\frac{\sin 56^\circ}{\sin 44^\circ}$
 B. $\frac{\sin 44^\circ}{\sin 34^\circ}$
 C. $\frac{\sin 56^\circ}{\sin 46^\circ}$
 D. $\frac{\sin 46^\circ}{\sin 34^\circ}$

5. DSE 2018, Q18

圖示繩子的一端固定而另一端則接連一振盪器，並如圖所示於某頻率形成一駐波。



如果沿繩子上波動的速率為 7 m s^{-1} ，波的頻率為多少？

- A. 2.8 Hz
- B. 7 Hz
- C. 17.5 Hz
- D. 35 Hz

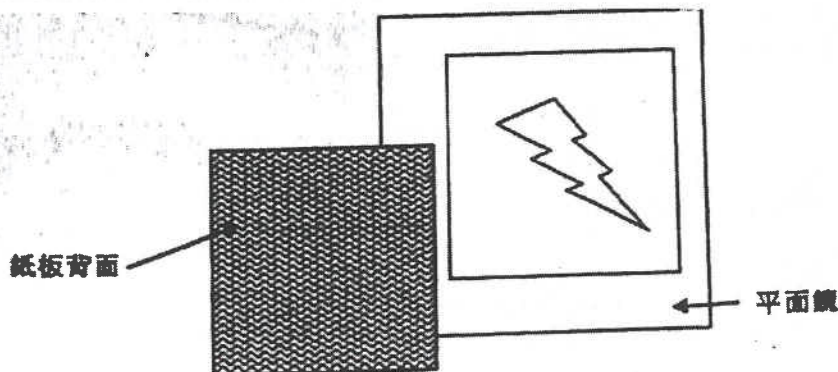
6. DSE 2018, Q19*

一物體放置在距離透鏡 25.0 cm 處，在距透鏡 11.1 cm 處形成一虛像。該透鏡是

- A. 焦距為 7.7 cm 的凹透鏡。
- B. 焦距為 20 cm 的凹透鏡。
- C. 焦距為 7.7 cm 的凸透鏡。
- D. 焦距為 20 cm 的凸透鏡。

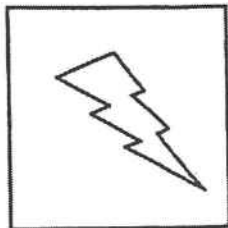
7. DSE 2018, Q20

圖示一塊前面印有圖案的紙板放在一平面鏡前，於鏡中看到的像。

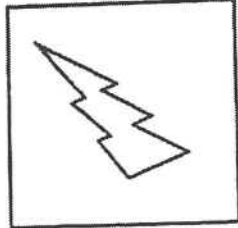


下列哪一幅圖為紙板上的圖案？

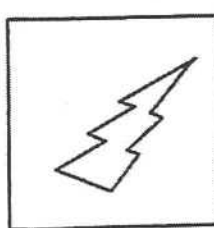
A.



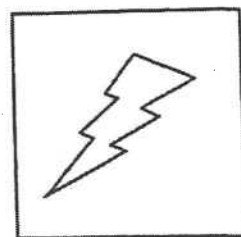
B.



C.



D.



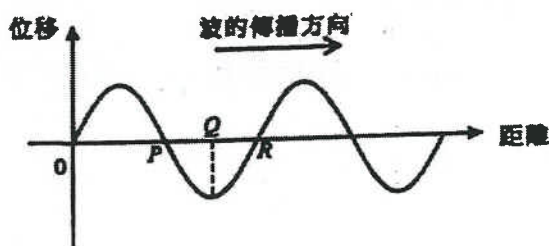
8. DSE 2018, Q21

下列哪項並非日常生活中的典型聲強級？

- A. 130 dB：當飛機起飛
- B. 110 dB：搖滾音樂會
- C. 80 dB：一般談話
- D. 30 dB：圖書館內

9. DSE 2019, Q14

圖示一向右傳播的縱波在某一瞬間的位移-距離線圖。取向右的位移為正。

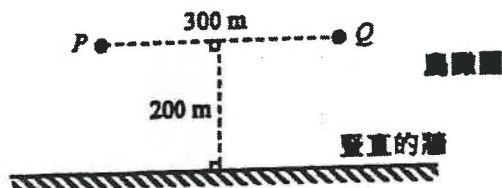


在圖示瞬間，下列哪項/哪些敘述正確？

- (1) P 為一密部的中心。
- (2) 平衡位置在 Q 的粒子為靜止。
- (3) 平衡位置在 R 的粒子正向下運動。

- A. 只有 (1)
- B. 只有 (3)
- C. 只有 (1) 和 (2)
- D. 只有 (2) 和 (3)

10. DSE 2019, Q15

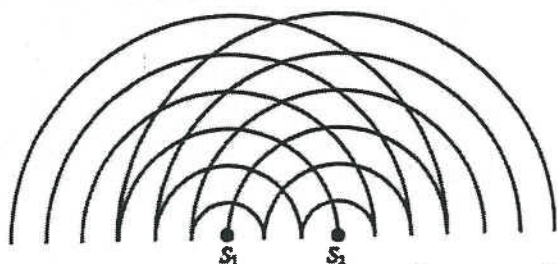


男孩 P 和 Q 相距 300 m，兩者與一豎直的牆距離 200 m，如圖所示。當 P 叫喊一聲，Q 聽到兩下喊聲。下列哪項描述正確？

已知：聲音在空氣中的速率 = 340 m s^{-1}

- A. 第一下喊聲較響，而第二下喊聲於 0.59 s 之後聽到。
- B. 第一下喊聲較響，而第二下喊聲於 0.29 s 之後聽到。
- C. 第二下喊聲較響，而第一下喊聲於 0.59 s 之前聽到。
- D. 第二下喊聲較響，而第一下喊聲於 0.29 s 之前聽到。

11. DSE 2019, Q16

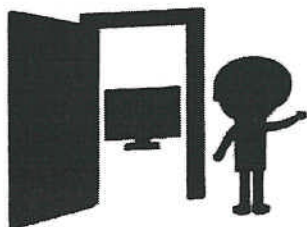


- A. 3
- B. 4
- C. 6
- D. 7

圖示兩個點波源 S_1 和 S_2 同步振動所產生的圓形水波，各線代表波峰。所形成波節線（即最小振幅）的數目是多少？

12. DSE 2019, Q17

志榮站在一房間的門側。他聽到房內電視機所發出的聲音，但看不見電視畫面。下列哪項/哪些為可能的原因？



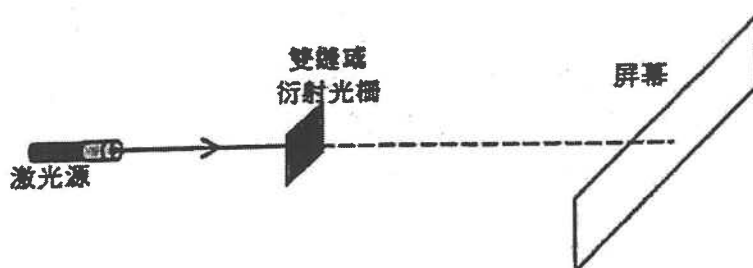
- (1) 聲波會衍射而光波不會。
 - (2) 聲波本質為機械波而光波則為電磁波。
 - (3) 聲波的波長遠較可見光的長。
- A. 只有 (1)
 - B. 只有 (3)
 - C. 只有 (1) 和 (2)
 - D. 只有 (2) 和 (3)

13. DSE 2019, Q18

在一張緊的弦線上，如果增加弦線的張力或者以質量較大而長度和張力相同的弦線取代，波在弦線上傳播的速率會怎樣改變？

- | | 張力增加 | 採用質量較大而
長度和張力相同的弦線 |
|----|------|-----------------------|
| A. | 速率增加 | 速率減少 |
| B. | 速率增加 | 速率增加 |
| C. | 速率減少 | 速率減少 |
| D. | 速率減少 | 速率增加 |

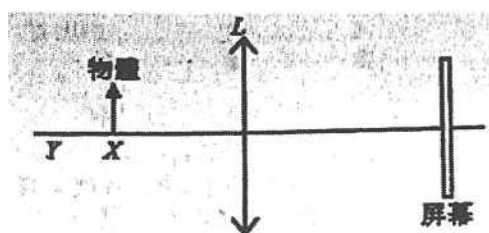
14. DSE 2019, Q19



一雙縫和一衍射光柵分別用於上圖的裝置，並逐一以紅色和綠色激光照射。由此在屏幕上所得呈亮點的四個圖樣顯示如下。哪一個圖樣是由綠光照射在衍射光柵構成？

- A.
- B.
- C.
- D.

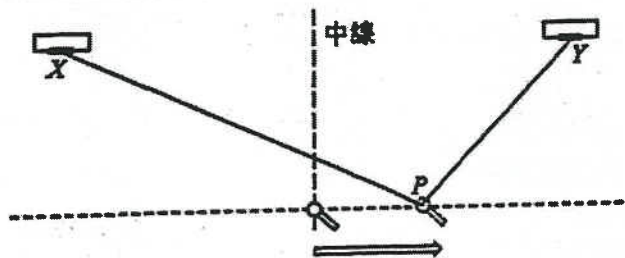
15. DSE 2019, Q20



圖示一物體置於一凸透鏡 L 之前的點 X ，在屏幕上得到一清晰的像。現將物體移往點 Y 。下列哪項調校或可在屏幕上再次形成清晰的像？

- A. 以焦距較長的另一凸透鏡取代 L 。
- B. 以折射率較大的物料製成而形狀相同的另一凸透鏡取代 L 。
- C. 以凹透鏡取代 L 。
- D. 把屏幕向右移。

16. DSE 2019, Q21



- A. 0.17 m
- B. 0.34 m
- C. 0.51 m
- D. 0.68 m

兩揚聲器 X 和 Y 發出頻率為 500 Hz 的聲波。如圖所示，一收音器在跟中線垂直的線上穩定地移動，收音器於中線檢測得最大振幅的聲波，而於點 P 則檢測得下一個最大振幅。求 $PX - PY$ 。

已知：聲音在空氣中的速率 = 340 m s^{-1}

17. DSE 2019, Q22

下列哪項/哪些有關紅外輻射的敘述正確？

- (1) 它從空氣進入水時會向法線偏折。
 - (2) 它在水中傳播較在空氣中快。
 - (3) 它是用於衛星通訊的。
- A. 只有 (1)
 - B. 只有 (3)
 - C. 只有 (1) 和 (2)
 - D. 只有 (2) 和 (3)

18. DSE 2020, Q11

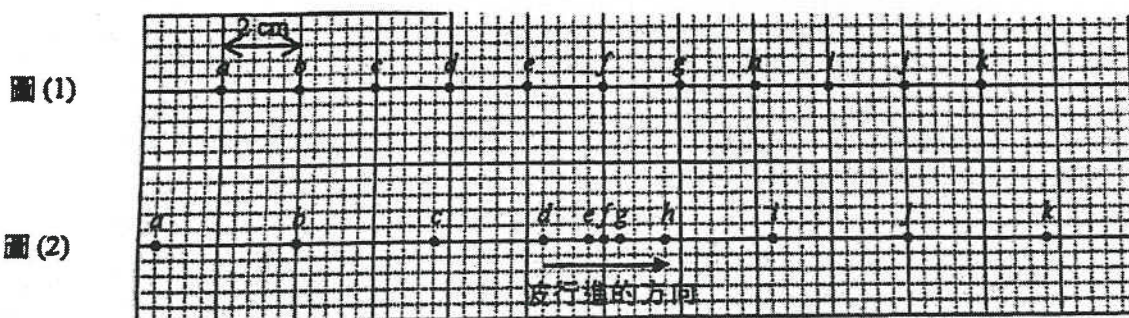
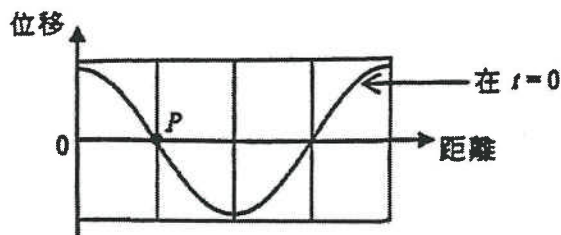


圖 (1) 顯示粒子 a 至 k 在一介質中的平衡位置，各粒子的相互間距為 2 cm 。一頻率為 5 Hz 的縱波由左至右傳播。圖 (2) 顯示在某一時刻各粒子的位置。求波的振幅和速率。

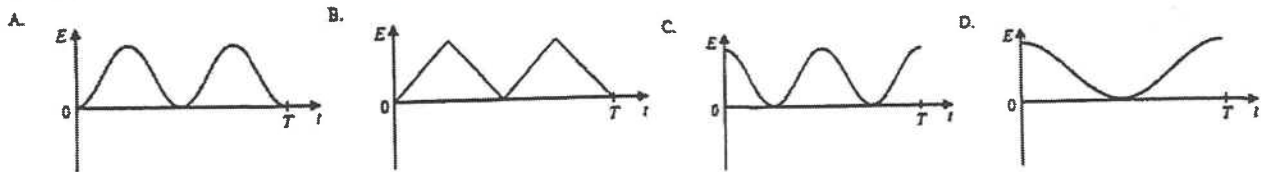
- | | 振幅 | 速率 |
|----|--------|-----------------------|
| A. | 3.6 cm | 40 cm s^{-1} |
| B. | 3.6 cm | 80 cm s^{-1} |
| C. | 2.4 cm | 40 cm s^{-1} |
| D. | 2.4 cm | 80 cm s^{-1} |

19. DSE 2020, Q12

圖示一週期為 T 的行波在時間 $t=0$ 的部分位移-距離線圖。 P 是波上的一個粒子。

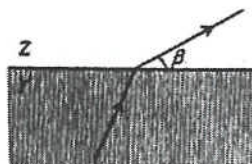
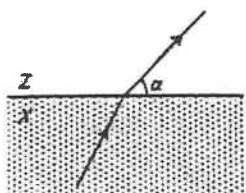


下列哪一線圖正確顯示從 $t=0$ 起計該粒子的動能 E 在一週期內的變化？



20. DSE 2020, Q13

一單色光以同一入射角分別從介質 X 和 Y 傳播至另一介質 Z ，如圖所示。



A.
B.
C.
D.

折射率較高的介質

X
X
Y
Y

光傳播較快的介質

X
Y
X
Y

在 Z 相應的折射線跟邊界面分別成角 α 和 β (而 $\alpha > \beta$)。哪一介質 (X 或 Y) 有較大的折射率？光在哪一介質中 (X 或 Y) 傳播較快？

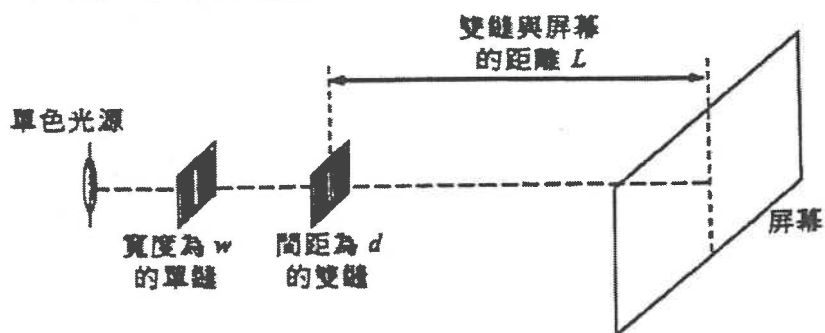
21. DSE 2020, Q14*

一以波長 λ_1 和 λ_2 組成的光束法向入射一衍射光柵。在所得衍射圖樣中，波長 λ_1 的第三級衍射跟波長 λ_2 的第四級衍射重疊。如果 λ_1 為 680 nm ，求 λ_2 。

- A. 510 nm
B. 680 nm
C. 907 nm
D. 柵線間距未知，因而未能確定。

22. DSE 2020, Q15

圖示一典型的楊氏雙縫實驗裝置。

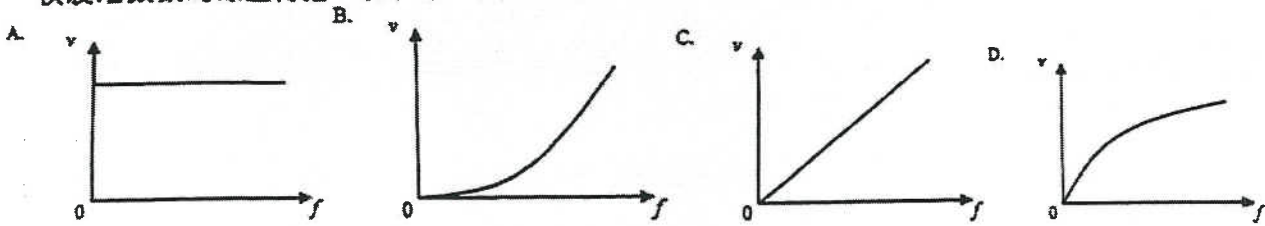


要在屏幕上得到可觀察的條紋圖樣，以下哪一組合為最佳的設置？

- | | w | d | L |
|----|--------|--------|-------|
| A. | 0.1 mm | 1 mm | 10 m |
| B. | 0.1 mm | 1 mm | 1 m |
| C. | 1 mm | 0.1 mm | 1 m |
| D. | 1 mm | 0.1 mm | 0.1 m |

23. DSE 2020, Q16

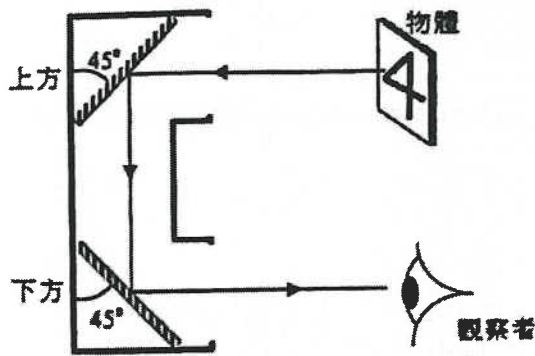
一橫波沿張緊的線上傳播。以下哪一線圖正確顯示波的速率 v 跟其頻率 f 的變化？



24. DSE 2020, Q17

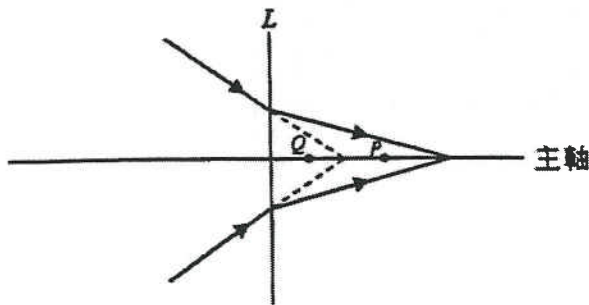
圖示一學生所設計的潛望鏡，並用以觀察一物體。

以下哪個是觀察者所看到的像？



- A.
- B.
- C.
- D.

25. DSE 2020, Q18



根據以上光線圖， L 所代表透鏡屬什麼類型？哪一點 (P 或 Q) 可以是它的焦點？

- | | 透鏡 L | 焦點 |
|----|--------|-----|
| A. | 凹透鏡 | P |
| B. | 凸透鏡 | P |
| C. | 凹透鏡 | Q |
| D. | 凸透鏡 | Q |

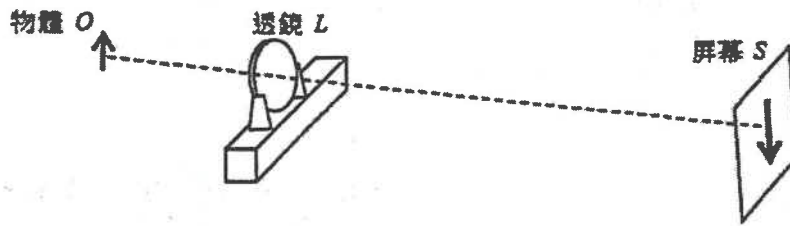
26. DSE 2020, Q19

下列哪個現象可確證聲音是波？

- | | |
|-------------------|-----------------|
| (1) 聲音從牆壁反射 | A. 只有 (2) |
| (2) 聲音於兩介質之間的邊界折射 | B. 只有 (3) |
| (3) 聲音的干涉 | C. 只有 (1) 和 (2) |
| | D. 只有 (1) 和 (3) |

27. DSE 2020, Q20

圖示一物體 O 經凸透鏡 L 於屏幕 S 形成一放大而清晰的像。



下列哪項可使屏幕上形成一縮小而清晰的像？

- | | |
|--|-----------------|
| (1) 保持 O 和 L 的位置不變，將 S 適當地移近 L 。 | A. 只有 (1) |
| (2) 保持 L 和 S 的位置不變，將 O 適當地移離 L 。 | B. 只有 (3) |
| (3) 保持 O 和 S 的位置不變，將 L 適當地移近 S 。 | C. 只有 (1) 和 (2) |
| | D. 只有 (2) 和 (3) |

28. DSE 2020, Q21

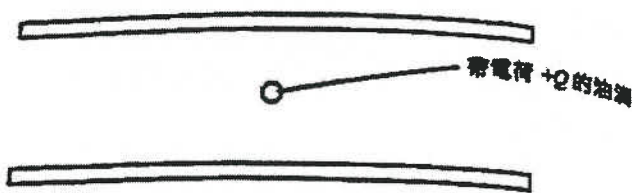
下列哪項有關超聲波的敘述正確？

- (1) 超聲波比可聽得見的聲音有較短的波長。
- (2) 超聲波不能以振動的物體產生。
- (3) 超聲波不能聽得見，因其未能於空氣中傳播。

- | |
|-----------------|
| A. 只有 (1) |
| B. 只有 (3) |
| C. 只有 (1) 和 (2) |
| D. 只有 (2) 和 (3) |

4 電和磁

1. DSE 2018, Q22

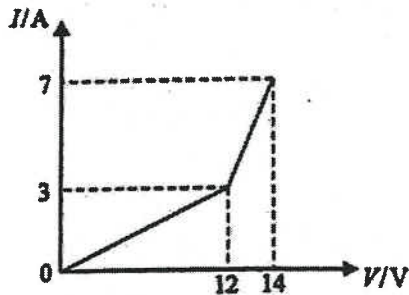


- | | 方向 | 強度 |
|----|----|----------------|
| A. | 向上 | $\frac{mg}{Q}$ |
| B. | 向上 | $\frac{Q}{mg}$ |
| C. | 向下 | $\frac{mg}{Q}$ |
| D. | 向下 | $\frac{Q}{mg}$ |

一質量為 m 帶電荷的油滴，懸浮於兩塊水平的平行金屬板之間強度恆定的電場中。油滴帶電荷 $+Q$ 。電場的方向和強度為何？

2. DSE 2018, Q23

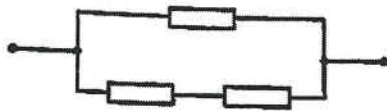
下面的線圖顯示一導體的電流-電壓 (I - V) 關係。



下列哪項敘述不正確？

- A. 當導體兩端的電壓少於 12 V，導體遵守歐姆定律。
- B. 當導體兩端的電壓超過 12 V，導體的電阻開始下降。
- C. 當通過導體的電流為 5 A，導體的電阻為 0.5 Ω 。
- D. 當導體兩端的電壓為 14 V，導體的電阻為 2 Ω 。

3. DSE 2018, Q24



三個相同的電阻器設置如圖示。每一電阻器的額定功率為 12 W。倘沒有電阻器超越其額定功率，這設置的最大功率耗散是多少？

- A. 16 W
- B. 18 W
- C. 20 W
- D. 24 W

4. DSE 2018, Q25

兩條導線 X 和 Y 的長度相同而物料相同， X 的半徑為 Y 的一半。當兩條導線並聯連接同一電源，通過每條導線的電流相等。 X 和 Y 所用物料的電阻率之比是多少？

- A. 1:4
- B. 4:1
- C. 1:2
- D. 2:1

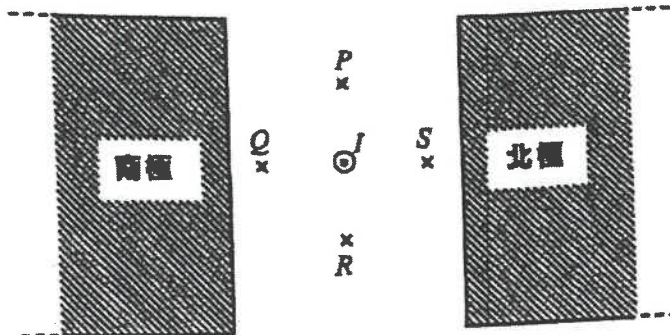
5. DSE 2018, Q26

一枚標着 2800 mA h 儲電量的手機電池組初始時完全充電。當電池組以 200 mA 電流放電 3 小時後，其所剩儲電量的百分數是多少？

- A. 7.1%
- B. 21.4%
- C. 78.6%
- D. 92.9%

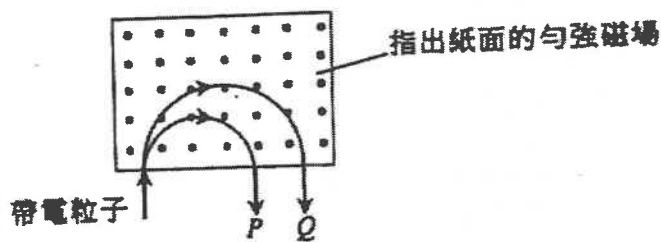
6. DSE 2018, Q27

在兩磁極之間的勻強磁場中，如圖示放置一條載有指出紙面的電流 I 的直導線。在 P 、 Q 、 R 和 S 各點中，哪一點的合磁場可為零？地球磁場的影響可忽略。



- A. P
- B. Q
- C. R
- D. S

7. DSE 2018, Q28*

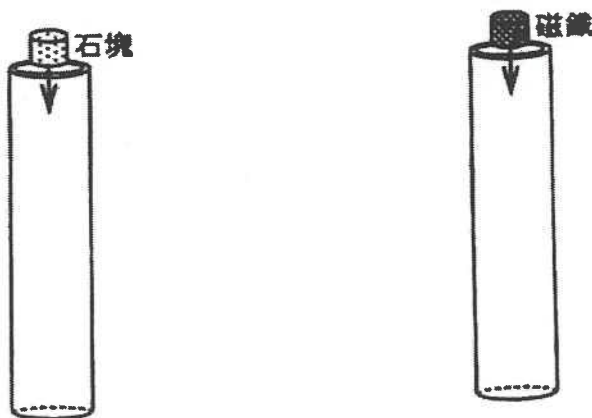


- (1) P 和 Q 都帶正電荷。
- (2) P 和 Q 以相同的速率從磁場射出。
- (3) Q 的質量較 P 的大。

- A. 只有 (1) 和 (2)
- B. 只有 (1) 和 (3)
- C. 只有 (2) 和 (3)
- D. (1)、(2) 和 (3)

質量不同的兩個粒子 P 和 Q 所帶電荷量相同。它們以同一速率運動並進入一指出紙面的勻強磁場。如圖所示，它們從磁場射出前沿着半徑不同的半圓路徑運動。下列哪些描述正確？

8. DSE 2018, Q29

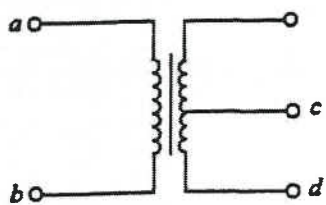


形狀和大小相同的石塊和強磁鐵分別從靜止釋放，進入一中空鋁管。下列哪項正確？空氣阻力可忽略不計。

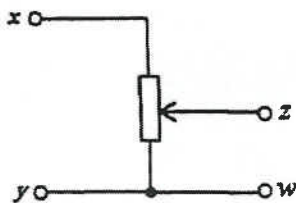
- | | 下墜較慢 | 原因 |
|----|------|------------|
| A. | 石塊 | 石塊的質量較大 |
| B. | 磁鐵 | 石塊的質量較大 |
| C. | 石塊 | 磁鐵令鋁管感生渦電流 |
| D. | 磁鐵 | 磁鐵令鋁管感生渦電流 |

9. DSE 2018, Q30*

在下面的電路中，如果 ab 兩端和 xy 兩端分別施以 12 V 正弦交流電，橫跨 cd 和 zw 的電壓皆為 6 V。現在如果 cd 兩端和 zw 兩端分別施以 6 V 正弦交流電，則橫跨 ab 和 xy 的電壓分別為多少？



橫跨 ab 的電壓



橫跨 xy 的電壓

- | | | |
|----|------|------|
| A. | 12 V | 12 V |
| B. | 12 V | 6 V |
| C. | 6 V | 6 V |
| D. | 12 V | 0 V |

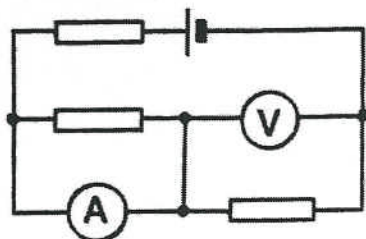
10. DSE 2019, Q23



在上圖，點電荷 Y 放於兩個相同的正點電荷 X 和 Z 中間，其中 Z 為固定，初始時 X 和 Y 皆平衡而靜止。倘若將 Y 稍推向 Z ，則 X 會怎樣？

- A. 它向左運動。
- B. 它向右運動。
- C. 它保持靜止。
- D. Y 的極性未知，因而未能確定。

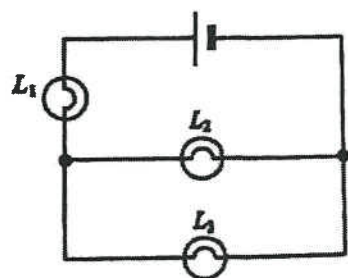
11. DSE 2019, Q24



- A. 6 V
- B. 4 V
- C. 3 V
- D. 2 V

圖示一內阻可略的 6 V 電池連接著三個相同的電阻器，安培計和伏特計皆為理想的，求伏特計的讀數。

12. DSE 2019, Q25



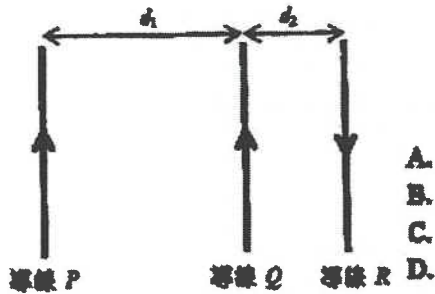
- (1) L_1 發生故障並變成短路。
- (2) L_2 發生故障並變成短路。
- (3) L_2 發生故障並變成斷路。

- A. 只有 (1) 和 (2)
- B. 只有 (1) 和 (3)
- C. 只有 (2) 和 (3)
- D. (1)、(2) 和 (3)

在上面的電路中， L_1 、 L_2 和 L_3 為三個燈泡而電池的內阻可略去不計，下列哪些改變可令 L_3 變得更亮？

13. DSE 2019, Q26

三條平行的導線 P 、 Q 和 R 依圖示的間距 d_1 和 d_2 放置 (而 $d_1 > d_2$)。每一導線所載電流的量值相同，而方向則標示如圖。如果 P 對 Q 每單位長度所施磁力的量值為 F ，則 Q 每單位長度所受合磁力的方向和量值為何？



Q 所受合磁力的方向

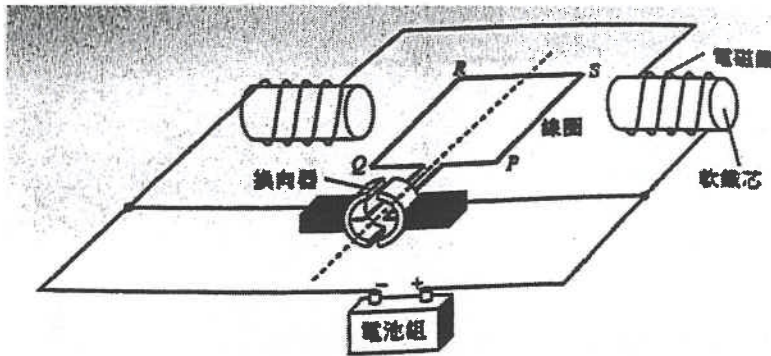
Q 每單位長度所受合磁力的量值

- A.
- B.
- C.
- D.

- 向右
- 向左
- 向右
- 向左

- 大於 $2F$
- 小於 F
- 大於 $2F$
- 小於 F

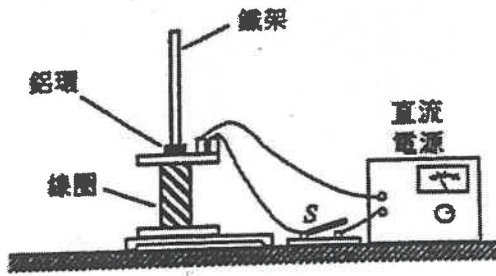
14. DSE 2019, Q27



- A. 保持靜止。
- B. 以 50 Hz 的頻率振盪。
- C. 旋轉至一豎直位置然後停止。
- D. 持續旋轉。

圖示一電動機的結構。線圈 $PQRS$ 和兩組電磁鐵跟電池組連接，使線圈持續旋轉。如果以頻率為 50 Hz 的正弦交流電源取代電池組，線圈會

15. DSE 2019, Q28

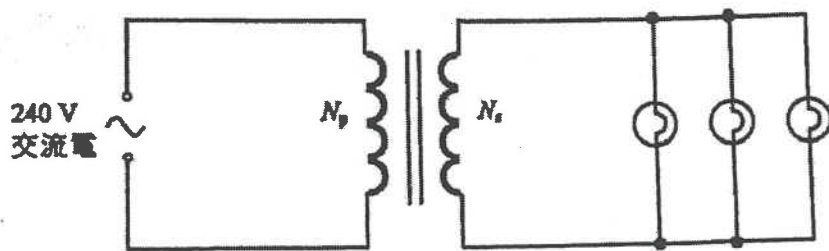


- A. 使用一個以較輕物料製成的環。
- B. 使用一個以電阻率較小的金屬製成的環。
- C. 使用一個有雙倍匝數的線圈。
- D. 以一交流電源取代直流電源。

圖示裝置包括一鐵架和一連接着直流電源的線圈。一鋁環穿過鐵架並放在線圈上。當開關 S 閉合，鋁環瞬間跳起隨後跌返。下列哪項改動可令環升起並懸浮於空中？

16. DSE 2019, Q29*

在下面的電路中每個燈泡以額定值「12 V, 24 W」運作，該變壓器的匝數比 ($N_p:N_s$) 應為多少？



- A. 40:1
- B. 30:1
- C. 20:1
- D. 10:1

17. DSE 2019, Q30*

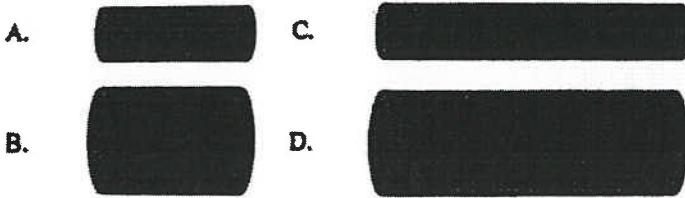
對於一個連接交流市電的電熱器，下列哪項/哪些可增加其發熱元件的功率消耗？

- (1) 增加發熱元件的電阻。
- (2) 增加交流電壓的頻率。
- (3) 增加交流電壓的方均根值。

- A. 只有 (1)
- B. 只有 (3)
- C. 只有 (1) 和 (2)
- D. 只有 (2) 和 (3)

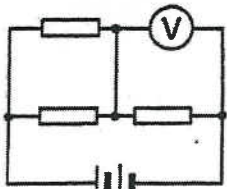
18. DSE 2020, Q22

以下圓柱形電阻器皆以相同金屬製成。當逐一將每個電阻器的兩端跨接同一電壓，哪一個所產生的功率最大？

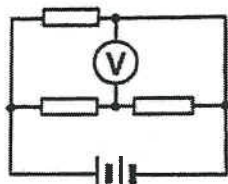


19. DSE 2020, Q23

三個相同的電阻器、一內阻可忽略的電池組以及一理想的伏特計，分別連接成電路 (a) 和電路 (b)。



電路 (a)



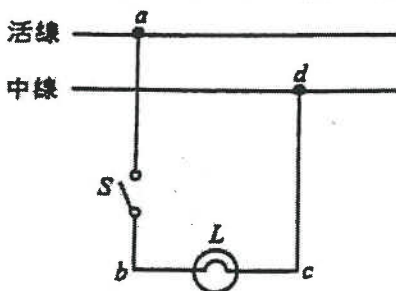
電路 (b)

已知電路 (a) 中伏特計的讀數為 8 V，電路 (b) 中伏特計的讀數為多少

- A. 4 V
- B. 6 V
- C. 8 V
- D. 12 V

20. DSE 2020, Q24

圖示家居照明電路的一部分，燈泡 L 於開關 S 閉合時沒有亮起。



- A. 開關 S 已經損壞。
- B. 燈泡 L 的燈絲已經燒掉而成斷路。
- C. a 和 d 之間出現短路。
- D. c 和 d 之間出現斷路。

現於開關 S 閉合時測試該電路。以電壓測試器分別接觸 b 點和 c 點，測試器顯示該兩點皆處高電壓。當以測試器分別接觸 a 點和 d 點，則發現只有 a 點處高電壓。下列哪項可能是故障的原因？

21. DSE 2020, Q25

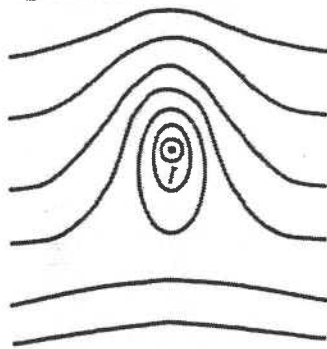
圖示電池組的容量為 1100 mA h。電池組以電流 250 mA 正常運作一小時提供了多少能量？假設電池組的運作電壓在該時段內保持在 3.7 V。



- A. $(3.7 \times \frac{250}{1000} \times 3600) \text{ J}$
- B. $(3.7 \times \frac{1100}{1000} \times 3600) \text{ J}$
- C. $(3.7 \times \frac{250}{1000} \times 1) \text{ J}$
- D. $(3.7 \times \frac{1100}{1000} \times 1) \text{ J}$

22. DSE 2020, Q26

一豎直長導線載有指出紙面的穩定電流 I ，其周圍的水平面上的磁場圖樣如下圖所示。地球的磁場不可忽略。



下列各項的方向為何？

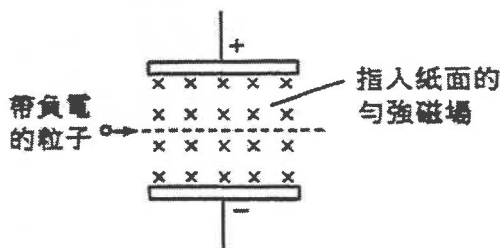
頂視圖

地球磁場的
水平分量

載流導線
所受的磁力

- | | | |
|----|---|---|
| A. | ← | ↓ |
| B. | ← | ↑ |
| C. | → | ↓ |
| D. | → | ↑ |

23. DSE 2020, Q27*

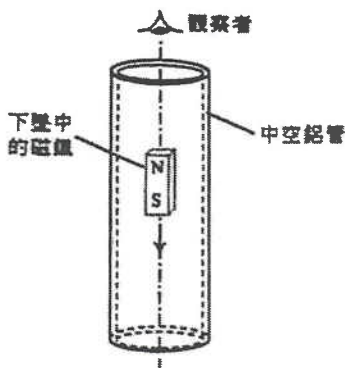


- (1) 增加兩板之間的電勢差
- (2) 增加粒子所帶電荷的量值
- (3) 增加粒子進入該區域的速率

- A. 只有 (1)
- B. 只有 (3)
- C. 只有 (1) 和 (2)
- D. 只有 (2) 和 (3)

圖示區域中設有一勻強電場和一勻強磁場，而跨兩平行金屬板的電勢差構成該電場。一帶負電的粒子穿過該區域而沒有偏轉。下列哪項改變可令該帶電粒子向下偏轉？重力的影響可忽略。

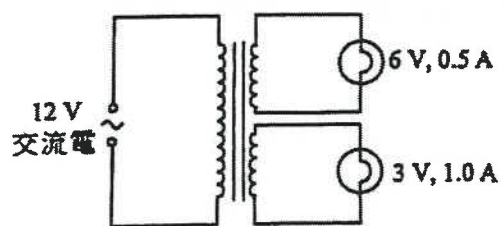
24. DSE 2020, Q28



圖示一細小的強磁鐵下墜穿過一中空鋁管，會感生渦電流。就一從上方觀看的觀察者而言，下列哪項正確描述在鋁管所感生電流的方向？

- A. 磁鐵之上和磁鐵之下皆為順時針
- B. 磁鐵之上和磁鐵之下皆為逆時針
- C. 磁鐵之上為順時針，而磁鐵之下為逆時針
- D. 磁鐵之上為逆時針，而磁鐵之下為順時針

25. DSE 2020, Q29*



- A. 0.25 A
- B. 0.50 A
- C. 0.75 A
- D. 1.0 A

圖示一理想的變壓器，標示為「6 V, 0.5 A」和「3 V, 1.0 A」的兩燈泡分別連接變壓器的兩組副線圈。當一 12 V 交流電源連接至原線圈，兩燈泡各自以額定值運作。估算原線圈中的電流。

5 放射現象和核能

1. DSE 2018, Q31

下列哪項/哪些核反應有可能構成連鎖反應？

- | | | | |
|-----|--|----|--------------|
| (1) | ${}^2_1\text{H} + {}^3_1\text{H} \rightarrow {}^4_2\text{He} + {}^1_0\text{n}$ | A. | 只有 (1) |
| (2) | ${}^{235}_{92}\text{U} + {}^1_0\text{n} \rightarrow {}^{141}_{56}\text{Ba} + {}^{92}_{36}\text{Kr} + 3{}^1_0\text{n}$ | B. | 只有 (2) |
| (3) | ${}^{239}_{94}\text{Pu} + {}^1_0\text{n} \rightarrow {}^{148}_{58}\text{Ce} + {}^{89}_{36}\text{Kr} + 3{}^1_0\text{n}$ | C. | 只有 (1) 和 (3) |
| | | D. | 只有 (2) 和 (3) |

2. DSE 2018, Q32*

X 和 Y 為兩種放射性核素。一個 X 的原子跟一個 Y 的原子的質量比為 1:2。 X 和 Y 的半衰期分別為 T 和 $2T$ 。倘兩個分別只含 X 和 Y 的樣本初始質量相同，經過 $4T$ 的時段後，求 X 和 Y 未衰變的原子核數目之比。

- A. 1:4
 B. 1:2
 C. 1:1
 D. 2:1

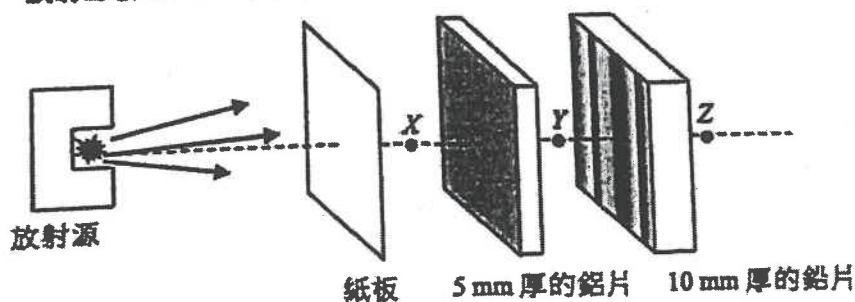
3. DSE 2018, Q33*

當 2 個質子和 1 個中子形成一個 ${}^3_2\text{He}$ 原子核時，

- | | | |
|---------------------------------------|----|-----------------|
| 已知：質子質量 = 1.007276 u | A. | 釋出 6.7 MeV 的能量。 |
| 中子質量 = 1.008665 u | B. | 需要 6.7 MeV 的能量。 |
| ${}^3_2\text{He}$ 原子核的質量 = 3.016030 u | C. | 釋出 8.0 MeV 的能量。 |
| 1 u = 931 MeV | D. | 需要 8.0 MeV 的能量。 |

4. DSE 2019, Q31

一放射源發射出 α 、 β 和 γ 輻射。



有關圖中所標示位置 X 、 Y 、 Z 檢測得的輻射，以下哪項敘述正確？

- A. 在 Z 檢測不到放射源發出的輻射。
 B. β 和 γ 輻射均可在 Y 檢測得到。
 C. α 輻射只能在 X 檢測得到，在 Y 和 Z 則未能測得。
 D. β 輻射只能在 X 檢測得到，在 Y 和 Z 則未能測得。

5. DSE 2019, Q32*

一些放射性同位素的半衰期表列如下。

放射性同位素	半衰期
碳-11	20.3 分鐘
磷-32	14.3 日
鈉-22	2.60 年

- A. 只有 (1)
 B. 只有 (3)
 C. 只有 (1) 和 (2)
 D. 只有 (2) 和 (3)

下列哪項/哪些敘述正確？

- (1) 碳-11 的放射強度必為最高。
 (2) 磷-32 的衰變常數較碳-11 的大。
 (3) 如果鈉-22 的初始放射強度為 1520 Bq，經過 6 年後其放射強度會低於 380 Bq。

6. DSE 2019, Q33*

已知：中子質量 = 16749×10^{-31} kg
 質子質量 = 16726×10^{-31} kg
 電子質量 = 9×10^{-31} kg

在一核反應中，一中子變成了一質子和一 β 粒子。估算在這過程中釋出的能量。

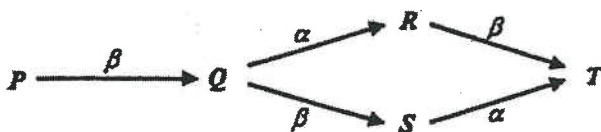
- A. 1.8 MeV
 B. 1.3 MeV
 C. 0.79 MeV
 D. 0.51 MeV

7. DSE 2020, Q30

在一實驗中，以蓋革-彌勒計數器測定本底計數率。實驗記錄了四個每分鐘計數率的讀數。下列哪一組讀數為最有可能？

	第一分鐘	第二分鐘	第三分鐘	第四分鐘
A.	5	62	8	69
B.	40	40	40	40
C.	60	50	30	20
D.	29	26	31	35

8. DSE 2020, Q31



核素 P 可由過程 P-Q-R-T 或由過程 P-Q-S-T 衰變而成核素 T，如圖所示。下列哪些推斷正確？

- (1) P 和 T 是同一元素的同位素。
 (2) Q 和 S 的質子數目相同。
 (3) S 較 R 多一粒中子。
- A. 只有 (1) 和 (2)
 B. 只有 (1) 和 (3)
 C. 只有 (2) 和 (3)
 D. (1)、(2) 和 (3)

9. DSE 2020, Q32*

一元素的一個放射性同位素的衰變常數

- A. 是隨機的。
- B. 取決於壓強和溫度。
- C. 跟同位素的核子數目成正比。
- D. 為該同位素的識別特性。

10. DSE 2020, Q33

P 和 Q 是剛製備好的兩個放射性樣本。已知當 P 的全部原子核其中 $\frac{15}{16}$ 已衰變， Q 的全部原子核其中 $\frac{63}{64}$ 亦已衰變。求比值 $\frac{P \text{ 的半衰期}}{Q \text{ 的半衰期}}$ 。

- A. 1:4
- B. 2:3
- C. 3:2
- D. 4:1

1 天文學和航天科學

1. DSE 2018, Q1

1.1 一艘無動力太空船沿橢圓軌道繞地球運動。下列哪項/哪些描述正確？

- (1) 太空船的加速度恆常指向橢圓軌道的中心。
- (2) 當太空船運動得最快時，其加速度的量值最大。
- (3) 太空船在軌道上的重力勢能保持不變。

- A. 只有 (1)
- B. 只有 (2)
- C. 只有 (1) 和 (3)
- D. 只有 (2) 和 (3)

- | | | | |
|-----------------------|-----------------------|-----------------------|-----------------------|
| A | B | C | D |
| <input type="radio"/> | <input type="radio"/> | <input type="radio"/> | <input type="radio"/> |

2. DSE 2018, Q2

1.2 地球表面的逃逸速度為 11.2 km s^{-1} 。一太空探測器從地球表面發射，當離地球極遠時其速率為 6 km s^{-1} 。求這太空探測器的發射速率，假設除發射期間外探測器作無動力飛行，而其他天體的影響可忽略。

- A. 12.7 km s^{-1}
- B. 15.6 km s^{-1}
- C. 16.4 km s^{-1}
- D. 17.2 km s^{-1}

- | | | | |
|-----------------------|-----------------------|-----------------------|-----------------------|
| A | B | C | D |
| <input type="radio"/> | <input type="radio"/> | <input type="radio"/> | <input type="radio"/> |

3. DSE 2018, Q3

1.3 下列哪項/哪些觀察皆可以托勒密地心模型和哥白尼日心模型解釋？

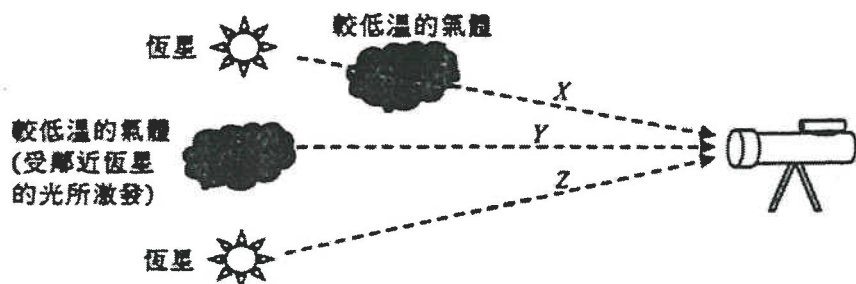
- (1) 行星的亮度在一年之中呈現變化。
- (2) 火星在天空的逆行運動。
- (3) 金星在天空顯示一完整的相循環。

- A. 只有 (1)
- B. 只有 (3)
- C. 只有 (1) 和 (2)
- D. 只有 (2) 和 (3)

- | | | | |
|-----------------------|-----------------------|-----------------------|-----------------------|
| A | B | C | D |
| <input type="radio"/> | <input type="radio"/> | <input type="radio"/> | <input type="radio"/> |

4. DSE 2018, Q4

1.4



一望遠鏡從 X、Y 和 Z 三個方向的光得到光譜。下列哪項為所得的光譜？

- | | 連續譜 | 吸收線狀譜 | 發射線狀譜 | | | | |
|----|------|-------|-------|-----------------------|-----------------------|-----------------------|-----------------------|
| A. | 方向 Z | 方向 X | 方向 Y | A | B | C | D |
| B. | 方向 Z | 方向 Y | 方向 X | <input type="radio"/> | <input type="radio"/> | <input type="radio"/> | <input type="radio"/> |
| C. | 方向 X | 方向 Y | 方向 Z | | | | |
| D. | 方向 X | 方向 Z | 方向 Y | | | | |

5. DSE 2018, Q5

1.5 一半徑為 R 的恆星從地球觀察時的視差為 θ 。下列哪項為該恆星對於地球上觀察者的角大小？

- A. $\frac{4R\theta}{1\text{AU}}$
- B. $\frac{2R\theta}{1\text{AU}}$
- C. $\frac{R\theta}{1\text{AU}}$
- D. $\frac{R\theta}{2\text{AU}}$

- A
- B
- C
- D

6. DSE 2018, Q6

1.6 下表顯示四顆恆星的視星等和絕對星等。

恆星	視星等	絕對星等
P	0	-0.5
Q	-0.5	2
R	2	-1.5
S	-2	-2.5

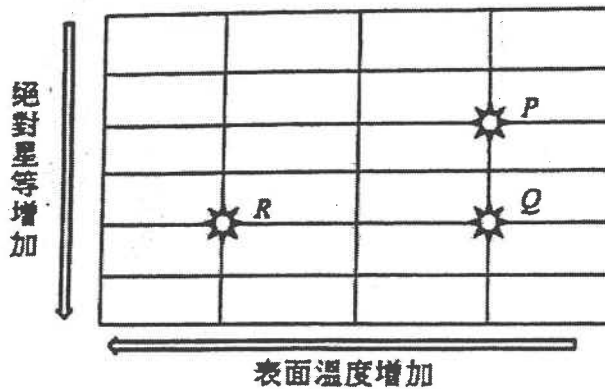
哪一恆星離地球最遠？

- A. P
- B. Q
- C. R
- D. S

- A
- B
- C
- D

7. DSE 2018, Q7

1.7 下圖顯示有關恆星 P、Q 和 R 的絕對星等以及表面溫度的資料。



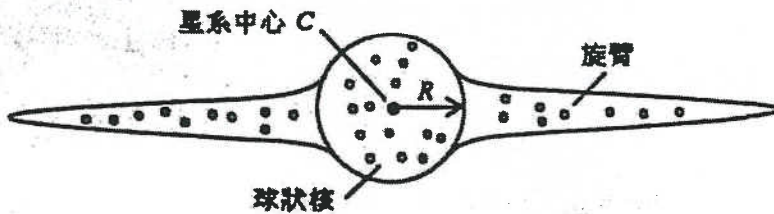
如果 Q 屬主序星，試按恆星半徑的升序排列 P、Q 和 R。

- A. $Q < R < P$
- B. $R < P < Q$
- C. $P < R < Q$
- D. $R < Q < P$

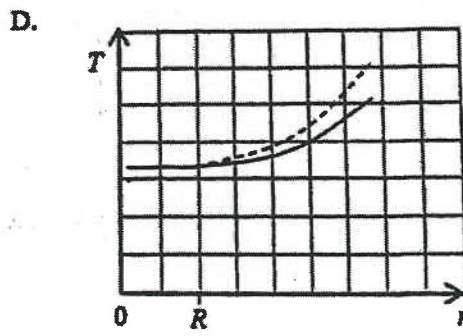
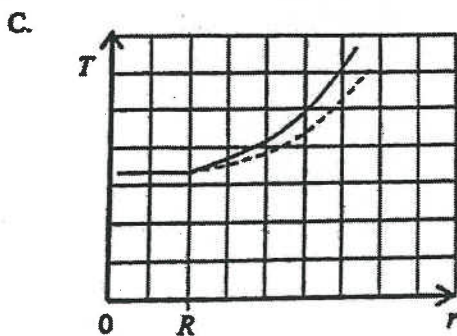
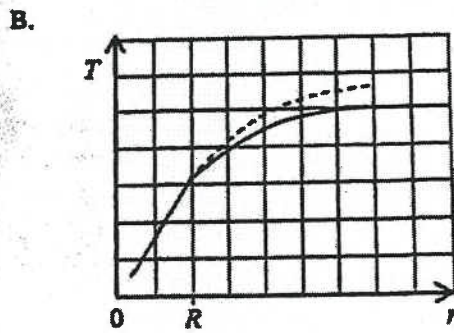
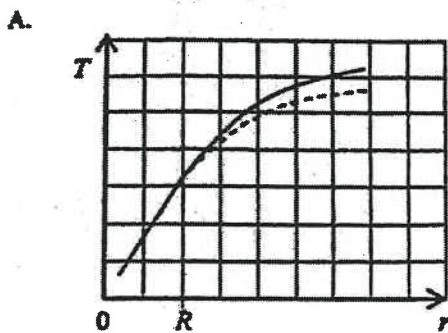
- A
- B
- C
- D

8. DSE 2018, Q8

圖示一典型星系的側視圖，其包含一個半徑為 R 的球狀核以及數條旋臂。觀察顯示核內的恆星繞星系中心 C 旋轉就好像核為一固體。預期旋臂上的恆星繞 C 的旋轉是遵從開普勒第三定律，但觀察顯示它們卻以相若的恆速旋轉。



哪一線圖最能顯示恆星的旋轉週期 T 跟其與 C 的距離 r 的變化？(實線代表觀察所得結果，而虛線則代表預期的結果。)



- A B C D
-

9. DSE 2019, Q1

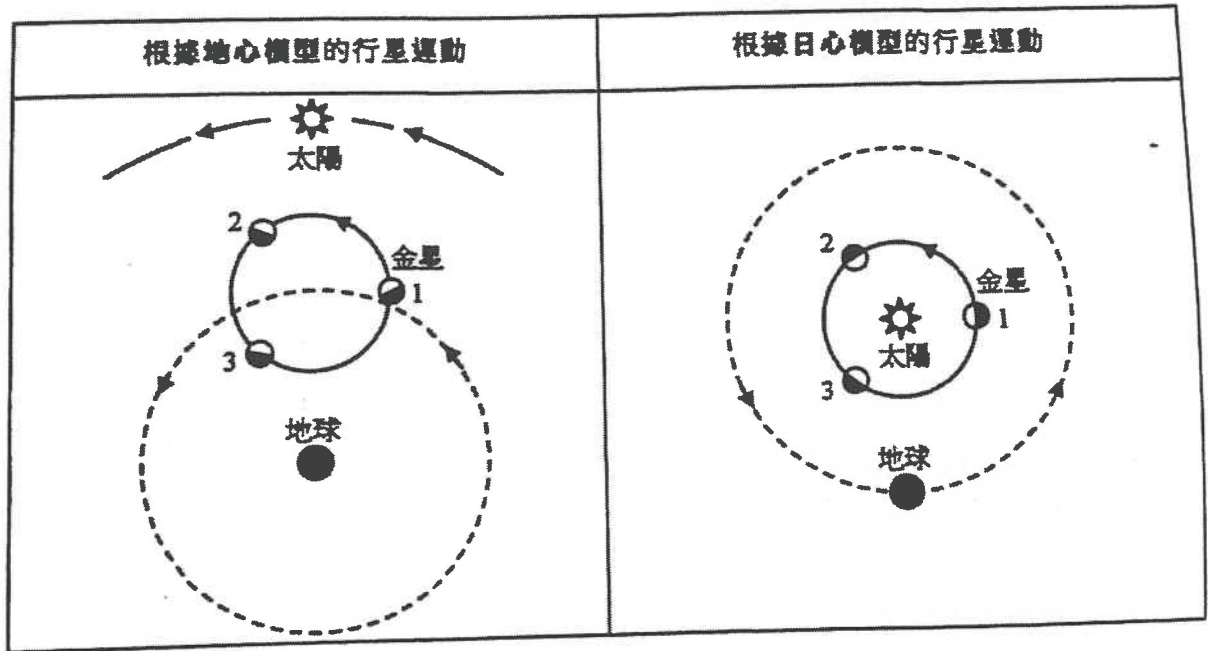
1.1 原子核大小的數量級為 10^{-14} m。星系團大小的數量級為 10^4 pc。一原子核與一星系團的體積比約為_____。

- A. 10^{-37}
 B. 10^{-68}
 C. 10^{-74}
 D. 10^{-111}

- A B C D
-

10. DSE 2019, Q2

1.2 在以下兩個模型中的數字顯示金星的三個連續位置。



根據這兩個模型，以下哪項為預測所得從地球觀察到的金星相圖？

- | | 地心模型 | 日心模型 |
|----|------|--|
| A. | | |
| B. | | |
| C. | | |
| D. | | |
| | | <p style="margin: 0;">A B C D</p> <p style="margin: 0;"><input type="radio"/> <input type="radio"/> <input type="radio"/> <input type="radio"/></p> |

11. DSE 2019, Q3

距離太陽 260 pc 的恆星，於相隔六個月所拍攝該恆星的照片中，參宿七偏移的

A. 0.0010°

B. 0.0077°

C. 1.50°

D. 2.60°

A B C D

12. DSE 2019, Q4

恆星 X 的光度為太陽的 256 倍，而恆星 X 的表面溫度為太陽的 2 倍。恆星 X 的半徑是

- A. 太陽的 4 倍。
- B. 太陽的 8 倍。
- C. 太陽的 16 倍。
- D. 太陽的 64 倍。

- A
- B
- C
- D

13. DSE 2019, Q5

1.5 一恆星的氫 β 譜線 ($H_\beta, \lambda = 486.1 \text{ nm}$) 從地球觀察所得為 486.6 nm 。該恆星相對地球的速度是多少？

- A. 以 308.3 km s^{-1} 趨近地球
- B. 以 308.3 km s^{-1} 遠離地球
- C. 以 308.6 km s^{-1} 趨近地球
- D. 以 308.6 km s^{-1} 遠離地球

- A
- B
- C
- D

14. DSE 2019, Q6

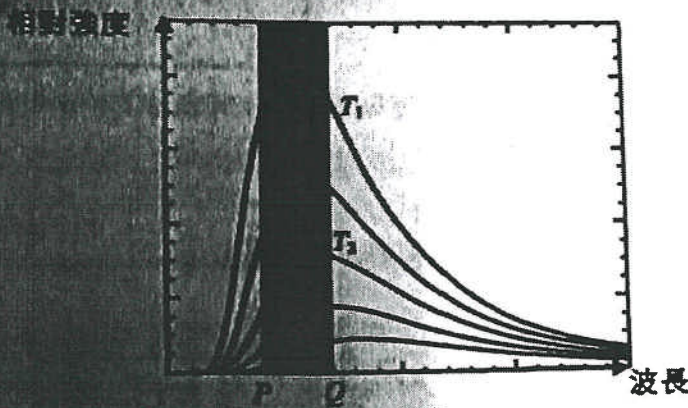
1.6 恆星的光譜型按表面溫度的升序排列為

- A. KGFAO。
- B. OKGFA。
- C. AFGKO。
- D. OAFGK。

- A
- B
- C
- D

15. DSE 2019, Q7

下圖為不同恆星的輻射曲線。



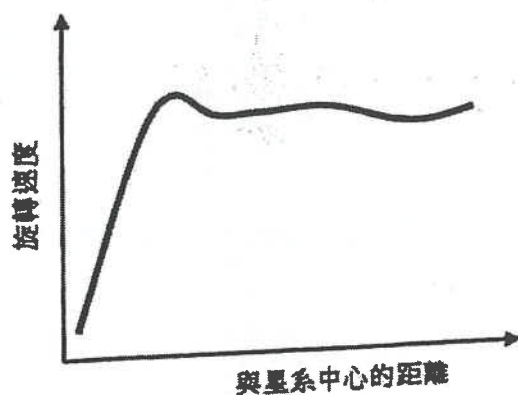
P 和 Q 分別標示可見光譜的波長下限和上限。T₁ 和 T₂ 分別為兩輻射曲線對應的溫度，而其中一條屬於太陽。下列哪項正確？

- A. P = 紅; Q = 紫; T₁ 是太陽的溫度
- B. P = 紅; Q = 紫; T₂ 是太陽的溫度
- C. P = 紫; Q = 紅; T₁ 是太陽的溫度
- D. P = 紫; Q = 紅; T₂ 是太陽的溫度

- A
- B
- C
- D

16. DSE 2019, Q8

1.8 根據下圖的星系旋轉曲線可就暗物質的位置作何推斷？



- A. 暗物質主要分布在星系中心附近。
- B. 暗物質均勻地分布於整個星系。
- C. 暗物質較多分布於與星系中心距離遙遠的地方。
- D. 旋轉曲線顯示暗物質的存在，但未能提供有關它分布的資料。

- A B C D

17. DSE 2020, Q1

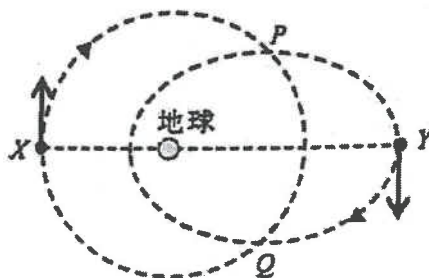
1.1 下列哪項是依大至小的次序排列？

- A. 星團 > 星系 > 行星系統
- B. 星團 > 行星系統 > 星系
- C. 星系 > 行星系統 > 星團
- D. 星系 > 星團 > 行星系統

- A B C D

18. DSE 2020, Q2

1.2 兩衛星 X 和 Y 依順時針方向繞地球旋轉，如圖所示。X 的圓形軌道的直徑相等於 Y 的橢圓軌道長軸的長度。兩軌道於 P 和 Q 相交。



在圖示一刻，兩衛星跟地球在同一直線上。以下哪些推斷正確？

- (1) X 和 Y 經過 P 時有相同的加速度。
- (2) 在圖示一刻，X 的速率大於 Y。
- (3) 無論是在 P 還是在 Q，兩衛星都不會相遇。

- A. 只有 (1) 和 (2)
- B. 只有 (1) 和 (3)
- C. 只有 (2) 和 (3)
- D. (1)、(2) 和 (3)

- A B C D

19. DSE 2020, Q3

1.3 火星的質量為地球的 0.107 倍，火星的半徑為地球的 0.532 倍。火星的逃逸速度以地球的逃逸速度 v_E 表達為多少？

- A. $0.201 v_E$
- B. $0.378 v_E$
- C. $0.449 v_E$
- D. $0.615 v_E$

- A
- B
- C
- D

20. DSE 2020, Q4

1.4 恆星 P 的光度是恆星 Q 的兩倍，而 P 的亮度為 Q 的八倍。就恆星 P 和 Q 分別跟地球的距離可推斷出什麼？

- A. P 跟地球的距離是 Q 的 2 倍。
- B. Q 跟地球的距離是 P 的 2 倍。
- C. P 跟地球的距離是 Q 的 4 倍。
- D. Q 跟地球的距離是 P 的 4 倍。

- A
- B
- C
- D

21. DSE 2020, Q5

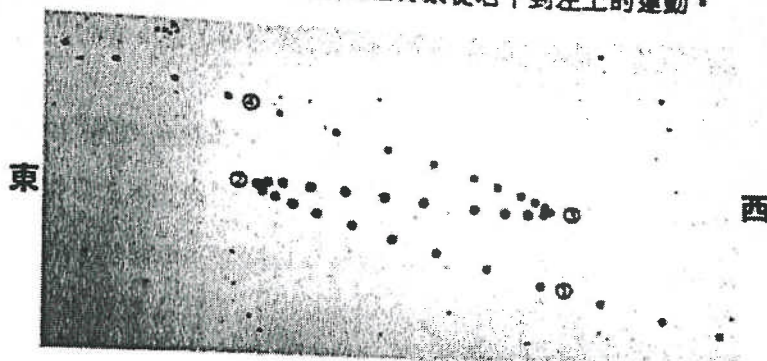
1.5 從側向觀察一雙星系統時，其中一恆星的鈣 K 譜線的波長跟在實驗室所錄得者 ($\lambda = 393.4 \text{ nm}$) 相差 $\pm 0.3 \text{ nm}$ 。該恆星的週期為 69 小時。求它的軌道半徑。

- A. $2.5 \times 10^6 \text{ m}$
- B. $1.5 \times 10^8 \text{ m}$
- C. $9.0 \times 10^9 \text{ m}$
- D. $5.6 \times 10^{10} \text{ m}$

- A
- B
- C
- D

22. DSE 2020, Q6

1.6 下圖顯示在約 7 個月的時段內，火星在夜空背景從右下到左上的運動。



沿該路徑火星於哪一點最接近地球？

- A. 在 ① 和 ② 之間某處
- B. 在 ② 和 ③ 之間某處
- C. 在 ③ 和 ④ 之間某處
- D. 在轉向點 ② 或在轉向點 ③

- A
- B
- C
- D

23. DSE 2020, Q7

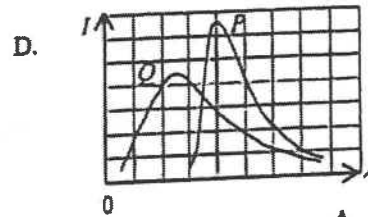
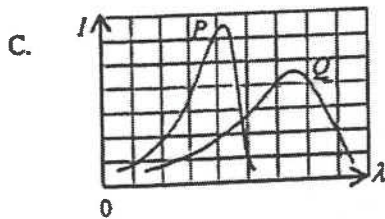
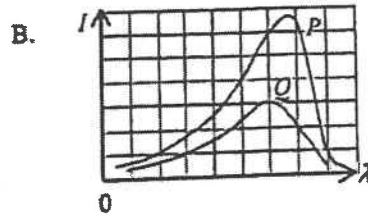
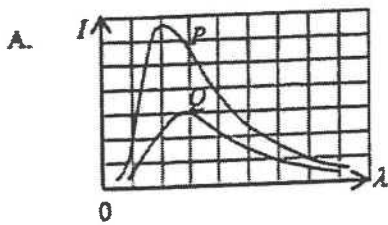
1.7 一距離太陽 4.2 光年的恆星，於相隔 6 個月從地球觀察。估算觀察所得這恆星位置的最大角差。

- A. 0.8 弧秒
- B. 1.3 弧秒
- C. 1.6 弧秒
- D. 2.6 弧秒

- A
- B
- C
- D

24. DSE 2020, Q8

1.8 恆星 P 的表面溫度較恆星 Q 的高，然而恆星 Q 的半徑較大。以下哪一線圖顯示 P 和 Q 表面所發射電磁輻射的光譜強度 I (單位 W m^{-2} 每 nm) 跟波長 λ (單位 nm) 的分布？設兩恆星皆為黑體輻射。



A B C D

2 原子世界

1. DSE 2018, Q1

2.1 從盧瑟福散射實驗可推算出一 α 粒子趨近一金原子時最接近的距離。該距離為下列哪項的上限之最佳估算？

- A. α 粒子的半徑
 B. 金原子的半徑
 C. 金原子核的半徑
 D. 金箔的厚度

A B C D

2. DSE 2018, Q2

2.2 下列哪項/哪些是玻爾原子模型的假設？

- (1) 電子的軌道半徑是量子化的。
 (2) 原子核與一電子之間的電力為圓周運動提供了向心力。
 (3) 一在軌道上運動的電子其總能量保持不變。

- A. 只有 (2)
 B. 只有 (3)
 C. 只有 (1) 和 (2)
 D. (1)、(2) 和 (3)

A B C D

3. DSE 2018, Q3

2.3 下列哪些有關光譜的敘述是正確的？

- (1) 一加熱至白熱的鋼棒發射出連續光譜。
 (2) 一元素其吸收光譜中的暗線跟該元素發射光譜中的亮線的頻率吻合。
 (3) 一元素的原子光譜是其原子內有能級存在的證據。

- A. 只有 (1) 和 (2)
 B. 只有 (1) 和 (3)
 C. 只有 (2) 和 (3)
 D. (1)、(2) 和 (3)

A B C D

4. DSE 2018, Q4

根據玻爾原子模型，當一氫原子的電子從較內軌道躍遷至半徑較大的軌道，這氫原子可能曾經

- A. 吸收一光子，而其電子的動能減少。
- B. 吸收一光子，而其電子的動能增加。
- C. 發射一光子，而其電子的動能減少。
- D. 發射一光子，而其電子的動能增加。

A B C D

5. DSE 2018, Q5

2.5 一些處於第二受激態 (即 $n=3$) 的氫原子，其最終產生的光譜由一系列分立線組成。這光譜有多少條不同波長的譜線？

- A. 1
- B. 2
- C. 3
- D. 4

A B C D

6. DSE 2018, Q6

2.6 每個質量為 m 而電荷為 e 的電子，於透射電子顯微鏡 (TEM) 中被加速。如果電子的德布羅意波長為 λ ，估算 TEM 的加速電壓。

- A. $\frac{h^2}{me\lambda^2}$
- B. $\frac{h^2}{2me\lambda^2}$
- C. $\frac{me\lambda^2}{h^2}$
- D. $\frac{2me\lambda^2}{h^2}$

A B C D

7. DSE 2018, Q7

2.7 下列有關掃描隧穿顯微鏡 (STM) 的敘述，哪項/哪些是正確的？

- (1) 其運作有如光學顯微鏡，除以高能電子束取代可見光及以磁場如透鏡般運作。
- (2) 它可用以顯示一傳導表面的原子排列。
- (3) 隧穿電流的量值取決於所探究的表面與 STM 探頭的間距。

- A. 只有 (1)
- B. 只有 (3)
- C. 只有 (2) 和 (3)
- D. (1)、(2) 和 (3)

A B C D

8. DSE 2018, Q8

2.8 下列哪項敘述不正確？

- A. 銀的納米粒子所呈現的顏色有別於銀為整體時的顏色。
- B. 由於鑽石沒有自由電子，它是不良導熱體和不良導電體。
- C. 一條納米碳管較相同尺寸的鋼強韌。
- D. 碳布克球例如 C_{60} 是由碳原子組成的空心的籠。

A B C D

9. DSE 2019, Q1

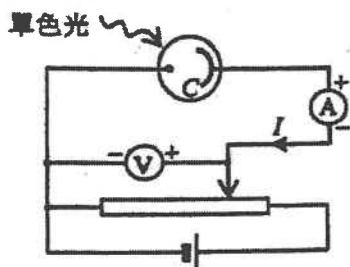
2.1 太陽的光譜中有暗線是由於太陽所發射出某些波長的光

- A. 完全被太陽的大氣吸收。
- B. 完全被地球的大氣吸收。
- C. 部分被太陽的大氣吸收。
- D. 部分被地球的大氣吸收。

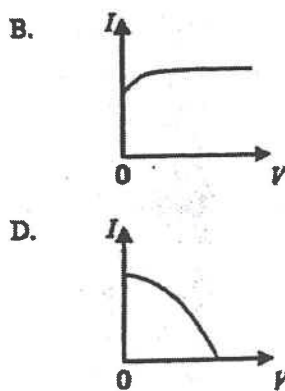
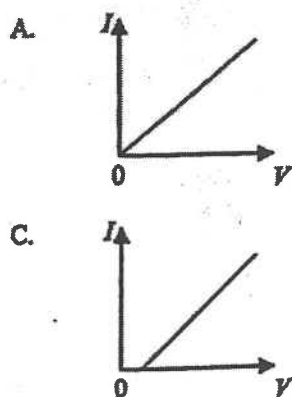
A B C D

10. DSE 2019, Q2

2.2 以下裝置可探究光電效應中光電子的最大動能。



以固定強度的單色光照射光電池的陰極 C，調校施於光電池的電勢差 V ，並量度相應的電流 I 。線圖 I 對 V 會是如何？



A B C D

11. DSE 2019, Q3

2.3 如果以波長 200 nm 的電磁輻射照射金，所發射出光電子的最大動能是多少？金的功函數為 5.30 eV。

- A. 0.916 eV
- B. 5.30 eV
- C. 6.22 eV
- D. 11.3 eV

A B C D

12. DSE 2019, Q4

2.4 下列哪種/哪些顯微鏡可用以操縱在導電表面的個別原子？

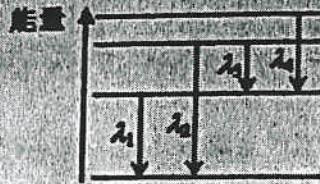
- (1) 光學顯微鏡
- (2) 掃描隧穿顯微鏡
- (3) 透射電子顯微鏡

- A. 只有 (1)
- B. 只有 (2)
- C. 只有 (1) 和 (3)
- D. 只有 (2) 和 (3)

- A
- B
- C
- D

13. DSE 2019, Q5

2.5 下圖為一原子的能量圖。



圖示的電子躍遷分別可得波長為 λ_1 、 λ_2 、 λ_3 和 λ_4 的發射譜線。下列哪項/哪些是正確的？

- (1) $\frac{1}{\lambda_3} < \frac{1}{\lambda_4}$
- (2) $\lambda_1 < \lambda_2$
- (3) $\lambda_1 + \lambda_3 = \lambda_2$

- A. 只有 (1)
- B. 只有 (2)
- C. 只有 (1) 和 (2)
- D. 只有 (2) 和 (3)

- A
- B
- C
- D

14. DSE 2019, Q6

2.6 一個動能為 1 keV 的中子的德布羅意波長為 λ 。如果中子的動能變為 2 keV，其德布羅意波長是多少？

- A. $\sqrt{2} \lambda$
- B. λ
- C. $\frac{\lambda}{2}$
- D. $\frac{\lambda}{\sqrt{2}}$

- A
- B
- C
- D

15. DSE 2019, Q7

2.7 於距離觀察者 160 m 處的两个紅色點光源僅可以肉眼分辨。倘以紫色點光源取代它們，觀察者應怎樣從原來位置移動至僅可分辨該兩光源？

- A. 移動約多 280 m 遠離兩光源
- B. 移動約多 120 m 遠離兩光源
- C. 移動約 120 m 趨近兩光源
- D. 移動約 70 m 趨近兩光源

- A
- B
- C
- D

16. DSE 2019, Q8

2.8 將一金屬切成納米大小的粒子然後作密堆積，下列哪項/哪些敘述正確？

- (1) 其總體積大致保持不變但總表面面積增加。
- (2) 其形狀改變但原子的排列保持不變。
- (3) 其化學性質改變但物理性質保持不變。

- A. 只有 (1)
- B. 只有 (3)
- C. 只有 (2) 和 (3)
- D. (1)、(2) 和 (3)

- A
- B
- C
- D

17. DSE 2020, Q1

2.1 下列哪項有關盧瑟福散射實驗的敘述正確？

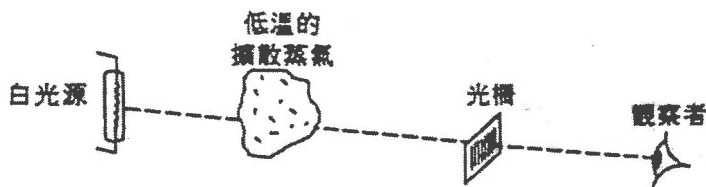
- (1) 使用薄金箔會令每一 α 粒子最可能只被一個金原子核散射。
- (2) 如果以 β 粒子取代 α 粒子射向金箔，箔內的金原子核和電子均可令 β 粒子偏折。
- (3) 使用金箔是由於金有自由電子。

- A. 只有 (1)
- B. 只有 (3)
- C. 只有 (1) 和 (2)
- D. 只有 (2) 和 (3)

- A
- B
- C
- D

18. DSE 2020, Q2

2.2



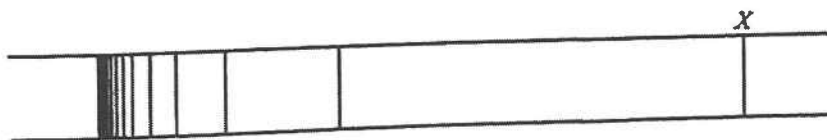
在以上所示實驗中，於彩色背景中可觀察到一些暗線。下列哪項為正確解釋？

- A. 光源沒有發射出跟暗線對應的光子。
- B. 蒸氣沒有發射出跟暗線對應的光子。
- C. 來自光源並跟暗線對應的光子會被蒸氣吸收。
- D. 來自光源並跟暗線對應的光子被蒸氣散射回光源。

- A
- B
- C
- D

19. DSE 2020, Q3

2.3 下圖所示氫光譜的發射譜線源於電子從受激能級躍遷至基態 ($n = 1$)。已知基態的能級為 $E_1 = -13.6 \text{ eV}$ 。



下列哪項敘述正確？

- A. 譜線 X 的頻率最高。
- B. 在這光譜線系中，譜線最短的波長約為 90 nm 。
- C. 這些譜線是在紅外區域。
- D. 有些譜線也會在其他氫光譜線系中出現。

- A
- B
- C
- D

20. DSE 2020, Q4

2.4 以下有關玻爾原子模型的敘述，哪些正確？

- (1) 它可解釋為什麼 α 粒子能被薄金箔反彈。
- (2) 它可提供單電離氦原子 (He^+) 的原子光譜。
- (3) 該模型的一項假設為氫原子的電子的角動量是量子化的。

- | | | | | | |
|----|---------------|-----------------------|-----------------------|-----------------------|-----------------------|
| A. | 只有 (1) 和 (2) | A | B | C | D |
| B. | 只有 (1) 和 (3) | <input type="radio"/> | <input type="radio"/> | <input type="radio"/> | <input type="radio"/> |
| C. | 只有 (2) 和 (3) | | | | |
| D. | (1)、(2) 和 (3) | | | | |

21. DSE 2020, Q5

2.5 一原子有三個能級：X、Y 和 Z。當該原子從 X 躍遷至 Y，便發射出波長為 λ_1 的光子。當該原子吸收了波長為 λ_2 的光子，便從 Y 躍遷至 Z，而 $\lambda_1 > \lambda_2$ 。這些能級由高至低的排列為

- | | | | | | |
|----|-----|-----------------------|-----------------------|-----------------------|-----------------------|
| A. | ZXY | A | B | C | D |
| B. | ZYX | <input type="radio"/> | <input type="radio"/> | <input type="radio"/> | <input type="radio"/> |
| C. | XZY | | | | |
| D. | XYZ | | | | |

22. DSE 2020, Q6

2.6 一電子束以電勢差 V 加速並射向一晶體薄層，所得衍射圖樣跟以波長為 λ 的 X 射線所得到的圖樣相似。應以多少電勢差將電子束加速，方得到跟以波長為 2λ 的 X 射線所得的衍射圖樣相似？

- | | | | | | |
|----|---------------|-----------------------|-----------------------|-----------------------|-----------------------|
| A. | $\frac{V}{4}$ | A | B | C | D |
| B. | $\frac{V}{2}$ | <input type="radio"/> | <input type="radio"/> | <input type="radio"/> | <input type="radio"/> |
| C. | $2V$ | | | | |
| D. | $4V$ | | | | |

23. DSE 2020, Q7

2.7 下列哪項有關掃描隧穿顯微鏡 (STM) 的敘述正確？

- (1) STM 所產生的三維影像能揭示樣品的內部結構。
- (2) 對於 STM 成像，樣品的表面必須是導電的。
- (3) STM 的解像能力受瑞利判據所限。

- | | | | | | |
|----|---------------|-----------------------|-----------------------|-----------------------|-----------------------|
| A. | 只有 (1) | A | B | C | D |
| B. | 只有 (2) | <input type="radio"/> | <input type="radio"/> | <input type="radio"/> | <input type="radio"/> |
| C. | 只有 (3) | | | | |
| D. | (1)、(2) 和 (3) | | | | |

24. DSE 2020, Q8

2.8 就材料於大塊形式和納米大小的比較，下列哪些敘述正確？

- (1) 大部分材料於上述狀態展示不同的顏色。
- (2) 大部分材料於納米大小時有較低熔點。
- (3) 材料於納米大小時作為催化劑效率一般較高。

- | | | | | | |
|----|---------------|-----------------------|-----------------------|-----------------------|-----------------------|
| A. | 只有 (1) 和 (2) | A | B | C | D |
| B. | 只有 (1) 和 (3) | <input type="radio"/> | <input type="radio"/> | <input type="radio"/> | <input type="radio"/> |
| C. | 只有 (2) 和 (3) | | | | |
| D. | (1)、(2) 和 (3) | | | | |

3 能量和能源的使用

1. DSE 2018, Q1

3.1 混合動力車所配備內燃機的功率一般較汽油車的低，這是因為

- (1) 混合動力車的最大功率輸出可由內燃機輔以電動機提供。
- (2) 混合動力車內燃機的能源效益較汽油車的高。
- (3) 功率較小的內燃機每單位功率輸出所需運作成本較低。

A. 只有 (1)

B. 只有 (3)

C. 只有 (1) 和 (2)

D. 只有 (2) 和 (3)

A B C D

2. DSE 2018, Q2

3.2 地下鐵路列車運送每位乘客每 1 km 所造成的二氧化碳排放量約為 50 g，而乘搭汽車的則超過 200 g。原因可能是

- (1) 地下鐵路列車和汽車本身的移動亦需能量。
- (2) 地下鐵路列車運送每位乘客 1 km 的能源效益較高。
- (3) 產生能量予地下鐵路列車，不涉及燃燒化石燃料。

A. 只有 (1)

B. 只有 (2)

C. 只有 (1) 和 (3)

D. 只有 (2) 和 (3)

A B C D

3. DSE 2018, Q3

3.3 $\frac{\text{冷卻能力}}{\text{電功率輸入}} = 2$ 的空調機，其冷卻能力為 746 W。估算其釋放至室外環境的熱排放率。

A. 373 W

B. 746 W

C. 1119 W

D. 1492 W

A B C D

4. DSE 2018, Q4

3.4 下列哪項令微波爐可用以煮食？

- (1) 微波的能量只在食物表面吸收，之後藉傳導傳遞到食物裏面。
- (2) 由於每一水分子內電荷分佈不均勻，水分子是帶極性。
- (3) 微波的電場不斷改變。

A. 只有 (1)

B. 只有 (2)

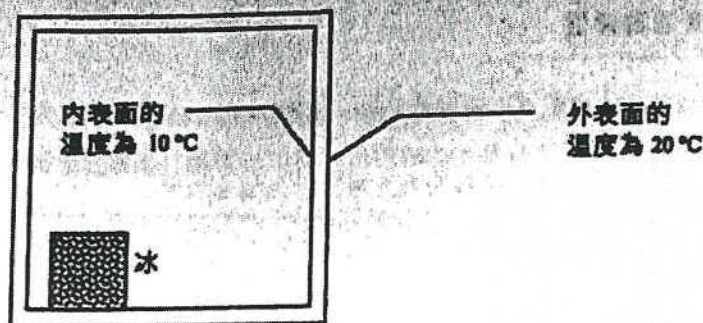
C. 只有 (1) 和 (3)

D. 只有 (2) 和 (3)

A B C D

5. DSE 2018, Q5

3.5 一個封閉的膠箱載有一冰塊，膠箱壁的厚度為 2 cm 而膠的導熱率為 $0.03 \text{ W m}^{-1} \text{ }^\circ\text{C}^{-1}$ 。



膠箱壁內表面和外表面的溫度分別為 10°C 和 20°C 。膠箱內與外的熱交換率 (每單位面積) 是多少? 熱流的方向為何?

	熱交換率 (每單位面積)	熱流的方向	A	B	C	D
A.	15 W m^{-2}	流入箱內	<input type="radio"/>	<input type="radio"/>	<input type="radio"/>	<input type="radio"/>
B.	15 W m^{-2}	流出箱外	<input type="radio"/>	<input type="radio"/>	<input type="radio"/>	<input type="radio"/>
C.	36 W m^{-2}	流入箱內	<input type="radio"/>	<input type="radio"/>	<input type="radio"/>	<input type="radio"/>
D.	36 W m^{-2}	流出箱外	<input type="radio"/>	<input type="radio"/>	<input type="radio"/>	<input type="radio"/>

6. DSE 2018, Q6

3.6 下列哪項有關房屋及其特徵的敘述必定正確?

- | | | | | | |
|----|------------------------------|-----------------------|-----------------------|-----------------------|-----------------------|
| A. | 較深色的物料的熱傳導效率較差。 | A | B | C | D |
| B. | 在寒冷地方的房屋最好有較高的總熱傳送值 (OTTV)。 | <input type="radio"/> | <input type="radio"/> | <input type="radio"/> | <input type="radio"/> |
| C. | 房屋的牆壁漆成白色可減低房屋的總熱傳送值 (OTTV)。 | <input type="radio"/> | <input type="radio"/> | <input type="radio"/> | <input type="radio"/> |
| D. | 房屋的牆壁漆成白色可增加陽光的反射。 | <input type="radio"/> | <input type="radio"/> | <input type="radio"/> | <input type="radio"/> |

7. DSE 2018, Q7

3.7 風以速率 v 正面吹着一台風力渦輪發電機，使產生某電功率輸出。倘渦輪機扇葉的長度增加 25% 而渦輪發電機的整體效率保持不變，估算正面吹着渦輪機的風速能使其產生相同的電功率輸出。

- | | | | | | |
|----|----------|-----------------------|-----------------------|-----------------------|-----------------------|
| A. | $0.59 v$ | A | B | C | D |
| B. | $0.64 v$ | <input type="radio"/> | <input type="radio"/> | <input type="radio"/> | <input type="radio"/> |
| C. | $0.86 v$ | <input type="radio"/> | <input type="radio"/> | <input type="radio"/> | <input type="radio"/> |
| D. | $0.93 v$ | <input type="radio"/> | <input type="radio"/> | <input type="radio"/> | <input type="radio"/> |

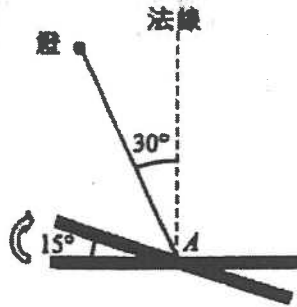
8. DSE 2018, Q8

3.8 在一核反應堆中，鈾-235 用作裂變燃料以發電。當鈾-235 進行核裂變，其質量的 0.08% 轉換成能量。倘該能量的 20% 變為電能使產生 500 MW 的電功率，估算鈾-235 每秒的用量。

- | | | | | | |
|----|---------------------------------|-----------------------|-----------------------|-----------------------|-----------------------|
| A. | $1.4 \times 10^{-6} \text{ kg}$ | A | B | C | D |
| B. | $3.5 \times 10^{-5} \text{ kg}$ | <input type="radio"/> | <input type="radio"/> | <input type="radio"/> | <input type="radio"/> |
| C. | $8.2 \times 10^{-3} \text{ kg}$ | <input type="radio"/> | <input type="radio"/> | <input type="radio"/> | <input type="radio"/> |
| D. | $1.0 \times 10^{-2} \text{ kg}$ | <input type="radio"/> | <input type="radio"/> | <input type="radio"/> | <input type="radio"/> |

9. DSE 2019, Q1

3.1 一本書水平放置於燈下，該燈所在位置的方向跟書本的法線成 30° 角，如圖所示。書本上點 A 附近的照明度為 10 lx 。以 A 作支點將該書傾側 15° ，估算點 A 附近的照明度。



- A. 5.44 lx
- B. 8.16 lx
- C. 9.66 lx
- D. 12.2 lx

- A
- B
- C
- D

10. DSE 2019, Q2

3.2 一電動車的電池組完全充電時可儲 25 kWh 的能量。電動車輸出的機械功率為 12.5 kW ，而這車的最終能源效益為 80% 。估算該電動車以此輸出功率行駛時的最長行車時間。

- A. 1.3 小時
- B. 1.6 小時
- C. 2 小時
- D. 2.5 小時

- A
- B
- C
- D

11. DSE 2019, Q3

3.3 下列哪項/哪些有關混合動力車的描述正確？

- (1) 混合動力車的電動機和內燃機可同時運作使車行駛。
- (2) 混合動力車被視為環保是因為它不會直接排放污染物。
- (3) 若果混合動力車的電池組不能用牆身插座充電，則它只能於減速時通過再生制動系統充電。

- A. 只有 (1)
- B. 只有 (2)
- C. 只有 (1) 和 (3)
- D. 只有 (2) 和 (3)

- A
- B
- C
- D

12. DSE 2019, Q4

3.4 下面的空調機 P 和 Q 分別用於兩完全相同的房間，在同樣的環境條件下使房間涼下來。下列哪項敘述不正確？

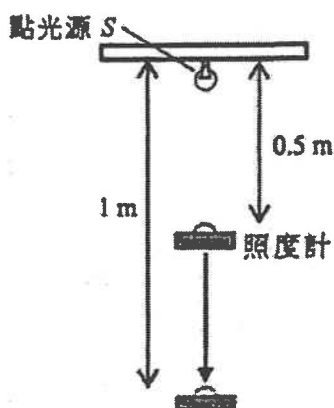
空調機	冷卻能力 / kW	性能係數 (COP)
P	3.2	2.2
Q	3.0	1.9

- A. 裝了空調機 P 的房間較快涼下來。
- B. P 的能源效益較高。
- C. P 釋放至室外的總熱能排放率較大。
- D. P 所耗的功率較多。

- A
- B
- C
- D

17. DSE 2020, Q1

3.1 點光源 S 發射一定的光通量，一照度計如圖示放置在點光源正下方 0.5 m 處。



如果 S 所發射的光通量加倍並將照度計降低至 S 之下 1 m 處，照度計讀數的變化為何？

- | | | | | |
|-----------|-----------------------|-----------------------|-----------------------|-----------------------|
| A. 減少 25% | A | B | C | D |
| B. 減少 50% | <input type="radio"/> | <input type="radio"/> | <input type="radio"/> | <input type="radio"/> |
| C. 保持不變 | | | | |
| D. 增加 50% | | | | |

18. DSE 2020, Q2

3.2 太陽爐以面積為 9 m^2 的反射板收集陽光，將一塊質量為 2 kg 的鐵加熱。太陽爐的效率為 50% 。估算將該塊鐵從 30°C 加熱至 90°C 需時多久。

已知：鐵的比熱容 $= 450\text{ J kg}^{-1}\text{ }^\circ\text{C}^{-1}$

地面上每單位面積接收到太陽輻射的功率 $= 1000\text{ W m}^{-2}$

- | | | | | |
|---------|-----------------------|-----------------------|-----------------------|-----------------------|
| A. 12 s | A | B | C | D |
| B. 24 s | <input type="radio"/> | <input type="radio"/> | <input type="radio"/> | <input type="radio"/> |
| C. 48 s | | | | |
| D. 96 s | | | | |

19. DSE 2020, Q3

3.3 一容量為 40 kWh 的電動車電池組初始時完全放電。現以端電壓 220 V 和平均電流 32 A 將其充電，估算將該電池組完全充電需時多久。設充電期間有 20% 的能量散失。

- | | | | | |
|-----------|-----------------------|-----------------------|-----------------------|-----------------------|
| A. 4.6 小時 | A | B | C | D |
| B. 5.7 小時 | <input type="radio"/> | <input type="radio"/> | <input type="radio"/> | <input type="radio"/> |
| C. 6.8 小時 | | | | |
| D. 7.1 小時 | | | | |

20. DSE 2020, Q4

3.4 一微波爐的「最終能源效益」低於 100% 的原因為何？

- (1) 電能從發電廠傳送至微波爐期間有部分能量散失了。
- (2) 微波爐未能將全部電能轉換為微波的能量。
- (3) 有些微波被爐身吸收了而沒有到達爐中食物。

- | | | | | |
|------------------|-----------------------|-----------------------|-----------------------|-----------------------|
| A. 只有 (1) 和 (2) | A | B | C | D |
| B. 只有 (1) 和 (3) | <input type="radio"/> | <input type="radio"/> | <input type="radio"/> | <input type="radio"/> |
| C. 只有 (2) 和 (3) | | | | |
| D. (1)、(2) 和 (3) | | | | |

21. DSE 2020, Q5

3.5 夏天時，熱通過一定厚度的牆壁流入房屋。以下哪些可減低牆壁每單位面積的熱流率？

- (1) 牆壁外表面和內表面的溫差減小
- (2) 增加牆壁的厚度
- (3) 以U值較大的物料來建造牆壁

- A. 只有(1)和(2)
- B. 只有(1)和(3)
- C. 只有(2)和(3)
- D. (1)、(2)和(3)

- A
- B
- C
- D

22. DSE 2020, Q6

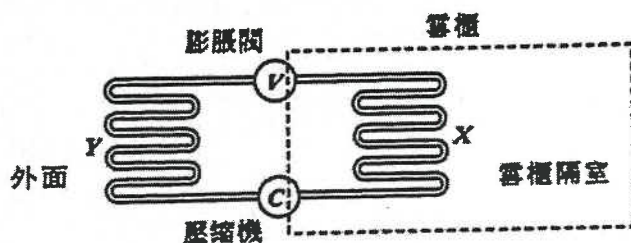
3.6 一房間以冷卻能力為 P 的空調機保持涼快。房間內外的溫度分別為 27°C 和 31°C 。因輻射從窗流入房間的熱流率跟由傳導而流入的之比為 $1:4$ 。如果冷卻能力增至 $2P$ 而房間外的溫度仍為 31°C ，估算房間內的溫度。假設因輻射流入房間的熱流率不變。

- A. 21°C
- B. 22°C
- C. 23°C
- D. 25°C

- A
- B
- C
- D

23. DSE 2020, Q7

3.7 下圖為雪櫃的簡化示意圖。



製冷劑從哪方向流過膨脹閥 V ？製冷劑在哪部件 (X 或 Y) 中的溫度較高？

製冷劑流過
膨脹閥的方向

製冷劑在該部件中
的溫度較高

- A. $X \rightarrow V \rightarrow Y$
- B. $X \rightarrow V \rightarrow Y$
- C. $Y \rightarrow V \rightarrow X$
- D. $Y \rightarrow V \rightarrow X$

- X
- Y
- X
- Y

- A
- B
- C
- D

24. DSE 2020, Q8

3.8 以下哪項是「可再生能源」？

- (1) 風能
- (2) 天然氣
- (3) 核能

- A. 只有(1)
- B. 只有(1)和(3)
- C. 只有(2)和(3)
- D. (1)、(2)和(3)

- A
- B
- C
- D

4 醫學物理學

1. DSE 2018, Q1

4.1 下列為空氣以及眼睛各組分的折射率。哪一對介質由折射造成最大程度的屈光？

介質	折射率
空氣	1.00
角膜	1.38
水狀液	1.34
晶體表面	1.39
晶體中心	1.41

- A. 晶體表面 - 晶體中心
 B. 水狀液 - 晶體表面
 C. 角膜 - 水狀液
 D. 空氣 - 角膜

A B C D

2. DSE 2018, Q2

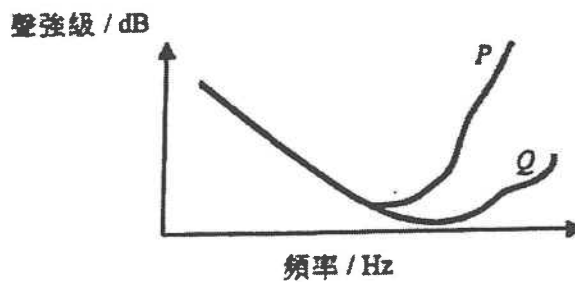
4.2 啟明視覺的近點距離為 20 cm，而遠點距離則為 250 cm。如果他配戴眼鏡以糾正其遠點至無限遠，需配戴何種眼鏡？戴眼鏡後其近點距離是多少？

眼鏡種類	近點距離 (戴眼鏡後)
A. 凸透鏡	18.5 cm
B. 凹透鏡	18.5 cm
C. 凸透鏡	21.7 cm
D. 凹透鏡	21.7 cm

A B C D

3. DSE 2018, Q3

4.3 以下為 P 和 Q 兩人聽覺閾的線圖。



下列哪些敘述必定正確？

- (1) 對於非常低頻的聲音，P 和 Q 的聽覺靈敏度相同。
 (2) P 不常聽得到高頻聲音，除非聲波的振幅很大。
 (3) Q 聽力缺損。

- A. 只有 (1) 和 (2)
 B. 只有 (1) 和 (3)
 C. 只有 (2) 和 (3)
 D. (1)、(2) 和 (3)

A B C D

4. DSE 2018, Q4

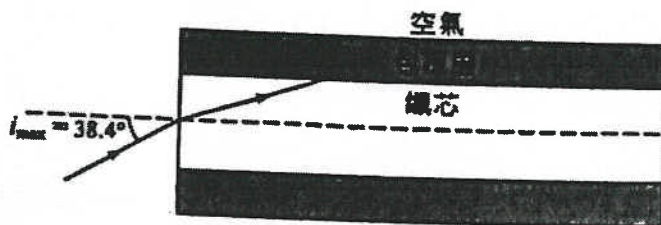
4.4 一細小的揚聲器發出一聲音，於距揚聲器 5 m 處量得 40 dB 的聲強級。現把揚聲器的功率輸出減半，並於 10 m 處再量度其聲強級。聲強級改變的百分數為多少？

- A. 12.5%
- B. 15.1%
- C. 22.6%
- D. 25.0%

- A
- B
- C
- D

5. DSE 2018, Q5

4.5 如圖所示，一內窺鏡所用光纖的外層包覆着折射率跟纖芯不同的物料以防漏光。於無漏光的情況下最大的人射角 i_{\max} 為 38.4° ，求包覆層物料的折射率。已知：纖芯的折射率 = 1.55



- A. 1.69
- B. 1.42
- C. 1.33
- D. 1.16

- A
- B
- C
- D

6. DSE 2018, Q6

4.6 下列有關放射性核素成像 (RNI) 的敘述，哪些正確？

- (1) RNI 可評估身體器官的功能。
- (2) RNI 可診斷甲狀腺的問題。
- (3) RNI 與電腦斷層造影 (CT) 的空間解像度同樣良好。

- A. 只有 (1) 和 (2)
- B. 只有 (1) 和 (3)
- C. 只有 (2) 和 (3)
- D. (1)、(2) 和 (3)

- A
- B
- C
- D

7. DSE 2018, Q7

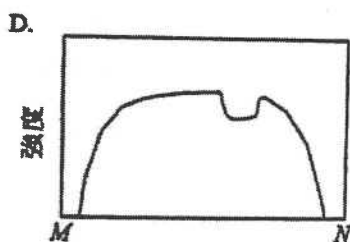
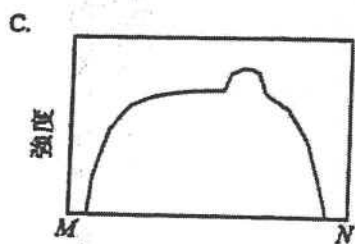
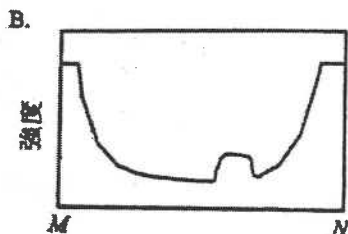
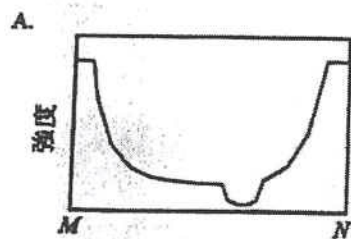
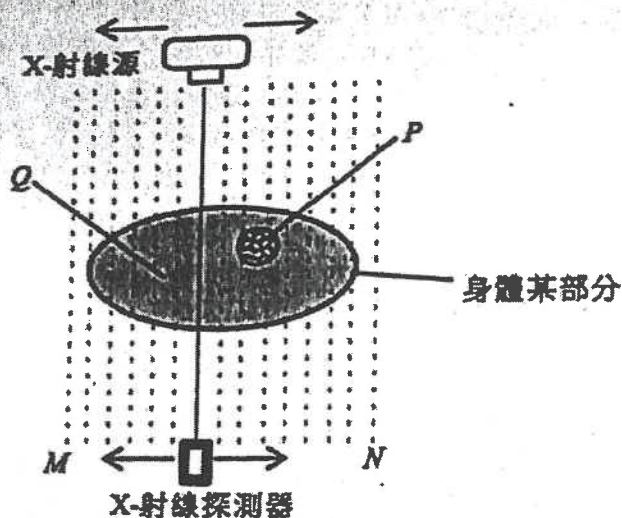
4.7 一伽瑪源於 1 m 遠的一點產生 3500 s^{-1} 的已修正計數率。至少需多厚的混凝土才使在同一點的已修正計數率減至低於 200 s^{-1} ？已知：混凝土的半值厚度為 60.5 mm。

- A. 40 cm
- B. 25 cm
- C. 15 cm
- D. 10 cm

- A
- B
- C
- D

8. DSE 2018, Q8

如圖所示，一配對了探測器的 X-射線源可水平移動以掃描身體某部分（包含組織 P 和 Q）。以下哪一線圖正確顯示所探測到 X-射線的強度變化？已知：P 的衰減係數較 Q 的大。



A B C D

9. DSE 2019, Q1

4.1 紹強患有遠視。配戴合適的矯正眼鏡後，他的近點距離和遠點距離有何改變？

	近點距離	遠點距離	A	B	C	D
A.	增加	增加	<input type="radio"/>	<input type="radio"/>	<input type="radio"/>	<input type="radio"/>
B.	增加	不變	<input type="radio"/>	<input type="radio"/>	<input type="radio"/>	<input type="radio"/>
C.	減少	減少	<input type="radio"/>	<input type="radio"/>	<input type="radio"/>	<input type="radio"/>
D.	減少	不變	<input type="radio"/>	<input type="radio"/>	<input type="radio"/>	<input type="radio"/>

10. DSE 2019, Q2

4.2 把一物體放在凹透鏡前方 20 cm，其成像的放大率為 0.5。求透鏡的焦強。

A.	+20 D	<input type="radio"/>	A	<input type="radio"/>	B	<input type="radio"/>	C	<input type="radio"/>	D	<input type="radio"/>
B.	-5 D	<input type="radio"/>								
C.	-10 D	<input type="radio"/>								
D.	-20 D	<input type="radio"/>								

11. DSE 2019, Q3

4.3 人類的耳朵對頻率 3 kHz 的聲音的最大靈敏度約為 0.5 dB，此為耳朵可檢測到的最小聲強級改變。所對應的聲音強度改變約為

- A. 12%.
- B. 6%.
- C. 3%.
- D. 1%.

- A
- B
- C
- D

12. DSE 2019, Q4

4.4 下列哪項/哪些屬於非入侵性醫學造影方法？

- (1) 內窺鏡
- (2) 電腦斷層造影 (CT)
- (3) 放射性示踪物

- A. 只有 (1)
- B. 只有 (3)
- C. 只有 (1) 和 (2)
- D. 只有 (2) 和 (3)

- A
- B
- C
- D

13. DSE 2019, Q5

下列有關放射線影和電腦斷層造影 (CT) 的敘述，哪項正確？

- A. 兩者都是利用輻射束穿透不同身體組織時有着不同程度的衰減。
- B. 放射線影所用 X-射線為致電離輻射，而 CT 掃描所用的是非致電離輻射。
- C. 由於 CT 掃描所用的是伽瑪輻射，所得成像的解像度相對較高。
- D. CT 掃描不能用於有空腔的器官。

- A
- B
- C
- D

14. DSE 2019, Q6

4.6 下列有關放射性核素成像中「熱點」和「冷點」的敘述，哪項正確？

- A. 冷點顯示某特定器官的異常程度，而熱點則否。
- B. 兩者顯示人工造影劑於某特定器官中的濃度。
- C. 兩者顯示放射性示踪物於某特定器官中的濃度。
- D. 兩者顯示器官的異常部分對輻射反射的程度。

- A
- B
- C
- D

15. DSE 2019, Q7

4.7 某放射性示踪物 X 的有效半衰期為 6.9 小時。如果 X 的生物半衰期為 2 日，求它的物理半衰期。

- A. 2.8 小時
- B. 6.0 小時
- C. 7.3 小時
- D. 8.1 小時

- A
- B
- C
- D

16. DSE 2019, Q8

4.8 一伽瑪源 Y 外用作癌症治療。距放射源 Y 的某點所得等效劑量率為每小時 $24 \mu\text{Sv}$ 。已知需以 242 mm 的混凝土屏蔽，才使同一點所得等效劑量率減至每小時 $1.5 \mu\text{Sv}$ 。混凝土對於伽瑪輻射的半值厚度為

- A. 48.4 mm 。
- B. 60.5 mm 。
- C. 80.6 mm 。
- D. 121.0 mm 。

- A B C D

17. DSE 2020, Q1

4.1 當眼睛從觀看遙遠的物體調節至觀看近處的物體，下列哪項敘述正確？

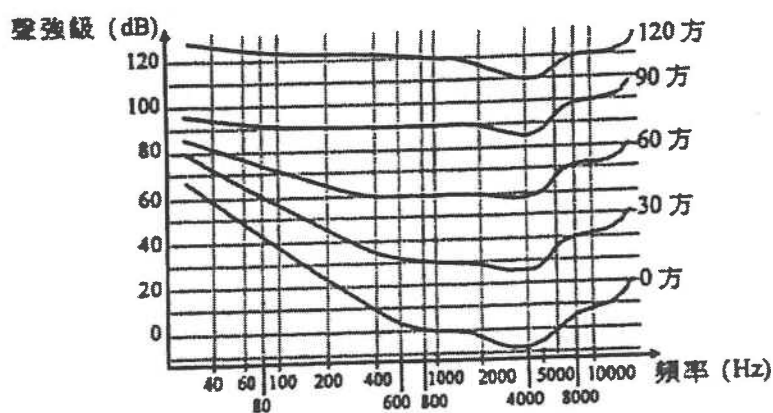
- (1) 眼部晶體「凸」的程度減少。
- (2) 眼部晶體的焦距增加。
- (3) 圍繞晶體的睫狀肌收縮。

- A. 只有 (1)
- B. 只有 (3)
- C. 只有 (1) 和 (2)
- D. 只有 (2) 和 (3)

- A B C D

18. DSE 2020, Q2

4.2 圖示聽覺正常人士就響度 (以方為單位) 跟聲強級 (以 dB 為單位) 的關係。下列哪項敘述不能從這圖推斷得到？



- A. 耳朵對頻率於 2000 Hz 至 5000 Hz 的聲音最靈敏。
- B. 40 dB 的 60 Hz 聲音是聽不到的。
- C. 聽覺靈敏度會隨聲音的頻率上升而一直增加。
- D. 頻率低於 1000 Hz 的聲音，其聲強級 (以 dB 為單位) 的數值不會小於其響度 (以方為單位)。

- A B C D

19. DSE 2020, Q3

4.3 一醫生懷疑一病者肝臟有腫瘤。以下哪個方法可用以偵測腫瘤並量度其大小？

- (1) 以內窺鏡檢查
- (2) 進行超聲波 B-掃描
- (3) 進行電腦斷層造影 (CT)

- | | | | | |
|-----------------|-----------------------|-----------------------|-----------------------|-----------------------|
| | A | B | C | D |
| A. 只有 (1) | <input type="radio"/> | <input type="radio"/> | <input type="radio"/> | <input type="radio"/> |
| B. 只有 (3) | | | | |
| C. 只有 (1) 和 (2) | | | | |
| D. 只有 (2) 和 (3) | | | | |

20. DSE 2020, Q4

4.4 下列有關超聲波換能器內的壓電晶體的敘述，哪項正確？

- (1) 壓電晶體將電訊號轉換成機械振動，反之亦然。
- (2) 壓電晶體的厚度為任意的。

- | | | | | |
|--------------------|-----------------------|-----------------------|-----------------------|-----------------------|
| | A | B | C | D |
| A. 只有 (1) 正確。 | <input type="radio"/> | <input type="radio"/> | <input type="radio"/> | <input type="radio"/> |
| B. 只有 (2) 正確。 | | | | |
| C. (1) 和 (2) 皆正確。 | | | | |
| D. (1) 和 (2) 皆不正確。 | | | | |

21. DSE 2020, Q5

4.5 根據以下所提供的資料，求超聲波從空氣入射進皮膚時透射的能量所佔比例。

	聲阻抗 / $\text{kg m}^{-2} \text{s}^{-1}$
空氣	430
軟組織	1.5×10^6

- | | | | | |
|-------------------------|-----------------------|-----------------------|-----------------------|-----------------------|
| | A | B | C | D |
| A. 5.7×10^{-4} | <input type="radio"/> | <input type="radio"/> | <input type="radio"/> | <input type="radio"/> |
| B. 1.1×10^{-3} | | | | |
| C. 2.8×10^{-3} | | | | |
| D. 1.0×10^{-2} | | | | |

22. DSE 2020, Q6

4.6 以下哪一項是放射性核素成像 (RNI) 流程的正確排序？

- (1) 藉血液流動將藥物帶往目標器官。
- (2) 將藥物注射入病者體內。
- (3) 以放射性同位素標記藥物。
- (4) 以電腦重構影像。
- (5) 以伽瑪照相機掃描病者。

- | | | | | |
|--------------------------------|-----------------------|-----------------------|-----------------------|-----------------------|
| | A | B | C | D |
| A. (2) → (3) → (1) → (5) → (4) | <input type="radio"/> | <input type="radio"/> | <input type="radio"/> | <input type="radio"/> |
| B. (2) → (3) → (1) → (4) → (5) | | | | |
| C. (3) → (2) → (1) → (5) → (4) | | | | |
| D. (3) → (2) → (1) → (4) → (5) | | | | |

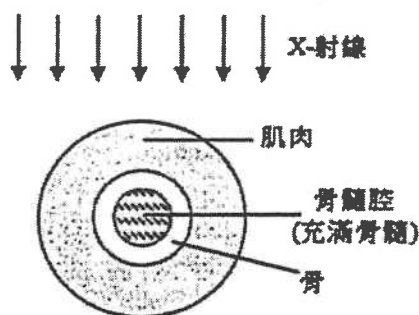
23. DSE 2020, Q7

4.7 放射性核素成像可用以探究腎臟的疾病。以下哪一放射性同位素最為合適？

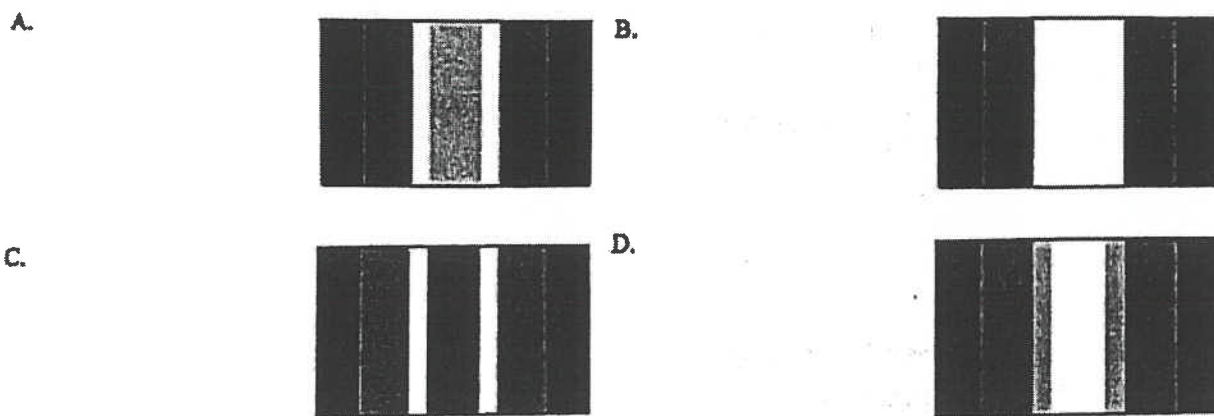
放射性同位素	發射出的輻射	半衰期	A	B	C	D
A.	γ	20.3 分鐘	<input type="radio"/>	<input type="radio"/>	<input type="radio"/>	<input type="radio"/>
B.	γ	6.0 小時				
C.	β 、 γ	2.7 日				
D.	β	3.3 小時				

24. DSE 2020, Q8

4.8 圖示為人類手臂的截面的簡化圖。中央的空腔是充滿骨髓的骨髓腔。骨髓的線衰減係數跟肌肉的大致相同。



以下哪圖最能代表手臂的 X 射線放射攝影成像？



A B C D